

Tuning the Surface Chemistry of Chiral Cu(531)^S for Enhanced Enantiospecific Adsorption of Amino Acids

Ho Seong Song and Jeong Woo Han*

Department of Chemical Engineering, University of Seoul, Seoul 130-743, Republic of Korea

Supplementary Information

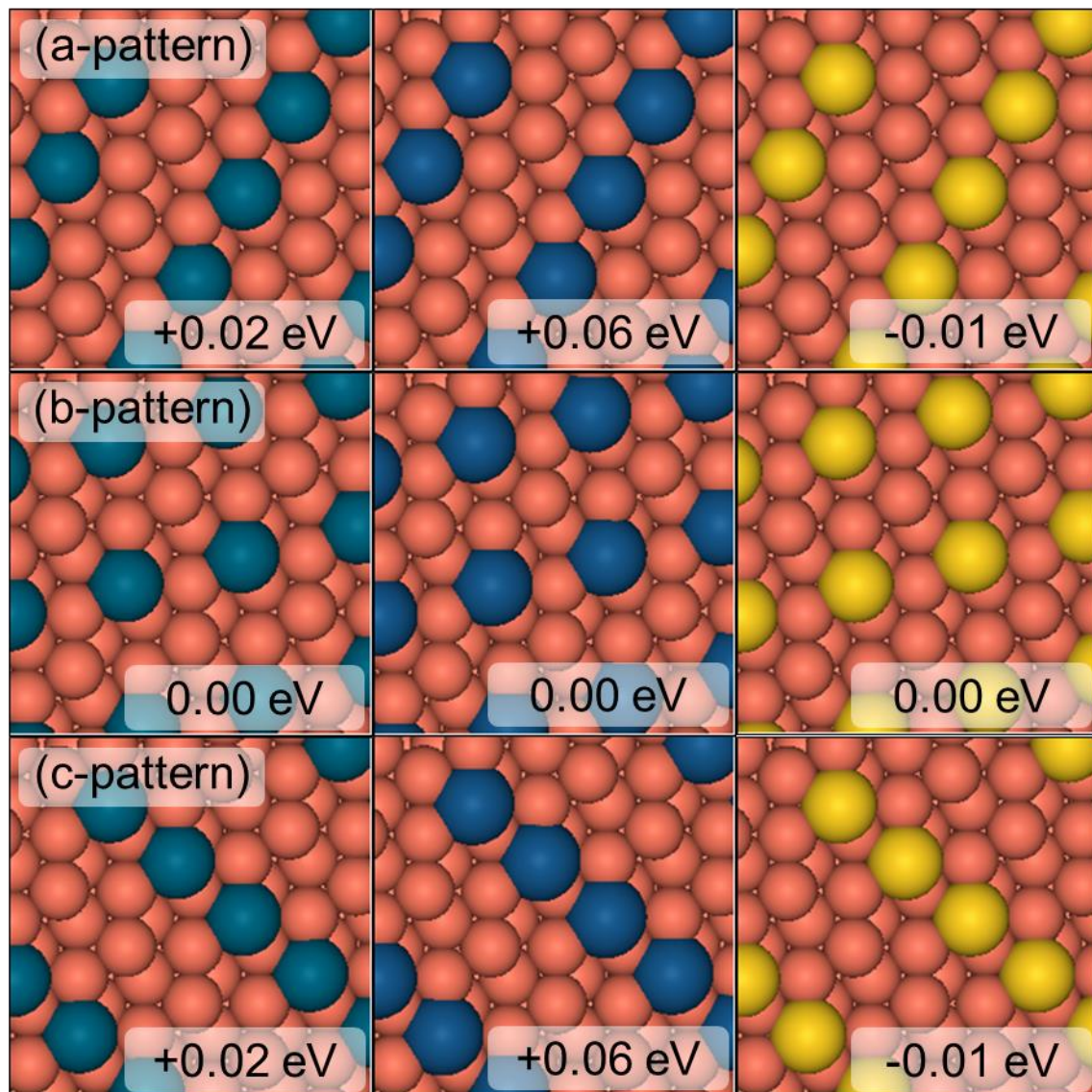


Figure S1: The configurations and energetics relative to the b-pattern of 50%-decorated surface structures.

*Corresponding author.
E-mail address: jwhan@uos.ac.kr

Figure S1 shows the configurations and energetics relative to b-pattern of 50%-decorated surface structures we examined. Although b-pattern is 0.01 eV less stable than other patterns with Au-decorating, we finally choose b-pattern in 50%-decorated surface because it is 0.02 eV and 0.06 eV more stable than other patterns with Pd- and Pt-decorating, respectively.

		E_{ads}	Diff_{ads}	 ΔE_{enan} 	Diff_{enan}
μ_4-serine on pure Cu(531)^S	D	-2.26	0.03	0.13	0.01
	L	-2.13	0.04		
μ_4-serine on Au-25%-decorated Cu(531)^S	D	-1.98	0.08	0.13	0.01
	L	-1.85	0.09		
μ_4-cysteine on pure Cu(531)^S	D	-3.25	0.06	0.10	0.01
	L	-3.35	0.04		
μ_4-cysteine on Au-50%-decorated Cu(531)^S	D	-2.63	0.07	0.18	0.01
	L	-2.81	0.06		

Table S1: E_{ads} and |ΔE_{enan}| of μ_4 -serine and μ_4 -cysteine on pure and decorated Cu(531)^S for concentration dependence. E_{ads} is the adsorption energy of amino acids on these surfaces. Diff_{ads} and Diff_{enan} are energy difference from E_{ads} and |ΔE_{enan}| of our original calculations, respectively.

We performed the test calculations for the adsorption of both enantiomers of μ_4 -serine and μ_4 -cysteine with four times lower coverage. There were slight interactions between the adsorbates on the coverage we originally used. However, the enantiospecific adsorption energy differences do not have significant changes between the two coverages, which does not change our key results in this paper.

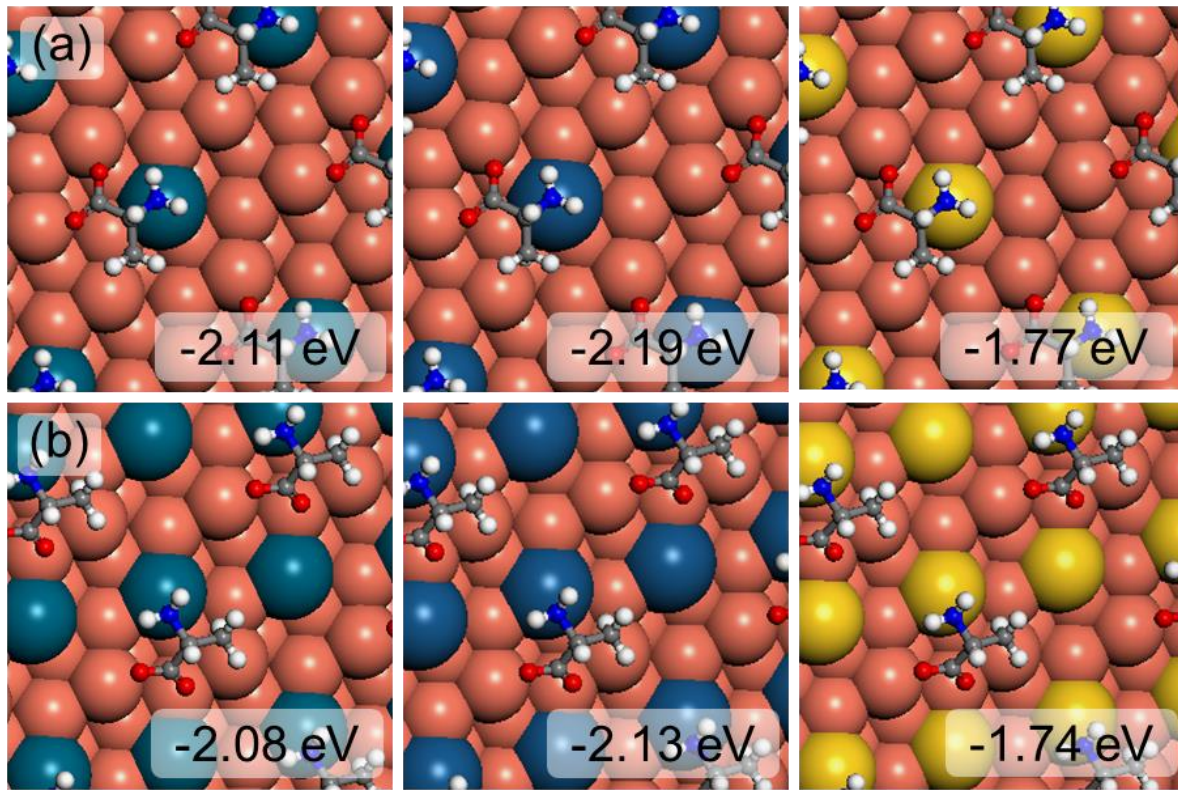


Figure S2: Top views of the most favorable adsorption configuration and energetic of D-alanine on (a) Pd-, Pt-, and Au-25%-decorated (b) Pd-, Pt-, and Au-50%-decorated Cu(531)^S, respectively.

Figure S2 shows the most favorable adsorption configuration and energetic of D-alanine on Pd-, Pt-, and Au-decorated surfaces. The most stable D-alanine has the adsorption energy of -2.19 eV on Pt-25%-decorated surfaces, while the most unstable D-alanine has the adsorption energy of -1.74 eV on Au-50%-decorated surfaces. For all cases, the more kink sites is decorated, the weaker the adsorption energy is.

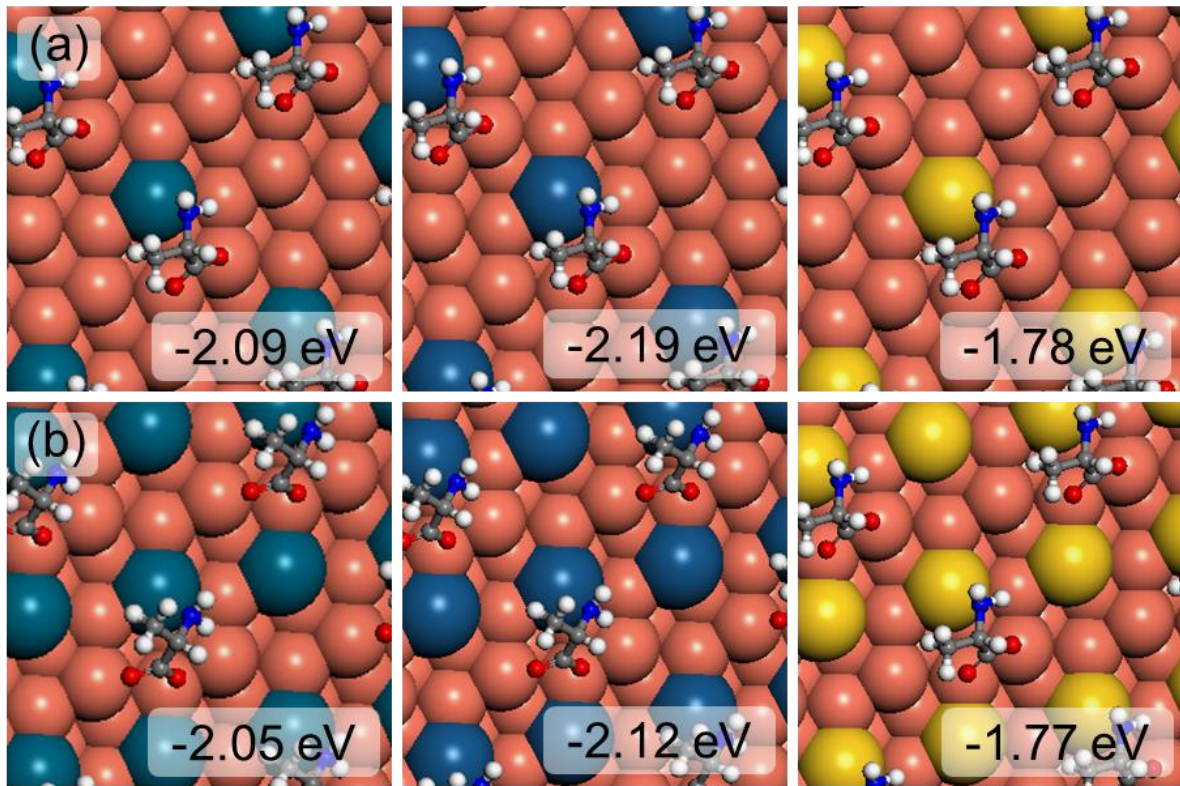


Figure S3: Top views of the most favorable adsorption configuration and energetic of L-alanine on (a) Pd-, Pt-, and Au-25%-decorated (b) Pd-, Pt-, and Au-50%-decorated Cu(531)^S, respectively.

Figure S3 shows the most favorable adsorption configuration and energetic of L-alanine on Pd-, Pt-, and Au-decorated surfaces. The most stable L-alanine has the adsorption energy of -2.19 eV on Pt-25%-decorated surfaces, while the most unstable L-alanine has the adsorption energy of -1.77 eV on Au-50%-decorated surfaces. For all cases, the more kink sites is decorated, the weaker the adsorption energy is.

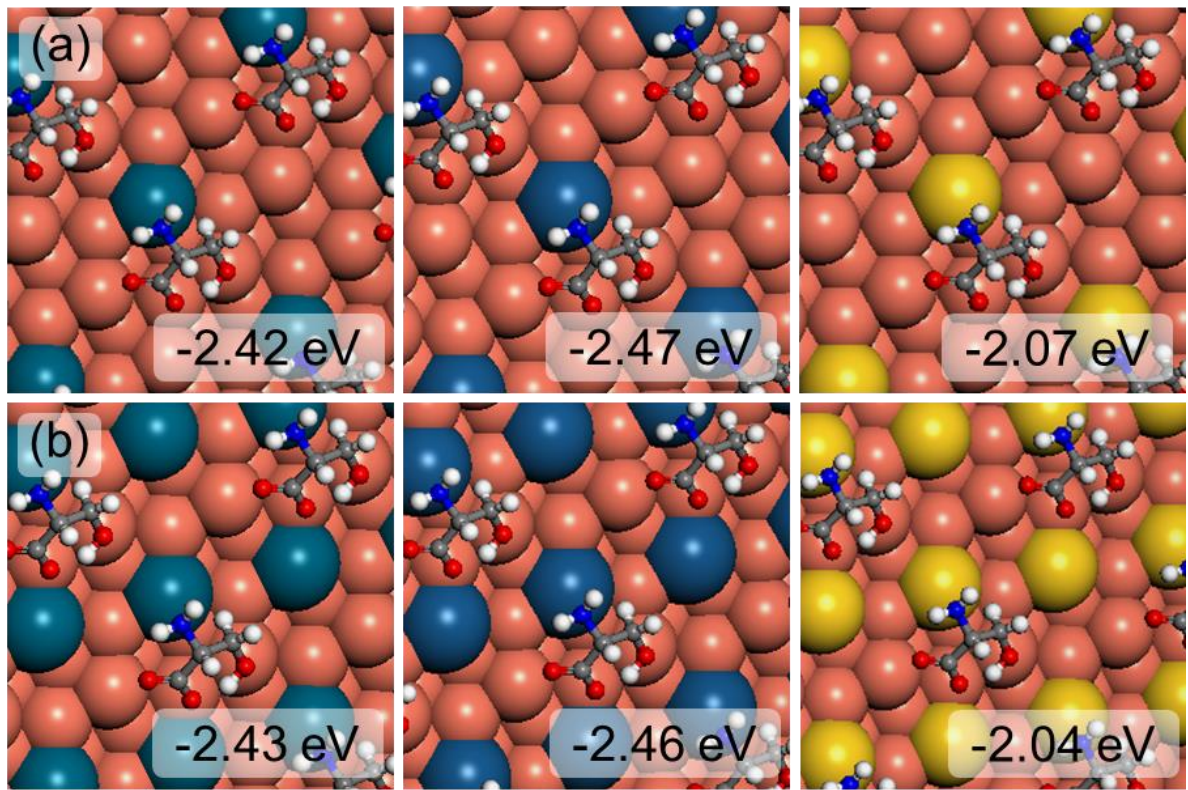


Figure S4: Top views of the most favorable adsorption configuration and energetic of D- μ_3 -serine on (a) Pd-, Pt-, and Au-25%-decorated (b) Pd-, Pt-, and Au-50%-decorated Cu(531)^S, respectively.

Figure S4 shows the most favorable adsorption configuration and energetic of D- μ_3 -serine on Pd-, Pt-, and Au-decorated surfaces. The most stable D- μ_3 -serine has the adsorption energy of -2.47 eV on Pt-25%-decorated surfaces, while the most unstable D- μ_3 -serine has the adsorption energy of -2.04 eV on Au-50%-decorated surfaces. For all cases, the more kink sites is decorated, the weaker the adsorption energy is.

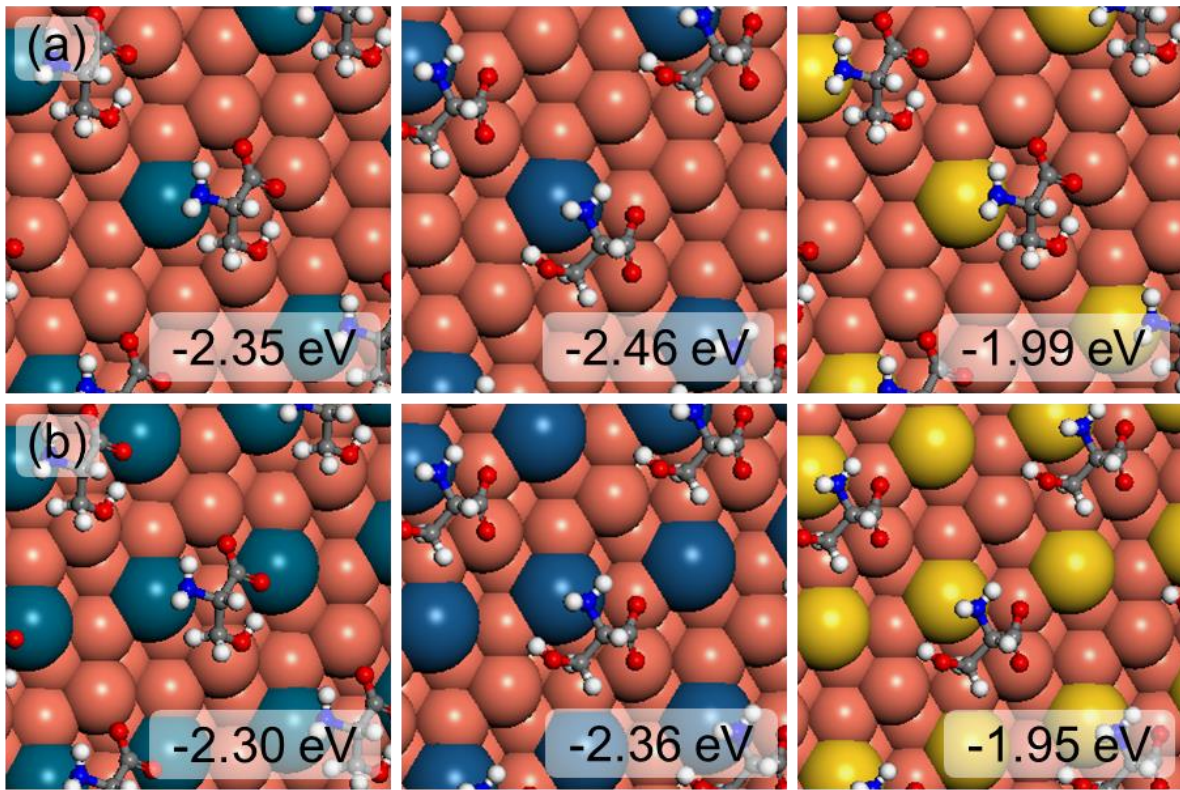


Figure S5: Top views of the most favorable adsorption configuration and energetic of L- μ_3 -serine on (a) Pd-, Pt-, and Au-25%-decorated (b) Pd-, Pt-, and Au-50%-decorated Cu(531)^S, respectively.

Figure S5 shows the most favorable adsorption configuration and energetic of L- μ_3 -serine on Pd-, Pt-, and Au-decorated surfaces. The most stable L- μ_3 -serine has the adsorption energy of -2.46 eV on Pt-25%-decorated surfaces, while the most unstable L- μ_3 -serine has the adsorption energy of -1.95 eV on Au-50%-decorated surfaces. For all cases, the more kink sites is decorated, the weaker the adsorption energy is.

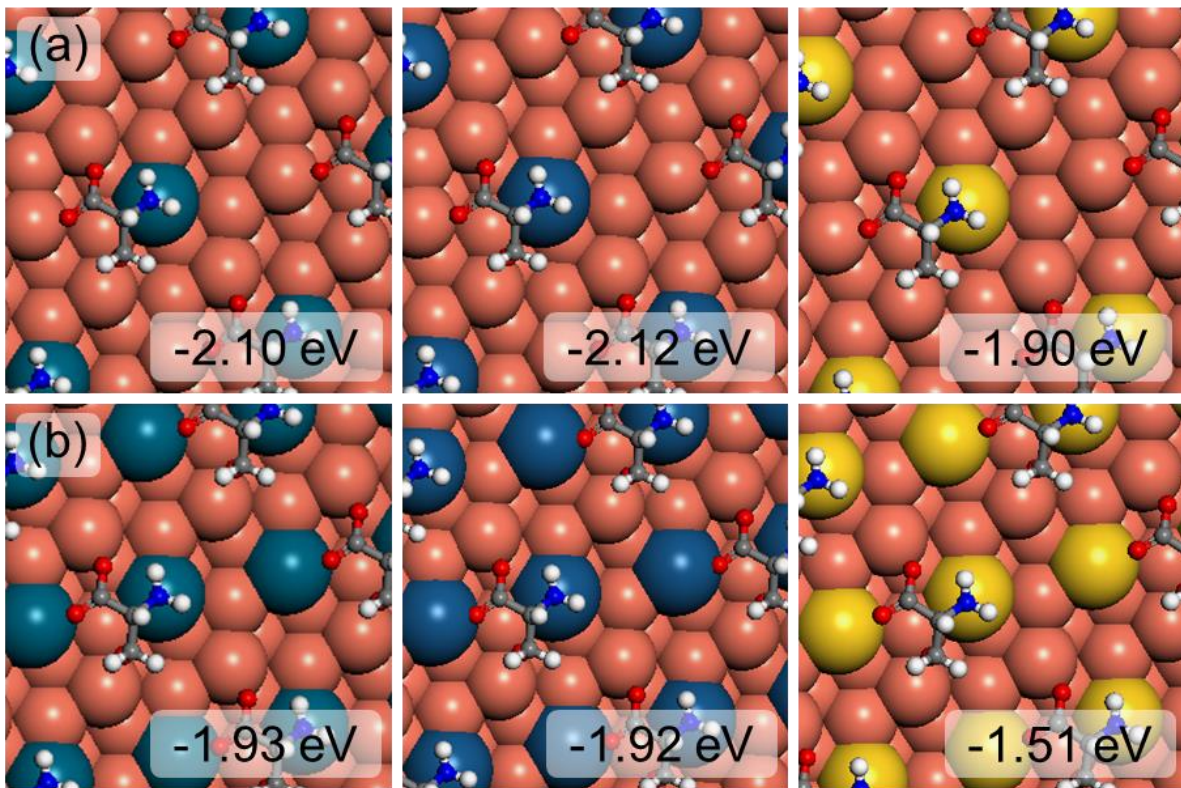


Figure S6: Top views of the most favorable adsorption configuration and energetic of D- μ_4 -serine on (a) Pd-, Pt-, and Au-25%-decorated (b) Pd-, Pt-, and Au-50%-decorated Cu(531)^S, respectively.

Figure S6 shows the most favorable adsorption configuration and energetic of D- μ_4 -serine on Pd-, Pt-, and Au-decorated surfaces. The most stable D- μ_4 -serine has the adsorption energy of -2.23 eV on pure surfaces, while the most unstable D- μ_4 -serine has the adsorption energy of -1.51 eV on Au-50%-decorated surfaces. For all cases, the more kink sites is decorated, the weaker the adsorption energy is.

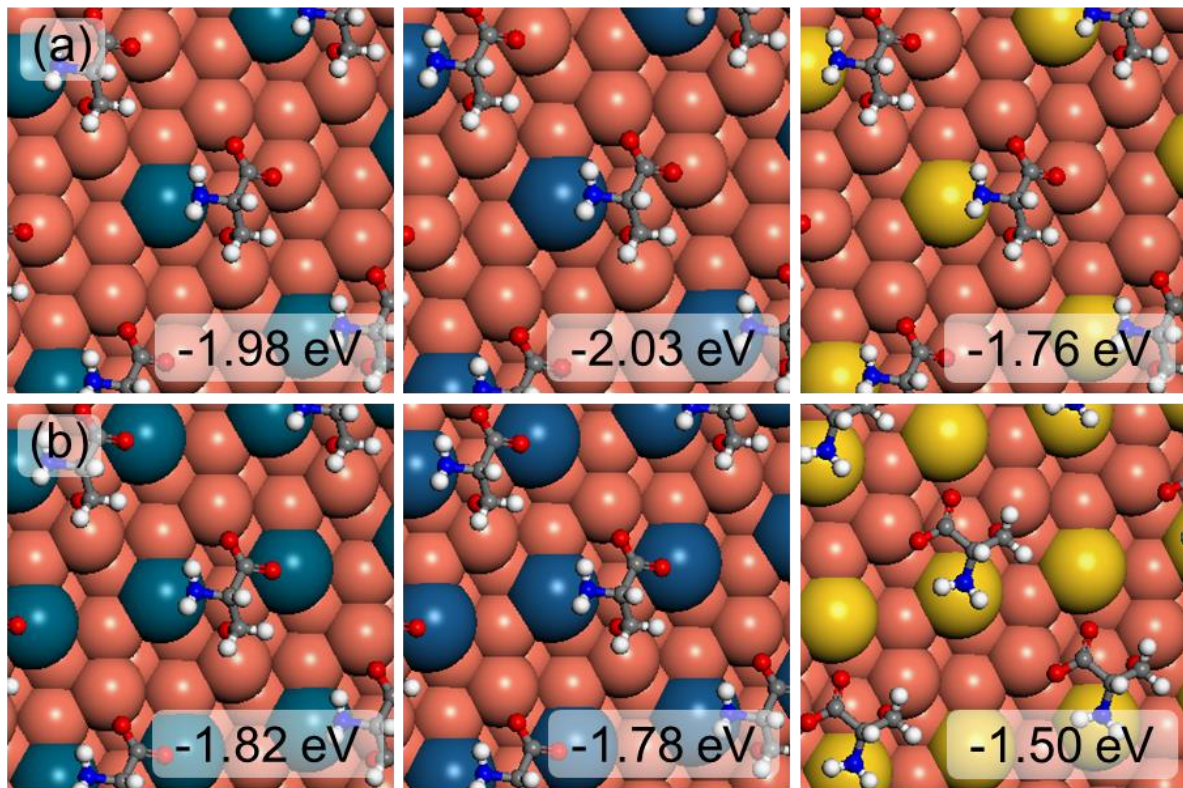


Figure S7: Top views of the most favorable adsorption configuration and energetic of L- μ_4 -serine on (a) Pd-, Pt-, and Au-25%-decorated (b) Pd-, Pt-, and Au-50%-decorated Cu(531)^S, respectively.

Figure S7 shows the most favorable adsorption configuration and energetic of L- μ_4 -serine on Pd-, Pt-, and Au-decorated surfaces. The most stable L- μ_4 -serine has the adsorption energy of -2.09 eV on pure surfaces, while the most unstable L- μ_4 -serine has the adsorption energy of -1.50 eV on Au-50%-decorated surfaces. For all cases, the more kink sites is decorated, the weaker the adsorption energy is.

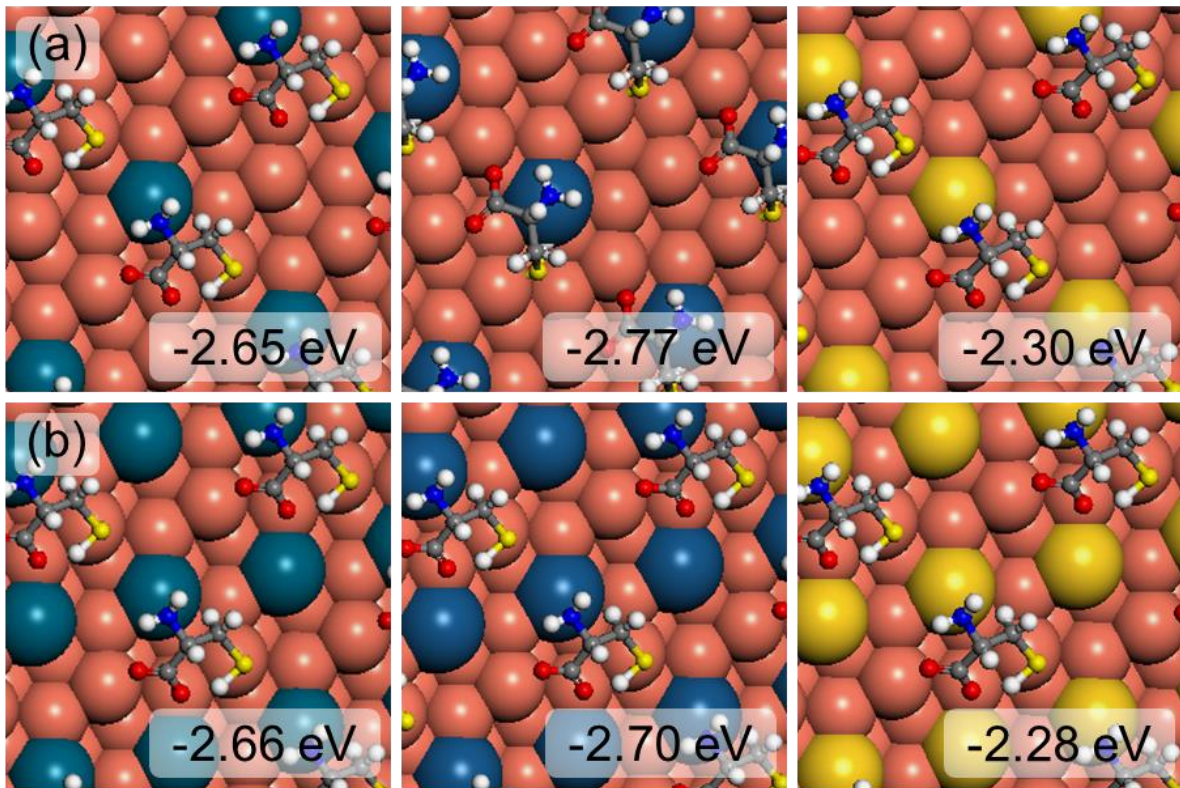


Figure S8: Top views of the most favorable adsorption configuration and energetic of D- μ_3 -cysteine on (a) Pd-, Pt-, and Au-25%-decorated (b) Pd-, Pt-, and Au-50%-decorated Cu(531)^S, respectively.

Figure S8 shows the most favorable adsorption configuration and energetic of D- μ_3 -cysteine on Pd-, Pt-, and Au-decorated surfaces. The most stable D- μ_3 -cysteine has the adsorption energy of -2.77 eV on Pt-25%-decorated surfaces, while the most unstable D- μ_3 -cysteine has the adsorption energy of -2.28 eV on Au-50%-decorated surfaces. For Pt and Au cases, the more kink sites is decorated, the weaker the adsorption energy is. But the adsorption energy of D- μ_3 -cysteine in Pd-25%-decorated Cu(531)^S is 0.01 eV less stable than Pd-50%-decorated Cu(531)^S.

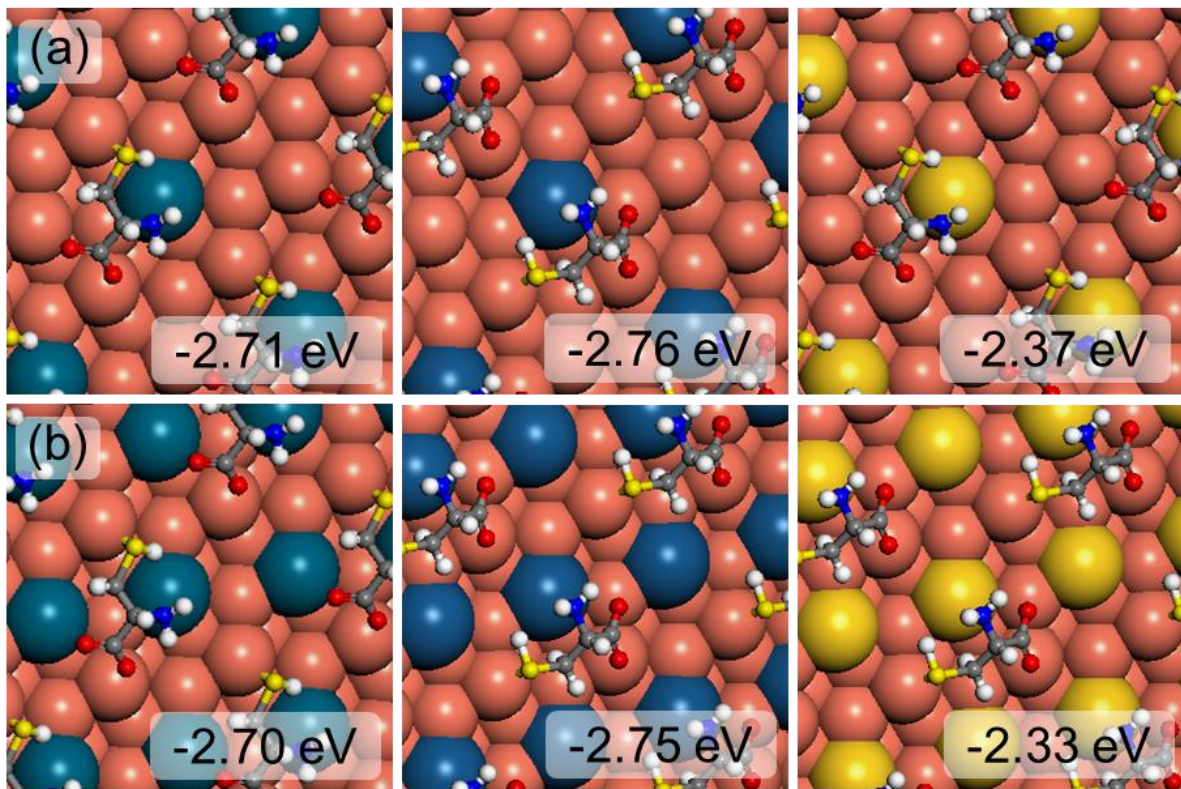


Figure S9: Top views of the most favorable adsorption configuration and energetic of L- μ_3 -cysteine on (a) Pd-, Pt-, and Au-25%-decorated (b) Pd-, Pt-, and Au-50%-decorated Cu(531)^S, respectively.

Figure S9 shows the most favorable adsorption configuration and energetic of L- μ_3 -cysteine on Pd-, Pt-, and Au-decorated surfaces. The most stable L- μ_3 -cysteine has the adsorption energy of -2.76 eV on Pt-25%-decorated surfaces, while the most unstable L- μ_3 -cysteine has the adsorption energy of -2.33 eV on Au-50%-decorated surfaces. For all cases, the more kink sites is decorated, the weaker the adsorption energy is.

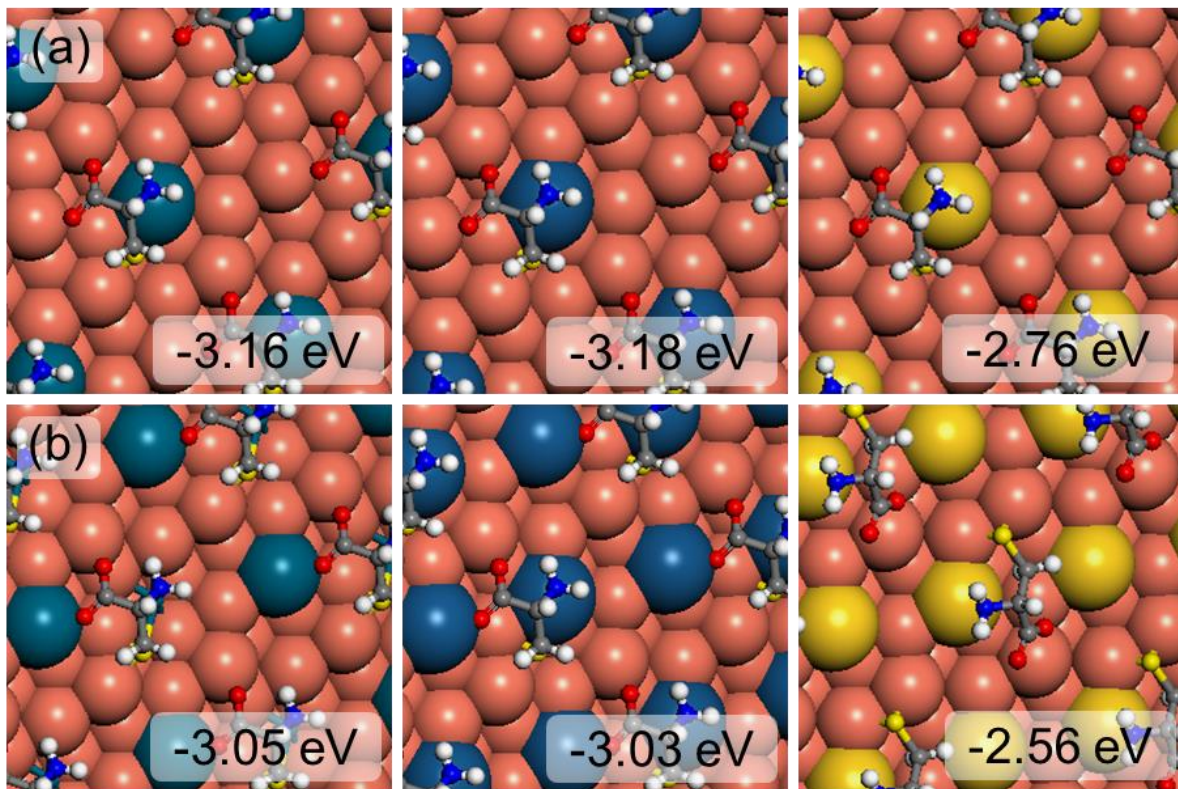


Figure S10: Top views of the most favorable adsorption configuration and energetic of D- μ_4 -cysteine on (a) Pd-, Pt-, and Au-25%-decorated (b) Pd-, Pt-, and Au-50%-decorated Cu(531)^S, respectively.

Figure S10 shows the most favorable adsorption configuration and energetic of D- μ_4 -cysteine on Pd-, Pt-, and Au-decorated surfaces. The most stable D- μ_4 -cysteine has the adsorption energy of -3.19 eV on pure surfaces, while the most unstable D- μ_4 -cysteine has the adsorption energy of -2.56 eV on Au-50%-decorated surfaces. For all cases, the more kink sites is decorated, the weaker the adsorption energy is.

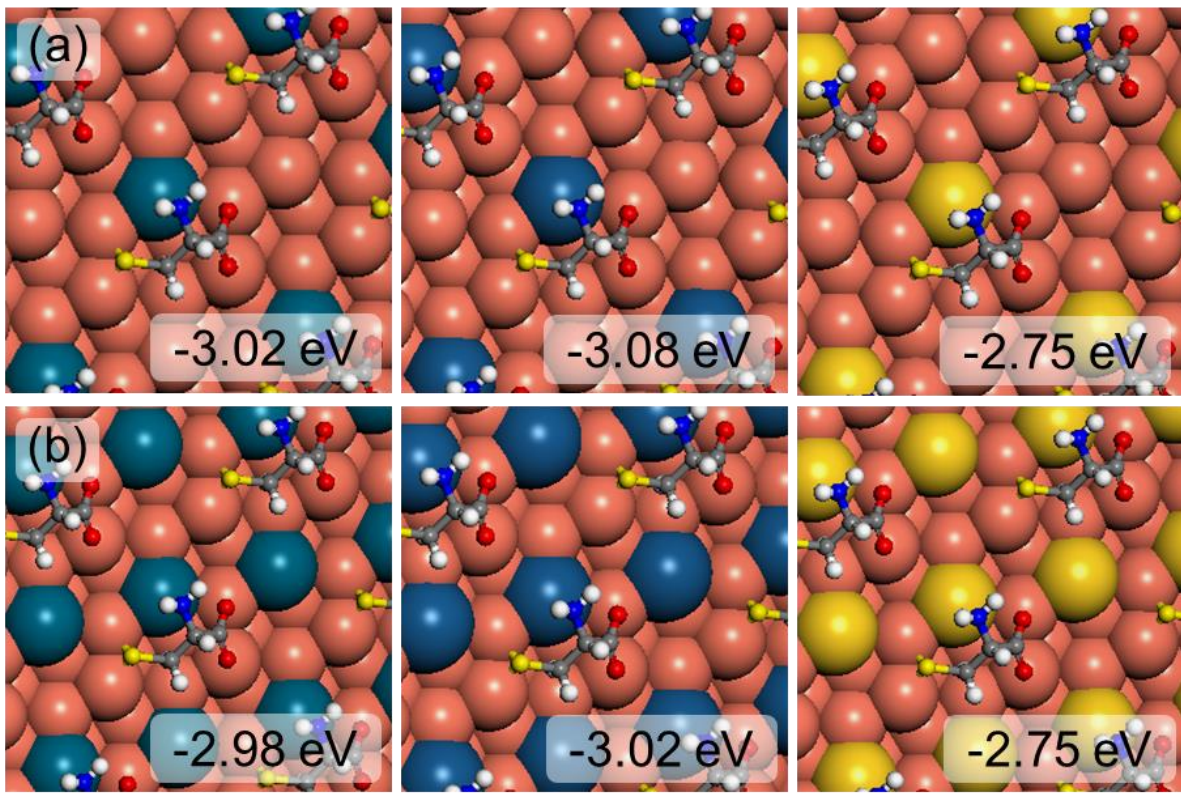


Figure S11: Top views of the most favorable adsorption configuration and energetic of L- μ_4 -cysteine on (a) Pd-, Pt-, and Au-25%-decorated (b) Pd-, Pt-, and Au-50%-decorated Cu(531)^S, respectively.

Figure S11 shows the most favorable adsorption configuration and energetic of L- μ_4 -cysteine on Pd-, Pt-, and Au-decorated surfaces. The most stable L- μ_4 -cysteine has the adsorption energy of -3.31 eV on pure surfaces, while the most unstable L- μ_4 -cysteine has the adsorption energy of -2.75 eV on Au-decorated surfaces. For Pd and Pt cases, the more kink sites is decorated, the weaker the adsorption energy is. But the adsorption energy of L- μ_4 -cysteine in Pd-25% and 50%-decorated Cu(531)^S are very similar to each other.

	Pure		Pd-25%		Pt-25%		Au-25%		Pd-50%		Pt-50%		Au-50%	
	D	L	D	L	D	L	D	L	D	L	D	L	D	L
Ala	-2.04	-2.12	-2.01	-2.02	-2.11	-2.14	-1.70	-1.72	-1.97	-1.95	-2.03	-2.04	-1.65	-1.70
Ser ($\mu 3$)	-2.21	-2.29	-2.34	-2.25	-2.42	-2.36	-2.02	-1.92	-2.34	-2.19	-2.40	-2.25	-1.97	-1.84
Ser ($\mu 4$)	-2.17	-2.01	-2.03	-1.92	-2.07	-2.00	-1.85	-1.72	-1.88	-1.77	-1.88	-1.75	-1.48	-1.48
Cys ($\mu 3$)	-2.65	-2.73	-2.64	-2.64	-2.77	-2.77	-2.32	-2.31	-2.65	-2.63	-2.72	-2.74	-2.29	-2.30
Cys ($\mu 4$)	-3.27	-3.35	-3.25	-3.02	-3.29	-3.11	-2.89	-2.78	-3.16	-2.98	-3.17	-3.04	-2.59	-2.75

Table S2: The adsorption energies (in eV) of both enantiomers of amino acids we examined on each surface by DFT-D3 method.

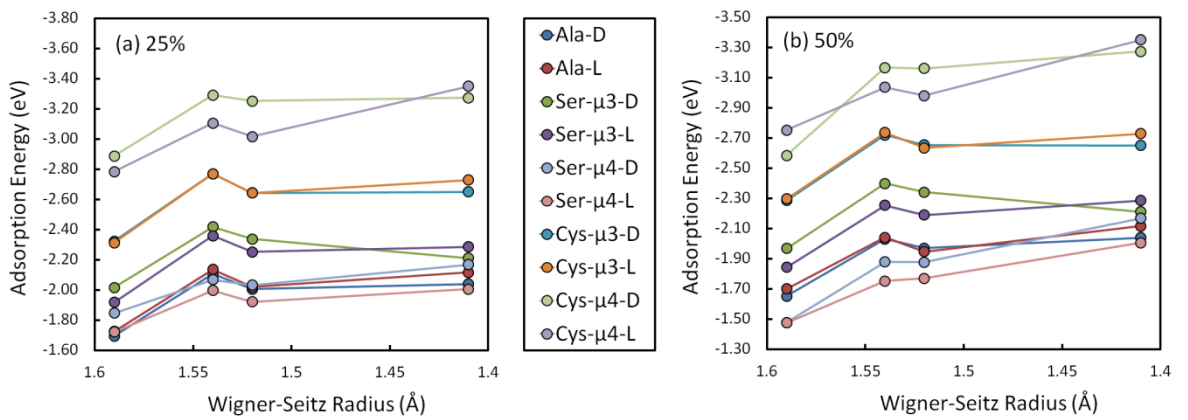


Figure S12: The adsorption energies of amino acids on (a) 25% Pd-, Pt-, and Au-decorated Cu(531)^S and (b) 50% Pd-, Pt-, and Au-decorated Cu(531)^S as a function of Wigner-Seitz radius of kink atom by DFT-D3 method.

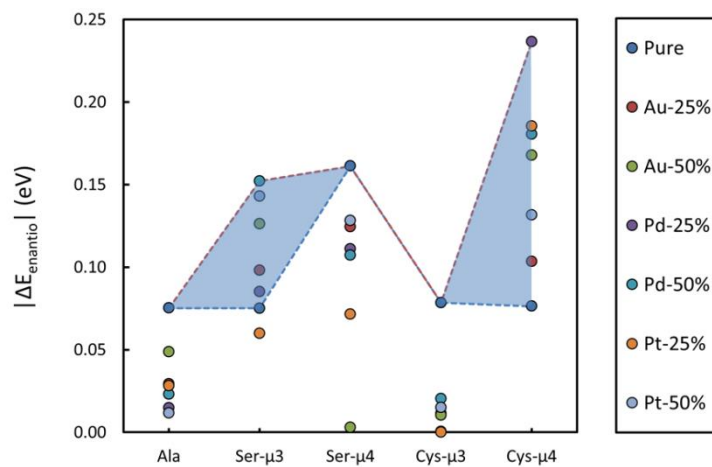


Figure S13: $|\Delta E_{\text{enantio}}|$ of amino acids on pure and step decorated Cu(531)^S performed by DFT-D3 method. The blue dashed line indicates $|\Delta E_{\text{enantio}}|$ of amino acids on pure Cu(531)^S, and the red dashed line denotes the highest $|\Delta E_{\text{enantio}}|$ of each amino acid among all surfaces.

To justify the numbers calculated by DFT-D2 method, we also performed DFT-D3 calculations. Although the adsorption energies and the corresponding enantiospecificities are slightly changed, our qualitative result that μ_3 -serine and μ_4 -cysteine show the largest enhancement of enantiospecificity upon the step decoration among the amino acids we examined is not changed under the DFT-D3 as can be seen in Fig. S13.

*** The full set of coordinates for all structures discussed in the text**

Tables S3-S75 list the coordinates for the structures of glycine, alanine, serine and cysteine adsorption we have examined on pure, Pd-, Pt-, and Au-decorated Cu(531)^S. The coordinates for the adsorbate are defined for a single supercell of a (1×1) surface unit cell with all coordinates in Å . A table defining unit cell vectors for supercell is also listed in Å .

	x	y	z
a	3.044	0.857	0.000
b	1.015	2.229	0.000
c	0.000	0.000	6.994

Table S3: Unit cell vectors of supercell used for calculations on Cu(531)^S with a lattice constant of 3.64 Å . (in Å)

Atom	x	y	z	Atom	x	y	z	Atom	x	y	z
C	5.512	5.023	9.688	Cu	11.032	8.052	6.257	Cu	8.659	5.928	3.246
C	4.217	5.611	9.112	Cu	9.178	4.055	6.265	Cu	6.806	1.867	3.227
H	5.400	5.002	10.787	Cu	5.485	6.526	6.126	Cu	3.086	4.343	3.223
H	5.628	3.987	9.334	Cu	3.605	2.453	6.218	Cu	1.248	0.297	3.242
H	7.463	5.676	9.967	Cu	9.074	6.526	5.696	Cu	2.964	6.811	2.581
H	6.433	6.813	9.346	Cu	7.244	2.495	5.618	Cu	1.128	2.769	2.627
N	6.706	5.821	9.292	Cu	3.554	5.005	5.572	Cu	8.502	8.369	2.536
O	4.217	6.875	8.932	Cu	1.671	0.910	5.651	Cu	6.669	4.320	2.561
O	3.262	4.800	8.918	Cu	-0.284	-0.646	4.984	Cu	12.139	8.396	1.977
				Cu	1.597	3.415	5.062	Cu	10.301	4.339	1.991
				Cu	8.974	8.987	4.941	Cu	6.591	6.818	1.957
				Cu	7.143	4.964	4.998	Cu	4.734	2.762	1.956
Cu	7.429	5.566	7.367	Cu	12.532	9.020	4.393	Cu	10.205	6.834	1.441
Cu	5.673	1.521	7.227	Cu	10.695	4.976	4.422	Cu	8.352	2.782	1.428
Cu	2.115	4.149	7.387	Cu	7.010	7.460	4.366	Cu	4.620	5.251	1.419
Cu	0.121	-0.119	7.343	Cu	5.148	3.397	4.351	Cu	2.764	1.208	1.444
Cu	12.911	9.678	6.727	Cu	10.602	7.458	3.828	Cu	10.104	9.330	0.949
Cu	11.163	5.573	6.800	Cu	8.755	3.416	3.809	Cu	8.258	5.273	0.955
Cu	7.421	8.095	6.719	Cu	5.063	5.894	3.773	Cu	4.528	7.738	0.956
Cu	5.550	3.986	6.677	Cu	3.202	1.835	3.817	Cu	2.666	3.688	0.942

Table S4: Coordinates for the most stable glycine adsorbed on pure Cu(531)^S. This configuration is shown in Fig. 1a.

Atom	x	y	z	Atom	x	y	z	Atom	x	y	z
C	8.457	4.757	9.969	Cu	10.832	8.190	6.181	Cu	8.477	5.997	3.205
C	9.776	4.623	9.211	Cu	9.014	4.105	6.140	Cu	6.638	1.954	3.227
H	8.664	4.982	11.030	Cu	5.324	6.600	6.173	Cu	2.928	4.435	3.227
H	7.913	3.805	9.907	Cu	3.424	2.554	6.208	Cu	1.086	0.382	3.213
H	6.754	5.938	9.827	Cu	8.910	6.623	5.605	Cu	2.811	6.902	2.562
H	8.157	6.709	9.397	Cu	7.073	2.595	5.621	Cu	0.949	2.833	2.540
N	7.643	5.822	9.329	Cu	3.391	5.089	5.609	Cu	8.336	8.446	2.535
O	10.235	5.698	8.706	Cu	1.496	0.997	5.637	Cu	6.503	4.404	2.557
O	10.269	3.455	9.094	Cu	-0.419	-0.573	4.978	Cu	11.981	8.467	1.951
				Cu	1.389	3.454	4.959	Cu	10.116	4.423	1.971
				Cu	5.094	0.965	4.926	Cu	6.416	6.905	1.938
				Cu	6.955	5.048	4.982	Cu	4.590	2.848	1.954
Cu	7.325	5.620	7.313	Cu	12.379	9.110	4.365	Cu	10.015	6.905	1.403
Cu	5.482	1.620	7.213	Cu	10.541	5.066	4.411	Cu	8.174	2.858	1.413
Cu	1.838	4.176	7.227	Cu	6.830	7.538	4.353	Cu	4.467	5.351	1.414
Cu	0.005	-0.081	7.329	Cu	4.982	3.488	4.370	Cu	2.624	1.289	1.416
Cu	12.762	9.734	6.724	Cu	10.435	7.544	3.777	Cu	6.240	1.277	0.946
Cu	10.982	5.709	6.823	Cu	8.595	3.489	3.779	Cu	8.071	5.343	0.917
Cu	7.243	8.173	6.705	Cu	4.896	5.977	3.773	Cu	0.668	-0.259	0.922
Cu	5.372	4.097	6.739	Cu	3.037	1.921	3.792	Cu	2.538	3.769	0.939

Table S5: Coordinates for the second most stable glycine adsorbed on pure Cu(531)^S. This configuration is shown in Fig. 1b.

Atom	x	y	z	Atom	x	y	z	Atom	x	y	z
C	7.774	4.125	9.894	Cu	10.759	8.142	6.189	Cu	8.414	5.986	3.214
C	8.777	3.246	9.149	Cu	8.945	4.122	6.104	Cu	6.580	1.927	3.224
H	8.028	4.146	10.968	Cu	5.234	6.619	6.250	Cu	2.888	4.433	3.239
H	6.766	3.712	9.760	Cu	3.396	2.529	6.203	Cu	1.021	0.359	3.228
H	7.219	6.126	9.856	Cu	8.833	6.618	5.608	Cu	2.745	6.890	2.578
H	8.774	5.843	9.363	Cu	7.025	2.576	5.603	Cu	0.895	2.815	2.536
N	7.809	5.494	9.304	Cu	3.310	5.067	5.649	Cu	8.285	8.434	2.547
O	9.950	3.735	9.001	Cu	1.452	0.986	5.641	Cu	6.439	4.389	2.575
O	8.357	2.143	8.686	Cu	-0.502	-0.596	5.024	Cu	11.927	8.462	1.995
				Cu	1.356	3.445	4.926	Cu	10.054	4.397	1.940
				Cu	5.044	0.956	4.941	Cu	6.362	6.896	1.971
				Cu	6.878	5.051	4.995	Cu	4.536	2.833	1.960
Cu	7.294	5.623	7.321	Cu	12.333	9.110	4.442	Cu	9.960	6.893	1.412
Cu	5.451	1.619	7.229	Cu	10.473	5.029	4.347	Cu	8.107	2.842	1.407
Cu	1.726	4.033	7.225	Cu	6.766	7.531	4.383	Cu	4.416	5.340	1.438
Cu	-0.082	0.100	7.354	Cu	4.926	3.474	4.378	Cu	2.569	1.273	1.426
Cu	12.708	9.663	6.853	Cu	10.381	7.529	3.782	Cu	6.193	1.260	0.941
Cu	10.866	5.684	6.694	Cu	8.525	3.468	3.770	Cu	7.997	5.329	0.930
Cu	7.195	8.164	6.739	Cu	4.827	5.975	3.815	Cu	0.619	-0.293	0.939
Cu	5.330	4.096	6.739	Cu	2.987	1.900	3.794	Cu	2.484	3.777	0.952

Table S6: Coordinates for the third most stable glycine adsorbed on pure Cu(531)^S. This configuration is shown in Fig. 1c.

Atom	x	y	z	Atom	x	y	z	Atom	x	y	z
C	7.961	4.126	9.891	Cu	10.867	8.158	6.176	Cu	8.520	6.027	3.191
C	7.682	2.834	9.094	Cu	9.037	4.136	6.128	Cu	6.662	1.956	3.181
C	9.418	4.549	9.884	Cu	5.369	6.656	6.182	Cu	2.979	4.477	3.200
H	9.574	5.446	10.503	Cu	3.535	2.565	6.184	Cu	1.134	0.405	3.213
H	10.054	3.737	10.260	Cu	8.935	6.638	5.612	Cu	2.824	6.912	2.510
H	9.729	4.782	8.848	Cu	7.112	2.610	5.543	Cu	0.987	2.854	2.509
H	7.630	3.931	10.929	Cu	3.406	5.114	5.612	Cu	8.397	8.496	2.561
H	7.218	6.061	9.868	Cu	1.599	1.041	5.605	Cu	6.541	4.431	2.540
H	6.131	4.918	9.367	Cu	-0.429	-0.584	4.921	Cu	11.990	8.496	1.962
N	7.115	5.210	9.304	Cu	1.450	3.483	4.900	Cu	10.151	4.425	1.919
O	6.446	2.577	8.894	Cu	5.167	1.019	4.990	Cu	6.488	6.943	1.943
O	8.677	2.148	8.714	Cu	7.004	5.086	4.954	Cu	4.631	2.887	1.922
Cu	7.405	5.658	7.315	Cu	12.407	9.134	4.401	Cu	10.041	6.937	1.393
Cu	5.624	1.660	7.316	Cu	10.565	5.060	4.332	Cu	8.181	2.871	1.370
Cu	1.845	4.058	7.188	Cu	6.887	7.577	4.360	Cu	4.529	5.383	1.396
Cu	0.019	0.093	7.182	Cu	5.026	3.519	4.336	Cu	2.687	1.324	1.405
Cu	12.787	9.719	6.810	Cu	10.463	7.562	3.776	Cu	6.252	1.297	0.891
Cu	10.974	5.682	6.694	Cu	8.617	3.505	3.737	Cu	8.101	5.354	0.904
Cu	7.328	8.202	6.731	Cu	4.937	6.015	3.770	Cu	0.741	-0.247	0.930
Cu	5.426	4.160	6.656	Cu	3.101	1.955	3.769	Cu	2.574	3.837	0.920

Table S7: Coordinates for the most stable D-alanine adsorbed on pure Cu(531)^S. This configuration is shown in Fig. 2a.

Atom	x	y	z	Atom	x	y	z	Atom	x	y	z
C	8.456	4.729	9.951	Cu	10.833	8.194	6.182	Cu	8.478	5.995	3.205
C	9.800	4.637	9.210	Cu	9.014	4.107	6.142	Cu	6.637	1.953	3.227
C	7.667	3.429	9.897	Cu	5.325	6.601	6.170	Cu	2.928	4.437	3.231
H	6.713	3.531	10.440	Cu	3.425	2.556	6.209	Cu	1.086	0.382	3.213
H	8.252	2.615	10.344	Cu	8.911	6.624	5.605	Cu	2.809	6.899	2.561
H	7.451	3.165	8.846	Cu	7.074	2.596	5.620	Cu	0.947	2.834	2.542
H	8.671	4.992	11.004	Cu	3.392	5.090	5.611	Cu	8.335	8.447	2.536
H	6.791	5.963	9.822	Cu	1.498	1.002	5.634	Cu	6.503	4.402	2.556
H	8.211	6.700	9.374	Cu	-0.419	-0.573	4.975	Cu	11.977	8.467	1.953
N	7.671	5.828	9.313	Cu	1.388	3.457	4.960	Cu	10.118	4.421	1.972
O	10.243	5.724	8.719	Cu	5.094	0.966	4.927	Cu	6.419	6.903	1.940
O	10.333	3.485	9.096	Cu	6.955	5.048	4.980	Cu	4.588	2.849	1.958
Cu	7.326	5.627	7.307	Cu	12.377	9.111	4.366	Cu	10.013	6.906	1.404
Cu	5.481	1.621	7.213	Cu	10.542	5.066	4.414	Cu	8.174	2.857	1.413
Cu	1.840	4.179	7.228	Cu	6.831	7.539	4.354	Cu	4.469	5.349	1.415
Cu	0.008	-0.072	7.319	Cu	4.983	3.489	4.373	Cu	2.620	1.290	1.417
Cu	12.765	9.737	6.724	Cu	10.433	7.543	3.778	Cu	6.239	1.281	0.946
Cu	10.981	5.719	6.826	Cu	8.595	3.489	3.780	Cu	8.072	5.339	0.918
Cu	7.241	8.175	6.705	Cu	4.896	5.977	3.772	Cu	0.670	-0.264	0.924
Cu	5.374	4.100	6.741	Cu	3.036	1.922	3.793	Cu	2.536	3.772	0.944

Table S8: Coordinates for the most stable L-alanine adsorbed on pure Cu(531)^S. This configuration is shown in Fig. 2b.

Atom	x	y	z	Atom	x	y	z	Atom	x	y	z
C	7.973	4.101	9.882	Cu	7.328	8.222	6.744	Cu	3.122	1.990	3.780
C	7.634	2.799	9.126	Cu	5.438	4.178	6.674	Cu	8.540	6.062	3.212
C	9.438	4.541	9.755	Cu	10.895	8.197	6.188	Cu	6.688	1.990	3.202
H	9.620	5.407	10.413	Cu	9.068	4.163	6.165	Cu	3.004	4.511	3.217
H	10.018	2.712	9.681	Cu	5.387	6.675	6.198	Cu	1.152	0.440	3.230
H	9.587	4.883	8.704	Cu	3.543	2.592	6.193	Cu	2.851	6.950	2.550
H	7.737	3.914	10.947	Cu	8.953	6.670	5.641	Cu	1.009	2.889	2.531
H	7.193	6.024	9.932	Cu	7.134	2.638	5.573	Cu	8.415	8.527	2.571
H	6.135	4.876	9.390	Cu	3.426	5.143	5.626	Cu	6.564	4.463	2.560
N	7.113	5.190	9.339	Cu	1.614	1.071	5.611	Cu	12.020	8.528	1.979
O	6.400	2.592	8.905	Cu	-0.398	-0.543	4.966	Cu	10.176	4.459	1.941
O	8.596	2.026	8.799	Cu	1.471	3.519	4.916	Cu	6.508	6.972	1.957
O	10.376	3.532	10.106	Cu	5.181	1.045	4.997	Cu	4.656	2.916	1.937
				Cu	7.028	5.113	4.978	Cu	10.065	6.968	1.413
				Cu	12.432	9.171	4.419	Cu	8.211	2.903	1.396
Cu	7.403	5.678	7.344	Cu	10.581	5.097	4.351	Cu	4.547	5.411	1.419
Cu	5.610	1.662	7.318	Cu	6.905	7.608	4.372	Cu	2.700	1.352	1.423
Cu	1.871	4.098	7.206	Cu	5.050	3.549	4.351	Cu	6.284	1.328	0.912
Cu	0.077	0.127	7.238	Cu	10.483	7.598	3.792	Cu	8.127	5.384	0.925
Cu	12.827	9.767	6.831	Cu	8.641	3.542	3.767	Cu	0.757	-0.223	0.949
Cu	11.005	5.720	6.705	Cu	4.960	6.050	3.789	Cu	2.597	3.860	0.938

Table S9: Coordinates for the most stable D- μ_3 -serine adsorbed on pure Cu(531)^S. This configuration is shown in Fig. 2c.

Atom	x	y	z	Atom	x	y	z	Atom	x	y	z
C	8.447	4.658	9.919	Cu	7.249	8.182	6.743	Cu	3.041	1.924	3.841
C	9.826	4.588	9.254	Cu	5.377	4.113	6.766	Cu	8.488	5.990	3.241
C	7.665	3.356	9.681	Cu	10.827	8.199	6.237	Cu	6.640	1.951	3.271
H	5.769	3.580	9.217	Cu	9.026	4.104	6.185	Cu	2.930	4.432	3.275
H	8.116	2.553	10.282	Cu	5.338	6.602	6.194	Cu	1.093	0.376	3.259
H	7.750	3.082	8.611	Cu	3.427	2.568	6.253	Cu	2.815	6.893	2.608
H	8.569	4.817	11.007	Cu	8.918	6.626	5.640	Cu	0.953	2.829	2.595
H	6.820	5.913	9.839	Cu	7.077	2.597	5.669	Cu	8.344	8.444	2.582
H	8.265	6.650	9.431	Cu	3.393	5.094	5.650	Cu	6.511	4.393	2.586
N	7.701	5.798	9.325	Cu	1.502	1.005	5.677	Cu	11.987	8.458	1.999
O	10.285	5.676	8.780	Cu	-0.412	-0.573	5.018	Cu	10.128	4.411	2.015
O	10.361	3.434	9.151	Cu	1.387	3.462	5.009	Cu	6.430	6.893	1.981
O	6.292	3.507	10.049	Cu	5.101	0.976	4.982	Cu	4.593	2.836	1.992
				Cu	6.967	5.045	5.009	Cu	10.023	6.897	1.450
				Cu	12.377	9.110	4.411	Cu	8.185	2.847	1.457
Cu	7.336	5.636	7.333	Cu	10.547	5.066	4.457	Cu	4.470	5.337	1.459
Cu	5.478	1.650	7.276	Cu	6.844	7.540	4.392	Cu	2.623	1.279	1.468
Cu	1.841	4.184	7.278	Cu	4.990	3.490	4.402	Cu	6.252	1.269	0.989
Cu	0.030	-0.097	7.366	Cu	10.436	7.547	3.823	Cu	8.084	5.329	0.954
Cu	12.772	9.736	6.763	Cu	8.601	3.483	3.823	Cu	0.677	-0.280	0.969
Cu	10.983	5.714	6.875	Cu	4.904	5.973	3.808	Cu	2.539	3.757	0.987

Table S10: Coordinates for the most stable L- μ_3 -serine adsorbed on pure Cu(531)^S. This configuration is shown in Fig. 2d.

Atom	x	y	z	Atom	x	y	z	Atom	x	y	z
C	5.480	5.036	9.773	Cu	7.423	8.071	6.696	Cu	3.195	1.834	3.780
C	4.185	5.522	9.073	Cu	5.505	4.015	6.697	Cu	8.631	5.913	3.221
C	5.732	3.530	9.678	Cu	10.992	8.032	6.227	Cu	6.764	1.842	3.171
H	4.821	3.032	10.058	Cu	9.159	4.032	6.214	Cu	3.070	4.331	3.170
H	6.571	3.280	10.362	Cu	5.483	6.511	6.087	Cu	1.242	0.294	3.203
H	5.321	5.266	10.846	Cu	3.587	2.419	6.157	Cu	2.946	6.794	2.529
H	7.409	5.758	9.964	Cu	9.045	6.493	5.675	Cu	1.114	2.760	2.580
H	6.347	6.817	9.260	Cu	7.221	2.465	5.523	Cu	8.496	8.374	2.540
H	6.647	5.832	9.280	Cu	3.540	4.991	5.517	Cu	6.642	4.305	2.530
N	4.130	6.782	8.869	Cu	1.658	0.884	5.621	Cu	12.103	8.380	1.931
O	3.281	4.663	8.841	Cu	3.394	7.457	4.930	Cu	10.286	4.322	1.956
O	6.065	3.114	8.379	Cu	1.573	3.398	5.018	Cu	6.585	6.817	1.920
Cu				Cu	8.973	8.991	4.975	Cu	4.716	2.767	1.928
Cu				Cu	7.114	4.942	4.977	Cu	10.167	6.825	1.418
Cu				Cu	12.513	8.993	4.338	Cu	8.319	2.760	1.387
Cu	7.421	5.557	7.368	Cu	10.681	4.963	4.382	Cu	4.610	5.247	1.370
Cu	5.678	1.509	7.296	Cu	6.999	7.452	4.333	Cu	2.764	1.207	1.405
Cu	2.085	4.122	7.325	Cu	5.140	3.401	4.351	Cu	10.054	9.320	0.891
Cu	0.095	-0.177	7.294	Cu	10.574	7.444	3.801	Cu	8.231	5.244	0.933
Cu	12.885	9.650	6.660	Cu	8.734	3.402	3.760	Cu	4.523	7.732	0.916
Cu	11.147	5.542	6.765	Cu	5.049	5.888	3.728	Cu	2.656	3.686	0.889

Table S11: Coordinates for the most stable D- μ_4 -serine adsorbed on pure Cu(531)^S. This configuration is shown in Fig. 2e.

Atom	x	y	z	Atom	x	y	z	Atom	x	y	z
C	8.152	4.303	9.725	Cu	7.329	8.297	6.802	Cu	3.096	2.005	3.919
C	9.613	4.427	9.254	Cu	5.530	4.202	6.974	Cu	8.538	6.064	3.287
C	7.499	3.045	9.048	Cu	10.866	8.254	6.295	Cu	6.686	2.017	3.296
H	7.656	2.181	9.718	Cu	9.064	4.172	6.197	Cu	2.993	4.504	3.359
H	8.112	2.839	8.125	Cu	5.414	6.687	6.253	Cu	1.157	0.459	3.329
H	8.134	4.166	10.821	Cu	3.494	2.648	6.303	Cu	2.871	6.958	2.651
H	6.441	5.442	9.662	Cu	8.976	6.712	5.659	Cu	1.011	2.913	2.658
H	7.847	6.341	9.799	Cu	7.133	2.634	5.641	Cu	8.408	8.531	2.671
H	7.414	5.528	9.349	Cu	3.502	5.148	5.758	Cu	6.563	4.463	2.646
N	10.010	5.566	8.844	Cu	1.533	1.085	5.775	Cu	12.022	8.543	2.051
O	10.288	3.342	9.212	Cu	-0.355	-0.512	5.070	Cu	10.191	4.488	2.059
O	6.147	3.180	8.697	Cu	1.418	3.519	5.088	Cu	6.495	6.971	2.042
Cu				Cu	5.171	1.081	5.084	Cu	4.640	2.929	2.103
Cu				Cu	7.017	5.115	5.064	Cu	10.067	6.984	1.500
Cu				Cu	12.444	9.161	4.464	Cu	8.239	2.917	1.490
Cu	7.457	5.841	7.355	Cu	10.599	5.135	4.510	Cu	4.537	5.412	1.510
Cu	5.546	1.732	7.417	Cu	6.899	7.620	4.455	Cu	2.694	1.364	1.539
Cu	1.866	4.215	7.328	Cu	5.066	3.589	4.541	Cu	6.266	1.365	1.019
Cu	0.074	-0.060	7.444	Cu	10.492	7.626	3.871	Cu	8.133	5.387	1.006
Cu	12.839	9.775	6.789	Cu	8.660	3.550	3.851	Cu	0.747	-0.207	1.036
Cu	10.952	5.765	6.998	Cu	4.961	6.050	3.864	Cu	2.604	3.857	1.066

Table S12: Coordinates for the most stable L- μ_4 -serine adsorbed on pure Cu(531)^S. This configuration is shown in Fig. 2f.

Atom	x	y	z	Atom	x	y	z	Atom	x	y	z
C	8.027	4.106	9.822	Cu	7.301	8.230	6.754	Cu	3.114	1.983	3.782
C	7.607	2.775	9.142	Cu	5.411	4.182	6.688	Cu	8.536	6.064	3.236
C	9.451	4.656	9.618	Cu	10.879	8.215	6.206	Cu	6.689	1.993	3.230
H	9.661	5.390	10.412	Cu	9.061	4.175	6.180	Cu	3.006	4.513	3.240
H	9.952	2.386	9.466	Cu	5.364	6.685	6.203	Cu	1.144	0.431	3.229
H	9.480	5.183	8.647	Cu	3.514	2.595	6.197	Cu	2.858	6.960	2.587
H	7.870	3.920	10.903	Cu	8.940	6.674	5.668	Cu	1.009	2.881	2.550
H	7.180	6.004	9.938	Cu	7.125	2.648	5.601	Cu	8.412	8.521	2.579
H	6.142	4.816	9.417	Cu	3.418	5.159	5.641	Cu	6.556	4.460	2.574
N	7.103	5.173	9.342	Cu	1.589	1.065	5.604	Cu	12.027	8.530	2.014
O	6.363	2.654	8.915	Cu	-0.389	-0.510	5.027	Cu	10.174	4.461	1.957
O	8.483	1.874	8.916	Cu	1.474	3.526	4.924	Cu	6.492	6.970	1.971
S	-0.236	0.333	9.611	Cu	5.169	1.046	5.008	Cu	4.655	2.910	1.956
				Cu	7.012	5.112	4.986	Cu	10.073	6.968	1.435
				Cu	12.435	9.183	4.443	Cu	8.220	2.905	1.421
Cu	7.351	5.684	7.335	Cu	10.577	5.096	4.365	Cu	4.539	5.412	1.433
Cu	5.572	1.674	7.323	Cu	6.899	7.607	4.384	Cu	2.695	1.341	1.425
Cu	1.859	4.121	7.214	Cu	5.041	3.546	4.371	Cu	6.297	1.332	0.943
Cu	0.109	0.156	7.340	Cu	10.480	7.598	3.814	Cu	8.127	5.396	0.952
Cu	12.813	9.777	6.840	Cu	8.639	3.544	3.787	Cu	0.739	-0.227	0.949
Cu	11.013	5.741	6.689	Cu	4.951	6.051	3.804	Cu	2.594	3.853	0.968

Table S13: Coordinates for the most stable D- μ_3 -cysteine adsorbed on pure Cu(531)^S. This configuration is shown in Fig. 2g.

Atom	x	y	z	Atom	x	y	z	Atom	x	y	z
C	8.373	4.477	9.877	Cu	7.267	8.228	6.805	Cu	3.049	1.955	3.878
C	9.824	4.543	9.320	Cu	5.374	4.181	6.721	Cu	8.500	6.019	3.286
C	7.765	3.162	9.369	Cu	10.832	8.236	6.294	Cu	6.640	1.966	3.289
H	5.608	4.046	8.795	Cu	9.029	4.138	6.202	Cu	2.933	4.456	3.290
H	8.235	2.313	9.880	Cu	5.337	6.653	6.223	Cu	1.113	0.410	3.307
H	7.976	3.068	8.286	Cu	3.450	2.593	6.275	Cu	2.819	6.908	2.626
H	8.403	4.490	10.982	Cu	8.927	6.666	5.690	Cu	0.952	2.852	2.623
H	6.793	5.837	9.896	Cu	7.081	2.619	5.675	Cu	8.363	8.493	2.670
H	8.274	6.477	9.475	Cu	3.389	5.119	5.648	Cu	6.519	4.415	2.611
N	7.650	5.666	9.361	Cu	1.505	1.048	5.733	Cu	11.969	8.480	2.024
O	10.225	5.671	8.901	Cu	-0.407	-0.541	5.036	Cu	10.139	4.428	2.052
O	-0.630	0.313	9.244	Cu	1.386	3.489	5.040	Cu	6.466	6.925	2.024
S	5.962	2.918	9.530	Cu	5.130	1.045	5.103	Cu	4.598	2.874	2.015
				Cu	6.980	5.077	5.020	Cu	10.009	6.926	1.493
				Cu	12.375	9.130	4.424	Cu	8.183	2.858	1.475
Cu	7.319	5.675	7.342	Cu	10.552	5.097	4.497	Cu	4.492	5.365	1.478
Cu	5.526	1.726	7.448	Cu	6.860	7.582	4.448	Cu	2.652	1.308	1.506
Cu	1.850	4.200	7.294	Cu	4.995	3.508	4.412	Cu	6.224	1.290	1.009
Cu	0.016	-0.062	7.394	Cu	10.433	7.578	3.871	Cu	8.099	5.337	0.995
Cu	12.796	9.750	6.758	Cu	8.607	3.504	3.839	Cu	0.708	-0.249	1.023
Cu	10.960	5.755	6.938	Cu	4.917	6.005	3.828	Cu	2.539	3.793	1.016

Table S14: Coordinates for the most stable L- μ_3 -cysteine adsorbed on pure Cu(531)^S. This configuration is shown in Fig. 2h.

Atom	x	y	z	Atom	x	y	z	Atom	x	y	z
C	5.468	5.305	9.869	Cu	7.407	7.987	6.692	Cu	3.179	1.775	3.751
C	4.156	5.604	9.097	Cu	5.450	3.933	6.674	Cu	8.620	5.864	3.216
C	5.840	3.829	9.959	Cu	11.005	7.974	6.206	Cu	6.735	1.778	3.125
H	4.929	3.243	10.129	Cu	9.145	3.985	6.170	Cu	3.054	4.274	3.139
H	6.534	3.667	10.800	Cu	5.466	6.455	6.073	Cu	1.232	0.240	3.173
H	5.261	5.658	10.899	Cu	3.574	2.334	6.148	Cu	2.932	6.734	2.489
H	7.339	6.202	9.977	Cu	9.026	6.437	5.695	Cu	1.099	2.710	2.562
H	6.210	7.072	9.130	Cu	7.210	2.392	5.447	Cu	8.475	8.318	2.512
N	6.577	6.125	9.295	Cu	3.530	4.933	5.482	Cu	6.629	4.251	2.523
O	3.961	6.845	8.876	Cu	1.649	0.827	5.588	Cu	12.078	8.324	1.901
O	3.379	4.639	8.830	Cu	3.382	7.400	4.891	Cu	10.274	4.265	1.935
S	6.695	3.205	8.457	Cu	1.576	3.350	5.001	Cu	6.571	6.766	1.902
Cu				Cu	8.951	8.927	4.951	Cu	4.701	2.713	1.887
Cu				Cu	7.099	4.894	4.972	Cu	10.149	6.769	1.403
Cu				Cu	12.503	8.939	4.298	Cu	8.294	2.703	1.361
Cu	7.348	5.418	7.445	Cu	10.671	4.912	4.365	Cu	4.606	5.192	1.347
Cu	5.695	1.483	7.259	Cu	6.984	7.395	4.318	Cu	2.747	1.160	1.371
Cu	2.129	4.087	7.318	Cu	5.114	3.335	4.316	Cu	10.026	9.251	0.848
Cu	0.082	-0.188	7.241	Cu	10.555	7.389	3.790	Cu	8.216	5.190	0.925
Cu	12.876	9.603	6.622	Cu	8.721	3.351	3.727	Cu	4.512	7.681	0.886
Cu	11.150	5.499	6.741	Cu	5.036	5.833	3.706	Cu	2.639	3.640	0.858

Table S15: Coordinates for the most stable D- μ_4 -cysteine adsorbed on pure Cu(531)^S. This configuration is shown in Fig. 2i.

Atom	x	y	z	Atom	x	y	z	Atom	x	y	z
C	8.326	4.436	9.806	Cu	7.271	8.231	6.789	Cu	3.067	1.964	3.899
C	9.780	4.484	9.283	Cu	5.431	4.168	6.990	Cu	8.499	6.023	3.294
C	7.651	3.170	9.225	Cu	10.853	8.223	6.282	Cu	6.646	1.980	3.302
H	7.944	2.304	9.831	Cu	9.050	4.138	6.204	Cu	2.954	4.464	3.323
H	8.049	3.009	8.203	Cu	5.376	6.624	6.231	Cu	1.122	0.420	3.306
H	8.338	4.374	10.910	Cu	3.454	2.590	6.288	Cu	2.837	6.921	2.634
H	6.718	5.737	9.816	Cu	8.950	6.672	5.674	Cu	0.977	2.870	2.633
H	8.209	6.483	9.649	Cu	7.097	2.607	5.674	Cu	8.373	8.496	2.663
N	7.639	5.676	9.369	Cu	3.451	5.103	5.708	Cu	6.528	4.428	2.652
O	10.211	5.605	8.863	Cu	1.510	1.035	5.739	Cu	11.981	8.501	2.034
O	10.400	3.370	9.220	Cu	-0.384	-0.549	5.053	Cu	10.144	4.448	2.054
S	5.824	3.194	9.050	Cu	1.402	3.487	5.062	Cu	6.460	6.942	2.033
Cu				Cu	5.135	1.031	5.077	Cu	4.609	2.899	2.080
Cu				Cu	6.981	5.063	5.075	Cu	10.020	6.944	1.495
Cu				Cu	12.403	9.130	4.443	Cu	8.192	2.881	1.492
Cu	7.417	5.767	7.362	Cu	10.571	5.100	4.497	Cu	4.511	5.383	1.492
Cu	5.520	1.648	7.418	Cu	6.866	7.575	4.442	Cu	2.669	1.334	1.517
Cu	1.861	4.194	7.317	Cu	5.031	3.543	4.529	Cu	6.225	1.323	1.017
Cu	0.064	-0.102	7.419	Cu	10.456	7.583	3.863	Cu	8.086	5.355	1.006
Cu	12.816	9.742	6.774	Cu	8.621	3.508	3.856	Cu	0.714	-0.230	1.015
Cu	10.973	5.738	6.954	Cu	4.926	6.005	3.849	Cu	2.573	3.821	1.035

Table S16: Coordinates for the most stable L- μ_4 -cysteine adsorbed on pure Cu(531)^S. This configuration is shown in Fig. 2j.

Atom	x	y	z	Atom	x	y	z	Atom	x	y	z
C	5.435	5.161	9.920	Cu	7.437	8.058	6.668	Cu	3.200	1.818	3.740
C	4.177	5.565	9.115	Cu	5.550	3.977	6.620	Cu	8.662	5.910	3.149
C	5.746	3.675	9.927	Cu	11.038	8.020	6.190	Cu	6.809	1.855	3.153
H	4.861	3.098	10.222	Cu	9.196	4.018	6.168	Cu	3.090	4.328	3.147
H	6.578	3.453	10.613	Cu	5.480	6.497	6.058	Cu	1.254	0.281	3.165
H	6.054	3.353	8.912	Cu	3.622	2.416	6.131	Cu	2.967	6.793	2.501
H	5.218	5.483	10.958	Cu	9.092	6.502	5.568	Cu	1.135	2.758	2.545
H	7.366	5.874	10.096	Cu	7.242	2.473	5.537	Cu	8.503	8.357	2.469
H	6.315	6.929	9.367	Cu	3.555	4.981	5.488	Cu	6.670	4.301	2.462
N	6.601	5.943	9.416	Cu	1.680	0.877	5.590	Cu	12.140	8.387	1.902
O	4.078	6.816	8.878	Cu	3.422	7.443	4.905	Cu	10.304	4.326	1.907
O	3.344	4.653	8.824	Cu	1.594	3.389	4.989	Cu	6.596	6.802	1.867
				Cu	8.970	8.963	4.869	Cu	4.730	2.756	1.889
				Cu	7.146	4.931	4.876	Cu	10.205	6.820	1.360
				Cu	12.534	8.998	4.322	Cu	8.358	2.773	1.340
Pd	7.463	5.532	7.366	Cu	10.707	4.950	4.338	Cu	4.625	5.242	1.336
Cu	5.685	1.489	7.145	Cu	7.011	7.438	4.294	Cu	2.767	1.198	1.364
Cu	2.134	4.126	7.306	Cu	5.157	3.380	4.288	Cu	10.097	9.330	0.881
Cu	0.115	-0.179	7.273	Cu	10.607	7.443	3.743	Cu	8.259	5.255	0.857
Cu	12.907	9.649	6.653	Cu	8.768	3.393	3.726	Cu	4.532	7.725	0.876
Cu	11.158	5.536	6.727	Cu	5.070	5.878	3.693	Cu	2.672	3.683	0.860

Table S17: Coordinates for the most stable D-alanine adsorbed on Pd-25%-decorated Cu(531)^S.

Atom	x	y	z	Atom	x	y	z	Atom	x	y	z
C	7.984	4.102	10.055	Cu	7.161	8.165	6.715	Cu	2.936	1.901	3.733
C	8.885	3.209	9.187	Cu	5.273	4.103	6.690	Cu	8.369	5.976	3.142
C	6.547	3.625	10.140	Cu	10.709	8.145	6.137	Cu	6.537	1.928	3.180
H	5.937	4.328	10.732	Cu	8.912	4.109	6.069	Cu	2.844	4.434	3.194
H	6.497	2.630	10.602	Cu	5.189	6.618	6.172	Cu	0.977	0.354	3.172
H	6.118	3.560	9.123	Cu	3.352	2.530	6.147	Cu	2.695	6.885	2.526
H	8.432	4.140	11.066	Cu	8.799	6.620	5.524	Cu	0.846	2.809	2.481
H	7.533	6.128	10.043	Cu	6.979	2.586	5.557	Cu	8.233	8.430	2.499
H	9.015	5.765	9.388	Cu	3.258	5.075	5.598	Cu	6.392	4.378	2.497
N	8.034	5.463	9.444	Cu	1.419	0.984	5.579	Cu	11.876	8.461	1.955
O	10.077	3.646	9.012	Cu	-0.550	-0.589	4.974	Cu	10.006	4.390	1.874
O	8.382	2.168	8.670	Cu	1.298	3.445	4.872	Cu	6.318	6.884	1.912
				Cu	4.991	0.960	4.894	Cu	4.485	2.828	1.913
				Cu	6.827	5.044	4.899	Cu	9.908	6.886	1.351
				Cu	12.285	9.113	4.403	Cu	8.062	2.837	1.351
Pd	7.263	5.617	7.357	Cu	10.424	5.021	4.291	Cu	4.372	5.335	1.379
Cu	5.410	1.632	7.177	Cu	6.726	7.525	4.336	Cu	2.518	1.265	1.367
Cu	1.680	4.039	7.165	Cu	4.884	3.476	4.330	Cu	6.141	1.259	0.899
Cu	-0.086	0.084	7.300	Cu	10.327	7.528	3.722	Cu	7.946	5.319	0.851
Cu	12.650	9.680	6.820	Cu	8.481	3.470	3.719	Cu	0.574	-0.307	0.884
Cu	10.820	5.674	6.642	Cu	4.777	5.978	3.757	Cu	2.437	3.782	0.910

Table S18: Coordinates for the most stable L-alanine adsorbed on Pd-25%-decorated Cu(531)^S.

Atom	x	y	z	Atom	x	y	z	Atom	x	y	z
C	8.118	3.908	9.919	Cu	7.289	8.273	6.768	Cu	3.097	2.030	3.776
C	7.680	2.621	9.185	Cu	5.405	4.221	6.705	Cu	8.513	6.108	3.198
C	9.554	4.408	9.627	Cu	10.872	8.256	6.169	Cu	6.674	2.044	3.221
H	9.929	4.978	10.493	Cu	9.052	4.207	6.165	Cu	2.993	4.557	3.211
H	9.929	2.527	9.249	Cu	5.324	6.736	6.206	Cu	1.130	0.489	3.223
H	9.495	5.088	8.754	Cu	3.528	2.629	6.195	Cu	2.839	7.012	2.565
H	8.044	3.652	10.995	Cu	8.920	6.731	5.607	Cu	0.991	2.932	2.518
H	7.248	5.771	10.233	Cu	7.114	2.695	5.597	Cu	8.392	8.571	2.579
H	6.217	4.612	9.635	Cu	3.411	5.176	5.608	Cu	6.539	4.508	2.549
N	7.169	4.992	9.573	Cu	1.572	1.119	5.615	Cu	12.011	8.580	1.982
O	6.441	2.480	8.974	Cu	-0.405	-0.468	5.012	Cu	10.145	4.515	1.932
O	12.285	9.880	8.892	Cu	1.451	3.565	4.899	Cu	6.477	7.023	1.960
O	-0.572	0.239	9.339	Cu	5.152	1.094	5.002	Cu	4.638	2.968	1.947
				Cu	6.988	5.163	4.945	Cu	10.039	7.018	1.403
				Cu	12.425	9.225	4.412	Cu	8.196	2.958	1.401
Pd	7.365	5.716	7.428	Cu	10.556	5.142	4.343	Cu	4.528	5.471	1.409
Cu	5.584	1.697	7.325	Cu	6.875	7.653	4.389	Cu	2.688	1.396	1.411
Cu	1.846	4.139	7.188	Cu	5.035	3.594	4.366	Cu	6.268	1.386	0.935
Cu	0.082	0.228	7.327	Cu	10.462	7.644	3.780	Cu	8.089	5.441	0.907
Cu	12.818	9.795	6.799	Cu	8.623	3.593	3.775	Cu	0.730	-0.168	0.942
Cu	10.966	5.797	6.678	Cu	4.930	6.104	3.792	Cu	2.587	3.907	0.937

Table S19: Coordinates for the most stable D- μ_3 -serine adsorbed on Pd-25%-decorated Cu(531)^S.

Atom	x	y	z	Atom	x	y	z	Atom	x	y	z
C	9.299	5.968	9.844	Cu	7.109	8.028	6.710	Cu	2.963	1.769	3.780
C	10.208	7.011	9.146	Cu	5.318	3.897	6.788	Cu	8.359	5.824	3.181
C	9.550	4.464	9.568	Cu	10.788	8.031	6.040	Cu	6.535	1.788	3.235
H	0.321	1.840	9.123	Cu	8.897	3.957	6.149	Cu	2.867	4.295	3.209
H	9.250	3.875	10.450	Cu	5.153	6.439	6.225	Cu	1.001	0.223	3.190
H	8.898	4.175	8.719	Cu	3.384	2.381	6.271	Cu	2.717	6.761	2.545
H	9.469	6.156	10.923	Cu	8.807	6.500	5.544	Cu	0.873	2.672	2.506
H	7.249	5.854	10.181	Cu	6.959	2.420	5.638	Cu	8.244	8.287	2.569
H	7.764	7.275	9.490	Cu	3.252	4.872	5.677	Cu	6.399	4.252	2.569
N	7.888	6.255	9.488	Cu	1.441	0.859	5.579	Cu	11.890	8.304	1.936
O	9.719	8.149	8.930	Cu	3.180	7.401	4.992	Cu	10.006	4.252	1.903
O	11.428	6.639	8.924	Cu	1.358	3.317	4.926	Cu	6.325	6.753	1.947
O	-0.171	0.971	9.240	Cu	4.993	0.844	4.976	Cu	4.508	2.699	1.963
				Cu	6.829	4.892	4.981	Cu	9.903	6.734	1.377
				Cu	12.315	8.965	4.340	Cu	8.047	2.699	1.410
Pd	7.270	5.554	7.411	Cu	10.427	4.880	4.290	Cu	4.396	5.205	1.407
Cu	5.486	1.279	7.344	Cu	6.719	7.368	4.368	Cu	2.558	1.130	1.396
Cu	1.615	3.960	7.310	Cu	4.887	3.341	4.396	Cu	9.820	9.221	0.953
Cu	-0.090	-0.038	7.316	Cu	10.340	7.370	3.726	Cu	7.936	5.180	0.887
Cu	12.711	9.598	6.715	Cu	8.481	3.330	3.778	Cu	4.294	7.696	0.907
Cu	10.815	5.517	6.566	Cu	4.774	5.832	3.805	Cu	2.468	3.622	0.925

Table S20: Coordinates for the most stable L- μ_3 -serine adsorbed on Pd-25%-decorated Cu(531)^S.

Atom	x	y	z	Atom	x	y	z	Atom	x	y	z
C	5.376	5.018	9.833	Cu	7.465	8.080	6.699	Cu	3.211	1.831	3.771
C	4.116	5.524	9.092	Cu	5.527	4.047	6.703	Cu	8.655	5.913	3.184
C	5.636	3.514	9.696	Cu	11.004	8.049	6.207	Cu	6.789	1.851	3.161
H	4.722	3.002	10.049	Cu	9.194	4.030	6.175	Cu	3.091	4.328	3.166
H	6.464	3.252	10.389	Cu	5.500	6.518	6.094	Cu	1.269	0.288	3.193
H	5.154	5.189	10.907	Cu	3.615	2.432	6.142	Cu	2.975	6.791	2.518
H	7.285	5.744	10.147	Cu	9.090	6.512	5.590	Cu	1.139	2.756	2.563
H	6.248	6.823	9.427	Cu	7.241	2.483	5.518	Cu	8.515	8.373	2.527
N	6.550	5.841	9.440	Cu	3.553	4.993	5.511	Cu	6.667	4.301	2.502
O	4.083	6.780	8.869	Cu	1.684	0.892	5.624	Cu	12.132	8.380	1.915
O	3.207	4.675	8.842	Cu	3.424	7.455	4.923	Cu	10.311	4.319	1.929
O	5.992	3.115	8.396	Cu	1.580	3.400	5.001	Cu	6.605	6.811	1.907
				Cu	8.991	9.004	4.955	Cu	4.733	2.764	1.919
				Cu	7.136	4.941	4.924	Cu	10.194	6.821	1.390
				Cu	12.535	8.999	4.329	Cu	8.351	2.759	1.367
Pd	7.524	5.593	7.421	Cu	10.710	4.957	4.353	Cu	4.633	5.245	1.363
Cu	5.711	1.527	7.283	Cu	7.024	7.452	4.329	Cu	2.786	1.203	1.388
Cu	2.074	4.117	7.305	Cu	5.166	3.406	4.344	Cu	10.076	9.318	0.887
Cu	0.103	-0.171	7.293	Cu	10.601	7.452	3.764	Cu	8.254	5.238	0.898
Cu	12.898	9.656	6.654	Cu	8.765	3.397	3.738	Cu	4.547	7.725	0.899
Cu	11.142	5.550	6.748	Cu	5.073	5.891	3.726	Cu	2.680	3.683	0.876

Table S21: Coordinates for the most stable D- μ_4 -serine adsorbed on Pd-25%-decorated Cu(531)^S.

Atom	x	y	z	Atom	x	y	z	Atom	x	y	z
C	9.424	6.105	9.826	Cu	7.091	7.990	6.686	Cu	2.898	1.737	3.792
C	10.179	7.279	9.162	Cu	5.287	3.881	6.757	Cu	8.331	5.785	3.166
C	10.068	4.734	9.599	Cu	10.708	7.991	6.039	Cu	6.478	1.753	3.199
H	-0.015	1.642	10.079	Cu	8.823	3.887	6.124	Cu	2.793	4.253	3.223
H	9.452	3.978	10.128	Cu	5.155	6.381	6.190	Cu	0.952	0.180	3.180
H	9.511	6.297	10.916	Cu	3.311	2.375	6.271	Cu	2.669	6.701	2.497
H	7.446	5.591	10.116	Cu	8.784	6.456	5.527	Cu	0.819	2.645	2.532
H	7.680	7.111	9.490	Cu	6.898	2.385	5.583	Cu	8.201	8.259	2.553
N	7.991	6.133	9.438	Cu	3.204	4.852	5.678	Cu	6.366	4.205	2.549
O	9.483	8.318	8.922	Cu	1.381	0.802	5.583	Cu	11.819	8.274	1.913
O	11.430	7.132	8.971	Cu	3.131	7.325	4.932	Cu	9.978	4.218	1.917
O	10.178	4.377	8.241	Cu	1.275	3.276	4.986	Cu	6.293	6.708	1.928
Cu				Cu	8.631	8.939	4.959	Cu	4.444	2.664	1.965
Cu				Cu	6.799	4.858	4.952	Cu	9.858	6.706	1.366
Cu				Cu	12.244	8.919	4.308	Cu	8.007	2.663	1.390
Pd	7.276	5.509	7.399	Cu	10.402	4.853	4.354	Cu	4.353	5.157	1.396
Cu	5.440	1.339	7.320	Cu	6.688	7.335	4.345	Cu	2.508	1.099	1.403
Cu	1.571	4.006	7.364	Cu	4.831	3.312	4.380	Cu	9.754	9.201	0.913
Cu	-0.147	-0.272	7.274	Cu	10.289	7.338	3.721	Cu	7.910	5.132	0.872
Cu	12.614	9.544	6.660	Cu	8.457	3.292	3.760	Cu	4.259	7.656	0.891
Cu	10.798	5.499	6.711	Cu	4.743	5.781	3.774	Cu	2.402	3.593	0.933

Table S22: Coordinates for the most stable L- μ_4 -serine adsorbed on Pd-25%-decorated Cu(531)^S.

Atom	x	y	z	Atom	x	y	z	Atom	x	y	z
C	8.067	3.984	9.929	Cu	7.300	8.271	6.749	Cu	3.106	2.010	3.760
C	7.632	2.701	9.175	Cu	5.404	4.221	6.690	Cu	8.523	6.083	3.185
C	9.476	4.559	9.686	Cu	10.869	8.241	6.179	Cu	6.680	2.026	3.213
H	9.709	5.271	10.493	Cu	9.065	4.192	6.164	Cu	2.998	4.537	3.213
H	-1.093	-0.813	9.414	Cu	5.340	6.720	6.173	Cu	1.138	0.462	3.207
H	9.459	5.114	8.731	Cu	3.526	2.625	6.177	Cu	2.846	6.986	2.562
H	7.978	3.719	11.002	Cu	8.936	6.711	5.593	Cu	1.000	2.908	2.515
H	7.206	5.857	10.214	Cu	7.116	2.685	5.591	Cu	8.399	8.546	2.568
H	6.161	4.695	9.631	Cu	3.407	5.176	5.610	Cu	6.548	4.485	2.537
N	7.117	5.065	9.571	Cu	1.585	1.102	5.587	Cu	12.019	8.556	1.985
O	6.389	2.587	8.953	Cu	-0.399	-0.483	5.007	Cu	10.153	4.487	1.924
O	12.203	9.934	8.880	Cu	1.455	3.550	4.896	Cu	6.483	6.998	1.945
S	-0.200	0.252	9.596	Cu	5.163	1.081	4.995	Cu	4.647	2.940	1.933
				Cu	7.002	5.141	4.929	Cu	10.052	6.987	1.396
				Cu	12.425	9.210	4.420	Cu	8.206	2.931	1.391
Pd	7.367	5.721	7.406	Cu	10.568	5.120	4.336	Cu	4.535	5.445	1.401
Cu	5.581	1.708	7.321	Cu	6.890	7.632	4.372	Cu	2.689	1.370	1.397
Cu	1.849	4.132	7.187	Cu	5.040	3.580	4.356	Cu	6.280	1.352	0.930
Cu	0.115	0.190	7.326	Cu	10.470	7.626	3.775	Cu	8.099	5.414	0.892
Cu	12.807	9.795	6.817	Cu	8.632	3.570	3.768	Cu	0.729	-0.199	0.927
Cu	10.982	5.769	6.674	Cu	4.938	6.081	3.779	Cu	2.594	3.887	0.936

Table S23: Coordinates for the most stable D- μ_3 -cysteine adsorbed on Pd-25%-decorated Cu(531)^S.

Atom	x	y	z	Atom	x	y	z	Atom	x	y	z
C	5.134	4.961	9.816	Cu	7.457	8.296	6.714	Cu	3.252	2.039	3.755
C	4.540	3.622	9.278	Cu	5.589	4.247	6.579	Cu	8.695	6.141	3.209
C	4.285	6.080	9.219	Cu	11.074	8.285	6.294	Cu	6.841	2.070	3.207
H	3.285	6.067	9.672	Cu	9.185	4.231	6.242	Cu	3.114	4.553	3.213
H	6.066	7.575	8.687	Cu	5.489	6.778	6.103	Cu	1.275	0.497	3.227
H	4.158	5.881	8.139	Cu	3.705	2.648	6.091	Cu	2.990	7.021	2.585
H	5.018	4.952	10.916	Cu	9.075	6.733	5.662	Cu	1.155	2.965	2.608
H	7.066	5.605	10.184	Cu	7.271	2.683	5.632	Cu	8.553	8.594	2.554
H	6.943	4.090	9.507	Cu	3.551	5.200	5.585	Cu	6.696	4.527	2.504
N	6.577	5.051	9.475	Cu	1.736	1.166	5.601	Cu	12.167	8.602	1.972
O	5.377	2.669	9.117	Cu	-0.255	-0.433	5.000	Cu	10.327	4.543	1.974
O	3.297	3.581	9.036	Cu	1.609	3.626	5.028	Cu	6.623	7.028	1.946
S	4.880	7.797	9.368	Cu	5.363	1.100	5.003	Cu	4.770	2.972	1.909
				Cu	7.180	5.182	4.920	Cu	10.235	7.045	1.430
				Cu	12.555	9.228	4.391	Cu	8.387	2.990	1.400
Pd	7.428	5.756	7.467	Cu	10.711	5.171	4.407	Cu	4.643	5.465	1.401
Cu	5.684	1.749	7.352	Cu	7.053	7.681	4.353	Cu	2.795	1.400	1.408
Cu	2.159	4.102	7.389	Cu	5.200	3.604	4.295	Cu	6.437	1.424	0.928
Cu	0.183	0.275	7.324	Cu	10.628	7.663	3.830	Cu	8.291	5.483	0.921
Cu	12.998	9.836	6.750	Cu	8.776	3.615	3.793	Cu	0.858	-0.176	0.941
Cu	11.130	5.829	6.757	Cu	5.085	6.103	3.764	Cu	2.694	3.886	0.934

Table S24: Coordinates for the most stable L- μ_3 -cysteine adsorbed on Pd-25%-decorated Cu(531)^S.

Atom	x	y	z	Atom	x	y	z	Atom	x	y	z
C	5.392	5.308	9.913	Cu	7.459	7.993	6.701	Cu	3.189	1.763	3.747
C	4.101	5.591	9.106	Cu	5.450	3.956	6.671	Cu	8.637	5.850	3.187
C	5.813	3.843	9.967	Cu	11.011	7.983	6.195	Cu	6.754	1.777	3.116
H	4.921	3.225	10.126	Cu	9.151	3.985	6.138	Cu	3.063	4.262	3.138
H	6.512	3.688	10.806	Cu	5.466	6.465	6.079	Cu	1.250	0.226	3.170
H	5.128	5.600	10.951	Cu	3.596	2.344	6.130	Cu	2.950	6.718	2.482
H	7.221	6.275	10.128	Cu	9.066	6.456	5.610	Cu	1.116	2.696	2.554
H	6.088	7.125	9.259	Cu	7.226	2.405	5.438	Cu	8.488	8.307	2.512
N	6.481	6.192	9.424	Cu	3.531	4.937	5.472	Cu	6.647	4.235	2.497
O	3.892	6.826	8.865	Cu	1.669	0.829	5.596	Cu	12.099	8.315	1.886
O	3.344	4.612	8.828	Cu	3.395	7.399	4.887	Cu	10.292	4.253	1.914
S	6.693	3.240	8.464	Cu	1.576	3.344	4.992	Cu	6.587	6.752	1.904
				Cu	8.970	8.940	4.939	Cu	4.711	2.697	1.879
				Cu	7.104	4.883	4.921	Cu	10.169	6.754	1.382
				Cu	12.512	8.938	4.291	Cu	8.316	2.694	1.341
Pd	7.437	5.478	7.468	Cu	10.691	4.900	4.346	Cu	4.624	5.177	1.348
Cu	5.726	1.519	7.250	Cu	7.007	7.389	4.329	Cu	2.767	1.140	1.364
Cu	2.121	4.076	7.306	Cu	5.128	3.336	4.304	Cu	10.038	9.236	0.849
Cu	0.073	-0.180	7.240	Cu	10.574	7.389	3.761	Cu	8.232	5.179	0.897
Cu	12.879	9.601	6.621	Cu	8.744	3.339	3.703	Cu	4.532	7.661	0.881
Cu	11.141	5.500	6.729	Cu	5.052	5.834	3.709	Cu	2.655	3.619	0.856

Table S25: Coordinates for the most stable D- μ_4 -cysteine adsorbed on Pd-25%-decorated Cu(531)^S.

Atom	x	y	z	Atom	x	y	z	Atom	x	y	z
C	8.335	4.384	9.894	Cu	7.276	8.274	6.778	Cu	3.066	1.964	3.890
C	9.766	4.458	9.309	Cu	5.405	4.182	7.000	Cu	8.512	6.027	3.255
C	7.640	3.149	9.254	Cu	10.858	8.237	6.261	Cu	6.653	1.999	3.291
H	7.916	2.255	9.827	Cu	9.053	4.145	6.185	Cu	2.949	4.468	3.311
H	8.041	3.025	8.229	Cu	5.343	6.644	6.195	Cu	1.129	0.419	3.291
H	8.397	4.236	10.988	Cu	3.465	2.610	6.272	Cu	2.843	6.929	2.619
H	6.714	5.667	10.022	Cu	8.976	6.700	5.608	Cu	0.986	2.875	2.629
H	8.195	6.443	9.880	Cu	7.094	2.635	5.668	Cu	8.374	8.496	2.642
N	7.635	5.642	9.574	Cu	3.437	5.116	5.688	Cu	6.527	4.424	2.591
O	10.172	5.583	8.876	Cu	1.507	1.056	5.737	Cu	11.996	8.513	2.014
O	10.390	3.347	9.213	Cu	-0.390	-0.533	5.038	Cu	10.161	4.452	2.033
S	5.812	3.178	9.060	Cu	1.390	3.496	5.056	Cu	6.468	6.934	2.005
				Cu	5.142	1.052	5.056	Cu	4.600	2.897	2.069
				Cu	6.970	5.071	4.993	Cu	10.035	6.951	1.470
				Cu	12.403	9.146	4.428	Cu	8.208	2.889	1.467
Pd	7.431	5.808	7.380	Cu	10.576	5.104	4.480	Cu	4.500	5.381	1.469
Cu	5.538	1.663	7.407	Cu	6.873	7.576	4.430	Cu	2.668	1.327	1.503
Cu	1.858	4.204	7.307	Cu	5.031	3.557	4.510	Cu	6.235	1.341	1.010
Cu	0.054	-0.091	7.412	Cu	10.467	7.599	3.828	Cu	8.106	5.356	0.966
Cu	12.810	9.757	6.765	Cu	8.626	3.519	3.834	Cu	0.720	-0.241	0.994
Cu	10.948	5.749	6.968	Cu	4.923	6.014	3.820	Cu	2.568	3.811	1.017

Table S26: Coordinates for the most stable L- μ_4 -cysteine adsorbed on Pd-25%-decorated Cu(531)^S.

Atom	x	y	z	Atom	x	y	z	Atom	x	y	z
C	7.955	4.053	9.985	Cu	7.342	8.243	6.720	Cu	3.106	1.963	3.747
C	7.697	2.798	9.126	Cu	5.437	4.195	6.646	Cu	8.531	6.030	3.139
C	9.399	4.523	9.950	Cu	10.856	8.181	6.147	Cu	6.672	1.968	3.156
H	9.533	5.424	10.569	Cu	9.035	4.138	6.096	Cu	2.978	4.480	3.173
H	10.069	3.734	10.314	Cu	5.337	6.693	6.162	Cu	1.141	0.419	3.204
H	9.678	4.771	8.909	Cu	3.585	2.576	6.145	Cu	2.831	6.919	2.501
H	7.670	3.791	11.023	Cu	8.936	6.670	5.522	Cu	1.005	2.870	2.499
H	7.138	5.956	10.084	Cu	7.113	2.632	5.521	Cu	8.397	8.497	2.539
H	6.089	4.801	9.518	Cu	3.404	5.126	5.573	Cu	6.549	4.430	2.486
N	7.060	5.130	9.483	Cu	1.600	1.080	5.608	Cu	12.004	8.505	1.927
O	6.466	2.523	8.917	Cu	-0.428	-0.566	4.913	Cu	10.163	4.442	1.892
O	8.704	2.154	8.704	Cu	1.449	3.500	4.887	Cu	6.488	6.940	1.923
				Cu	5.176	1.040	4.962	Cu	4.629	2.890	1.897
				Cu	6.999	5.103	4.878	Cu	10.057	6.941	1.357
				Cu	12.410	9.142	4.385	Cu	8.200	2.879	1.340
Pd	7.420	5.708	7.356	Cu	10.573	5.071	4.312	Cu	4.528	5.384	1.369
Pd	1.853	4.028	7.315	Cu	6.882	7.590	4.350	Cu	2.686	1.329	1.378
Cu	5.648	1.690	7.304	Cu	5.041	3.537	4.309	Cu	6.258	1.305	0.874
Cu	0.009	0.135	7.178	Cu	10.475	7.578	3.736	Cu	8.103	5.363	0.850
Cu	12.786	9.745	6.793	Cu	8.627	3.514	3.708	Cu	0.745	-0.249	0.920
Cu	10.911	5.699	6.688	Cu	4.931	6.026	3.748	Cu	2.575	3.832	0.882

Table S27: Coordinates for the most stable D-alanine adsorbed on Pd-50%-decorated Cu(531)^S.

Atom	x	y	z	Atom	x	y	z	Atom	x	y	z
C	7.361	4.105	10.066	Cu	7.087	8.279	6.752	Cu	2.871	2.019	3.778
C	7.311	2.839	9.184	Cu	5.193	4.231	6.724	Cu	8.294	6.080	3.190
C	5.990	4.668	10.398	Cu	10.645	8.239	6.178	Cu	6.441	2.023	3.207
H	6.088	5.584	11.003	Cu	8.825	4.200	6.127	Cu	2.753	4.538	3.217
H	5.392	3.933	10.951	Cu	5.126	6.721	6.195	Cu	0.911	0.471	3.233
H	5.460	4.920	9.463	Cu	3.338	2.624	6.183	Cu	2.596	6.976	2.542
H	7.898	3.831	10.995	Cu	8.732	6.735	5.564	Cu	0.770	2.922	2.532
H	8.328	5.938	9.905	Cu	6.871	2.689	5.578	Cu	8.163	8.548	2.571
H	9.050	4.724	9.029	Cu	3.174	5.194	5.624	Cu	6.314	4.489	2.538
N	8.145	5.122	9.315	Cu	1.372	1.127	5.622	Cu	11.771	8.557	1.974
O	8.428	2.451	8.714	Cu	-0.656	-0.504	4.953	Cu	9.922	4.491	1.927
O	6.173	2.305	8.993	Cu	1.226	3.560	4.925	Cu	6.258	6.996	1.955
				Cu	4.933	1.087	4.986	Cu	4.401	2.945	1.946
				Cu	6.750	5.152	4.933	Cu	9.818	6.993	1.394
				Cu	12.184	9.207	4.436	Cu	7.958	2.934	1.387
Pd	7.206	5.752	7.389	Cu	10.345	5.130	4.341	Cu	4.299	5.438	1.407
Pd	1.630	4.109	7.356	Cu	6.655	7.637	4.381	Cu	2.459	1.383	1.408
Cu	5.377	1.683	7.320	Cu	4.803	3.593	4.363	Cu	6.026	1.358	0.919
Cu	-0.181	0.184	7.215	Cu	10.247	7.634	3.772	Cu	7.865	5.416	0.893
Cu	12.547	9.834	6.863	Cu	8.389	3.570	3.760	Cu	0.511	-0.196	0.956
Cu	10.714	5.747	6.718	Cu	4.695	6.085	3.782	Cu	2.345	3.889	0.930

Table S28: Coordinates for the most stable L-alanine adsorbed on Pd-50%-decorated Cu(531)^S.

Atom	x	y	z	Atom	x	y	z	Atom	x	y	z
C	8.127	3.895	9.921	Cu	7.285	8.273	6.773	Cu	3.094	2.036	3.768
C	7.686	2.610	9.188	Cu	5.392	4.226	6.710	Cu	8.510	6.110	3.199
C	9.565	4.392	9.630	Cu	10.861	8.263	6.163	Cu	6.670	2.045	3.219
H	9.944	4.954	10.499	Cu	9.052	4.204	6.161	Cu	2.987	4.558	3.200
H	9.934	2.510	9.242	Cu	5.326	6.739	6.206	Cu	1.132	0.499	3.222
H	9.509	5.080	8.763	Cu	3.545	2.617	6.176	Cu	2.835	7.014	2.564
H	8.053	3.637	10.996	Cu	8.910	6.735	5.602	Cu	0.993	2.942	2.518
H	7.260	5.759	10.240	Cu	7.105	2.699	5.597	Cu	8.387	8.573	2.574
H	6.228	4.603	9.641	Cu	3.412	5.190	5.587	Cu	6.541	4.513	2.550
N	7.180	4.982	9.578	Cu	1.572	1.133	5.619	Cu	12.005	8.579	1.975
O	6.446	2.473	8.978	Cu	-0.400	-0.459	5.002	Cu	10.140	4.521	1.930
O	12.288	9.869	8.897	Cu	1.453	3.575	4.900	Cu	6.476	7.030	1.957
O	-0.566	0.222	9.333	Cu	5.148	1.096	5.000	Cu	4.633	2.974	1.941
				Cu	6.980	5.166	4.948	Cu	10.037	7.019	1.398
				Cu	12.419	9.222	4.407	Cu	8.191	2.960	1.401
Pd	7.370	5.711	7.431	Cu	10.559	5.152	4.336	Cu	4.529	5.474	1.403
Pd	1.862	4.121	7.333	Cu	6.870	7.659	4.388	Cu	2.685	1.408	1.398
Cu	5.582	1.701	7.329	Cu	5.035	3.600	4.361	Cu	6.261	1.385	0.933
Cu	0.090	0.225	7.325	Cu	10.459	7.648	3.777	Cu	8.085	5.446	0.905
Cu	12.818	9.819	6.784	Cu	8.619	3.592	3.774	Cu	0.727	-0.161	0.944
Cu	10.935	5.789	6.676	Cu	4.930	6.109	3.784	Cu	2.579	3.909	0.918

Table S29: Coordinates for the most stable D- μ_3 -serine adsorbed on Pd-50%-decorated Cu(531)^S.

Atom	x	y	z	Atom	x	y	z	Atom	x	y	z
C	9.223	5.947	9.885	Cu	7.114	8.018	6.707	Cu	2.989	1.766	3.760
C	10.145	7.013	9.243	Cu	5.306	3.900	6.771	Cu	8.364	5.825	3.177
C	9.528	4.450	9.599	Cu	10.811	8.026	6.059	Cu	6.545	1.785	3.227
H	0.281	1.910	9.174	Cu	8.918	3.965	6.145	Cu	2.880	4.296	3.163
H	9.292	3.850	10.493	Cu	5.151	6.453	6.220	Cu	1.014	0.235	3.182
H	8.858	4.129	8.776	Cu	3.436	2.356	6.230	Cu	2.722	6.764	2.539
H	9.351	6.119	10.972	Cu	8.814	6.495	5.543	Cu	0.882	2.674	2.479
H	7.165	5.824	10.162	Cu	6.972	2.414	5.654	Cu	8.254	8.288	2.562
H	7.700	7.244	9.484	Cu	3.291	4.882	5.587	Cu	6.407	4.255	2.552
N	7.823	6.223	9.486	Cu	1.460	0.878	5.569	Cu	11.895	8.301	1.922
O	9.630	8.131	8.959	Cu	-0.501	-0.699	4.981	Cu	10.007	4.254	1.899
O	11.382	6.685	9.145	Cu	1.377	3.320	4.874	Cu	6.338	6.758	1.930
O	-0.195	1.019	9.210	Cu	8.715	8.948	4.976	Cu	4.515	2.705	1.935
				Cu	6.830	4.891	4.970	Cu	9.904	6.736	1.372
				Cu	12.324	8.965	4.338	Cu	8.053	2.699	1.402
Pd	7.262	5.539	7.400	Cu	10.440	4.889	4.283	Cu	4.405	5.209	1.377
Pd	1.719	3.938	7.365	Cu	6.729	7.371	4.362	Cu	2.571	1.137	1.376
Cu	5.502	1.242	7.364	Cu	4.909	3.334	4.368	Cu	9.825	9.217	0.942
Cu	-0.059	0.014	7.317	Cu	10.352	7.377	3.726	Cu	7.942	5.178	0.876
Cu	12.757	9.606	6.716	Cu	8.483	3.330	3.777	Cu	4.297	7.702	0.903
Cu	10.836	5.545	6.565	Cu	4.792	5.841	3.775	Cu	2.467	3.624	0.882

Table S30: Coordinates for the most stable L- μ_3 -serine adsorbed on Pd-50%-decorated Cu(531)^S.

Atom	x	y	z	Atom	x	y	z	Atom	x	y	z
C	5.438	5.039	9.864	Cu	7.468	8.082	6.692	Cu	3.206	1.825	3.752
C	4.164	5.580	9.171	Cu	5.509	4.072	6.709	Cu	8.644	5.902	3.169
C	5.651	3.528	9.698	Cu	10.954	8.051	6.169	Cu	6.784	1.842	3.154
H	4.723	3.043	10.051	Cu	9.183	4.006	6.167	Cu	3.088	4.320	3.161
H	6.478	3.226	10.373	Cu	5.494	6.530	6.102	Cu	1.260	0.283	3.194
H	5.250	5.193	10.947	Cu	3.616	2.429	6.121	Cu	2.971	6.785	2.523
H	7.358	5.757	10.149	Cu	9.073	6.502	5.561	Cu	1.132	2.743	2.519
H	6.308	6.829	9.434	Cu	7.235	2.479	5.511	Cu	8.508	8.360	2.509
N	6.614	5.848	9.452	Cu	3.537	4.994	5.520	Cu	6.665	4.295	2.502
O	4.188	6.829	8.881	Cu	1.674	0.903	5.629	Cu	12.134	8.367	1.903
O	3.203	4.777	9.034	Cu	3.413	7.454	4.933	Cu	10.296	4.314	1.919
O	5.975	3.136	8.386	Cu	1.548	3.379	4.934	Cu	6.592	6.803	1.915
				Cu	8.974	9.007	4.937	Cu	4.736	2.754	1.911
				Cu	7.126	4.939	4.923	Cu	10.188	6.808	1.365
				Cu	12.528	8.991	4.327	Cu	8.347	2.750	1.366
Pd	7.536	5.596	7.415	Cu	10.698	4.950	4.332	Cu	4.635	5.241	1.367
Pd	1.994	4.037	7.354	Cu	7.012	7.453	4.327	Cu	2.785	1.195	1.371
Cu	5.710	1.543	7.276	Cu	5.162	3.405	4.342	Cu	10.080	9.304	0.878
Cu	0.089	-0.172	7.311	Cu	10.587	7.448	3.736	Cu	8.235	5.234	0.883
Cu	12.882	9.639	6.671	Cu	8.757	3.387	3.735	Cu	4.539	7.727	0.900
Cu	11.094	5.532	6.728	Cu	5.059	5.883	3.739	Cu	2.688	3.678	0.860

Table S31: Coordinates for the most stable D- μ_4 -serine adsorbed on Pd-50%-decorated Cu(531)^S.

Atom	x	y	z	Atom	x	y	z	Atom	x	y	z
C	9.392	6.096	9.850	Cu	7.094	7.985	6.690	Cu	2.911	1.729	3.775
C	10.140	7.298	9.228	Cu	5.267	3.889	6.749	Cu	8.326	5.779	3.169
C	10.061	4.740	9.602	Cu	10.727	7.981	6.064	Cu	6.482	1.744	3.197
H	11.059	4.785	10.073	Cu	8.835	3.894	6.126	Cu	2.797	4.246	3.185
H	9.462	3.965	10.122	Cu	5.158	6.395	6.186	Cu	0.953	0.190	3.180
H	9.468	6.260	10.946	Cu	3.350	2.358	6.226	Cu	2.664	6.696	2.498
H	7.410	5.584	10.128	Cu	8.780	6.453	5.528	Cu	0.816	2.640	2.510
H	7.657	7.097	9.496	Cu	6.903	2.386	5.595	Cu	8.202	8.254	2.548
N	7.962	6.117	9.450	Cu	3.240	4.866	5.587	Cu	6.366	4.202	2.541
O	9.409	8.303	8.918	Cu	1.392	0.817	5.583	Cu	11.816	8.263	1.909
O	11.399	7.214	9.153	Cu	3.134	7.340	4.926	Cu	9.967	4.214	1.920
O	10.172	4.400	8.236	Cu	1.287	3.272	4.940	Cu	6.296	6.709	1.921
Cu				Cu	8.651	8.925	4.958	Cu	4.445	2.660	1.947
Cu				Cu	6.794	4.859	4.952	Cu	9.849	6.701	1.366
Cu				Cu	12.247	8.914	4.310	Cu	8.004	2.657	1.389
Pd	7.270	5.501	7.402	Cu	10.405	4.856	4.354	Cu	4.353	5.151	1.377
Pd	1.692	3.988	7.412	Cu	6.690	7.339	4.344	Cu	2.506	1.099	1.389
Cu	5.455	1.333	7.330	Cu	4.847	3.303	4.358	Cu	9.754	9.193	0.908
Cu	-0.123	-0.240	7.272	Cu	10.291	7.337	3.727	Cu	7.906	5.129	0.867
Cu	12.641	9.553	6.660	Cu	8.451	3.287	3.764	Cu	4.252	7.653	0.899
Cu	10.801	5.530	6.717	Cu	4.752	5.790	3.749	Cu	2.396	3.585	0.901

Table S32: Coordinates for the most stable L- μ_4 -serine adsorbed on Pd-50%-decorated Cu(531)^S.

Atom	x	y	z	Atom	x	y	z	Atom	x	y	z
C	8.066	3.981	9.932	Cu	7.300	8.270	6.750	Cu	3.107	2.012	3.753
C	7.630	2.697	9.178	Cu	5.396	4.225	6.693	Cu	8.524	6.084	3.186
C	9.477	4.553	9.688	Cu	10.863	8.247	6.174	Cu	6.680	2.022	3.209
H	9.711	5.267	10.493	Cu	9.065	4.186	6.159	Cu	2.993	4.535	3.198
H	-1.092	-0.819	9.417	Cu	5.340	6.723	6.176	Cu	1.140	0.467	3.208
H	9.460	5.107	8.731	Cu	3.548	2.612	6.158	Cu	2.847	6.986	2.563
H	7.976	3.719	11.006	Cu	8.927	6.714	5.586	Cu	1.007	2.917	2.520
H	7.206	5.856	10.211	Cu	7.114	2.684	5.589	Cu	8.398	8.546	2.563
H	6.161	4.693	9.630	Cu	3.410	5.184	5.590	Cu	6.551	4.486	2.535
N	7.117	5.062	9.570	Cu	1.585	1.115	5.595	Cu	12.018	8.553	1.974
O	6.386	2.586	8.954	Cu	-0.395	-0.477	5.004	Cu	10.157	4.491	1.921
O	12.201	9.931	8.887	Cu	1.460	3.559	4.903	Cu	6.483	6.997	1.943
S	-0.200	0.244	9.598	Cu	5.163	1.079	4.988	Cu	4.642	2.943	1.928
				Cu	6.996	5.142	4.930	Cu	10.056	6.990	1.393
				Cu	12.424	9.207	4.416	Cu	8.208	2.931	1.389
Pd	7.373	5.720	7.406	Cu	10.571	5.125	4.332	Cu	4.532	5.442	1.396
Pd	1.867	4.106	7.337	Cu	6.884	7.636	4.371	Cu	2.688	1.375	1.386
Cu	5.585	1.710	7.322	Cu	5.043	3.581	4.349	Cu	6.277	1.356	0.925
Cu	0.121	0.194	7.329	Cu	10.471	7.628	3.775	Cu	8.102	5.416	0.891
Cu	12.812	9.812	6.808	Cu	8.633	3.568	3.767	Cu	0.730	-0.199	0.929
Cu	10.950	5.763	6.672	Cu	4.935	6.081	3.774	Cu	2.583	3.878	0.917

Table S33: Coordinates for the most stable D- μ_3 -cysteine adsorbed on Pd-50%-decorated Cu(531)^S.

Atom	x	y	z	Atom	x	y	z	Atom	x	y	z
C	5.176	4.947	9.842	Cu	7.448	8.310	6.715	Cu	3.247	2.050	3.756
C	4.608	3.572	9.368	Cu	5.572	4.253	6.588	Cu	8.688	6.142	3.201
C	4.288	6.021	9.216	Cu	11.030	8.308	6.258	Cu	6.837	2.070	3.201
H	3.284	5.972	9.658	Cu	9.184	4.237	6.232	Cu	3.119	4.555	3.192
H	6.031	7.564	8.715	Cu	5.484	6.790	6.102	Cu	1.276	0.508	3.226
H	4.178	5.810	8.136	Cu	3.687	2.666	6.108	Cu	2.992	7.025	2.582
H	5.074	4.983	10.943	Cu	9.060	6.743	5.644	Cu	1.154	2.969	2.577
H	7.108	5.611	10.179	Cu	7.264	2.697	5.622	Cu	8.549	8.598	2.549
H	6.981	4.099	9.489	Cu	3.552	5.216	5.559	Cu	6.700	4.529	2.503
N	6.611	5.061	9.474	Cu	1.721	1.181	5.607	Cu	12.167	8.599	1.963
O	5.490	2.668	9.117	Cu	-0.261	-0.420	4.994	Cu	10.322	4.549	1.965
O	3.361	3.459	9.257	Cu	1.587	3.630	4.970	Cu	6.621	7.033	1.941
S	4.826	7.759	9.362	Cu	5.338	1.122	4.998	Cu	4.772	2.978	1.901
				Cu	7.166	5.186	4.916	Cu	10.233	7.045	1.414
				Cu	12.553	9.231	4.389	Cu	8.387	2.987	1.395
Pd	7.428	5.764	7.457	Cu	10.707	5.182	4.393	Cu	4.649	5.471	1.392
Pd	2.073	4.154	7.428	Cu	7.045	7.692	4.352	Cu	2.803	1.412	1.400
Cu	5.688	1.764	7.358	Cu	5.196	3.609	4.296	Cu	6.437	1.421	0.921
Cu	0.170	0.271	7.330	Cu	10.610	7.677	3.811	Cu	8.284	5.483	0.910
Cu	12.986	9.849	6.751	Cu	8.773	3.617	3.788	Cu	0.860	-0.162	0.940
Cu	11.094	5.831	6.749	Cu	5.081	6.110	3.757	Cu	2.696	3.892	0.906

Table S34: Coordinates for the most stable L- μ_3 -cysteine adsorbed on Pd-50%-decorated Cu(531)^S.

Atom	x	y	z	Atom	x	y	z	Atom	x	y	z
C	5.443	5.336	9.946	Cu	7.464	8.002	6.695	Cu	3.185	1.757	3.729
C	4.131	5.621	9.175	Cu	5.430	3.976	6.682	Cu	8.627	5.839	3.173
C	5.848	3.865	9.976	Cu	10.953	7.989	6.150	Cu	6.757	1.768	3.114
H	4.948	3.256	10.134	Cu	9.142	3.966	6.140	Cu	3.065	4.252	3.130
H	6.556	3.684	10.801	Cu	5.455	6.475	6.088	Cu	1.247	0.219	3.172
H	5.206	5.617	10.994	Cu	3.597	2.345	6.109	Cu	2.954	6.714	2.488
H	7.261	6.329	10.130	Cu	9.044	6.445	5.582	Cu	1.115	2.679	2.504
H	6.103	7.143	9.255	Cu	7.227	2.400	5.435	Cu	8.486	8.293	2.498
N	6.518	6.221	9.434	Cu	3.515	4.931	5.478	Cu	6.650	4.230	2.501
O	3.947	6.854	8.880	Cu	1.659	0.840	5.605	Cu	12.108	8.300	1.877
O	3.343	4.656	8.989	Cu	3.387	7.399	4.899	Cu	10.280	4.247	1.902
S	6.697	3.270	8.450	Cu	1.541	3.320	4.915	Cu	6.576	6.742	1.912
				Cu	8.954	8.944	4.922	Cu	4.717	2.688	1.875
				Cu	7.096	4.880	4.927	Cu	10.169	6.739	1.357
				Cu	12.510	8.926	4.291	Cu	8.321	2.682	1.341
Pd	7.440	5.495	7.471	Cu	10.682	4.891	4.323	Cu	4.629	5.175	1.351
Pd	2.010	3.985	7.340	Cu	6.994	7.387	4.329	Cu	2.775	1.132	1.347
Cu	5.723	1.539	7.244	Cu	5.128	3.330	4.305	Cu	10.050	9.223	0.847
Cu	0.060	-0.179	7.259	Cu	10.562	7.381	3.729	Cu	8.219	5.172	0.883
Cu	12.871	9.581	6.635	Cu	8.741	3.330	3.703	Cu	4.530	7.665	0.882
Cu	11.093	5.491	6.707	Cu	5.040	5.821	3.724	Cu	2.668	3.616	0.833

Table S35: Coordinates for the most stable D- μ_4 -cysteine adsorbed on Pd-50%-decorated Cu(531)^S.

Atom	x	y	z	Atom	x	y	z	Atom	x	y	z
C	8.331	4.376	9.895	Cu	7.272	8.277	6.780	Cu	3.067	1.965	3.882
C	9.764	4.452	9.313	Cu	5.403	4.188	6.997	Cu	8.512	6.023	3.254
C	7.637	3.143	9.250	Cu	10.852	8.238	6.255	Cu	6.653	1.993	3.289
H	7.909	2.247	9.822	Cu	9.052	4.146	6.179	Cu	2.952	4.466	3.296
H	8.040	3.021	8.227	Cu	5.342	6.650	6.197	Cu	1.131	0.422	3.292
H	8.394	4.225	10.989	Cu	3.486	2.602	6.247	Cu	2.841	6.929	2.623
H	6.710	5.657	10.024	Cu	8.968	6.704	5.604	Cu	0.992	2.882	2.630
H	8.192	6.433	9.891	Cu	7.091	2.635	5.666	Cu	8.373	8.493	2.635
N	7.632	5.635	9.578	Cu	3.436	5.123	5.667	Cu	6.531	4.425	2.592
O	10.172	5.577	8.885	Cu	1.509	1.070	5.739	Cu	11.999	8.509	2.014
O	10.389	3.341	9.215	Cu	-0.386	-0.521	5.036	Cu	10.159	4.452	2.035
S	5.807	3.177	9.052	Cu	1.399	3.515	5.057	Cu	6.468	6.935	2.008
				Cu	5.143	1.051	5.049	Cu	4.599	2.896	2.062
				Cu	6.969	5.075	4.995	Cu	10.038	6.951	1.467
				Cu	12.405	9.142	4.430	Cu	8.208	2.889	1.465
Pd	7.432	5.812	7.385	Cu	10.581	5.111	4.474	Cu	4.502	5.379	1.468
Pd	1.888	4.190	7.458	Cu	6.870	7.580	4.430	Cu	2.665	1.332	1.495
Cu	5.539	1.661	7.405	Cu	5.035	3.559	4.497	Cu	6.241	1.338	1.009
Cu	0.064	-0.080	7.416	Cu	10.466	7.600	3.826	Cu	8.102	5.358	0.963
Cu	12.812	9.780	6.756	Cu	8.625	3.515	3.834	Cu	0.720	-0.240	1.002
Cu	10.911	5.731	6.949	Cu	4.922	6.015	3.819	Cu	2.562	3.810	1.000

Table S36: Coordinates for the most stable L- μ_4 -cysteine adsorbed on Pd-50%-decorated Cu(531)^S.

Atom	x	y	z	Atom	x	y	z	Atom	x	y	z
C	5.445	5.158	9.900	Cu	7.434	8.053	6.689	Cu	3.202	1.818	3.737
C	4.177	5.565	9.111	Cu	5.544	3.976	6.630	Cu	8.661	5.913	3.153
C	5.749	3.673	9.930	Cu	11.042	8.017	6.184	Cu	6.810	1.850	3.154
H	4.857	3.108	10.230	Cu	9.176	4.028	6.208	Cu	3.092	4.327	3.145
H	6.576	3.454	10.624	Cu	5.462	6.506	6.065	Cu	1.250	0.282	3.168
H	6.059	3.332	8.923	Cu	3.627	2.414	6.129	Cu	2.967	6.793	2.501
H	5.255	5.503	10.935	Cu	9.087	6.498	5.588	Cu	1.132	2.755	2.551
H	7.388	5.866	10.033	Cu	7.241	2.471	5.535	Cu	8.504	8.359	2.467
H	6.322	6.922	9.327	Cu	3.554	4.978	5.485	Cu	6.673	4.303	2.470
N	6.609	5.936	9.369	Cu	1.683	0.879	5.590	Cu	12.139	8.384	1.902
O	4.079	6.817	8.881	Cu	3.416	7.448	4.914	Cu	10.302	4.326	1.914
O	3.341	4.655	8.828	Cu	1.595	3.386	4.989	Cu	6.597	6.803	1.870
Cu				Cu	8.967	8.959	4.870	Cu	4.734	2.756	1.888
Cu				Cu	7.146	4.937	4.874	Cu	10.204	6.821	1.362
Cu				Cu	12.536	8.995	4.319	Cu	8.357	2.772	1.349
Pt	7.437	5.542	7.348	Cu	10.700	4.949	4.351	Cu	4.628	5.242	1.337
Cu	5.690	1.483	7.140	Cu	7.006	7.444	4.292	Cu	2.766	1.198	1.366
Cu	2.134	4.120	7.306	Cu	5.161	3.380	4.289	Cu	10.099	9.332	0.879
Cu	0.103	-0.164	7.280	Cu	10.604	7.438	3.749	Cu	8.259	5.253	0.858
Cu	12.906	9.646	6.651	Cu	8.765	3.393	3.735	Cu	4.532	7.724	0.879
Cu	11.170	5.537	6.736	Cu	5.067	5.883	3.696	Cu	2.672	3.680	0.865

Table S37: Coordinates for the most stable D-alanine adsorbed on Pt-25%-decorated Cu(531)^S.

Atom	x	y	z	Atom	x	y	z	Atom	x	y	z
C	7.963	4.114	10.032	Cu	7.171	8.158	6.739	Cu	2.942	1.900	3.738
C	8.876	3.214	9.183	Cu	5.286	4.102	6.710	Cu	8.373	5.976	3.147
C	6.531	3.628	10.136	Cu	10.716	8.140	6.143	Cu	6.539	1.924	3.182
H	5.917	4.335	10.716	Cu	8.908	4.103	6.091	Cu	2.850	4.430	3.193
H	6.497	2.641	10.617	Cu	5.189	6.618	6.185	Cu	0.979	0.353	3.176
H	6.100	3.536	9.122	Cu	3.363	2.524	6.156	Cu	2.699	6.886	2.530
H	8.416	4.192	11.038	Cu	8.811	6.619	5.530	Cu	0.850	2.808	2.488
H	7.503	6.141	9.983	Cu	6.980	2.568	5.551	Cu	8.238	8.430	2.502
H	8.987	5.770	9.339	Cu	3.267	5.068	5.600	Cu	6.396	4.379	2.504
N	8.005	5.470	9.390	Cu	1.429	0.981	5.585	Cu	11.878	8.460	1.958
O	10.065	3.657	9.013	Cu	-0.547	-0.589	4.985	Cu	10.011	4.389	1.880
O	8.382	2.164	8.676	Cu	1.305	3.440	4.875	Cu	6.321	6.883	1.914
Cu				Cu	4.991	0.955	4.899	Cu	4.487	2.831	1.917
Cu				Cu	6.826	5.044	4.891	Cu	9.912	6.888	1.357
Cu				Cu	12.294	9.108	4.406	Cu	8.065	2.838	1.360
Pt	7.250	5.633	7.326	Cu	10.425	5.016	4.298	Cu	4.373	5.334	1.383
Cu	5.418	1.629	7.180	Cu	6.728	7.531	4.334	Cu	2.524	1.262	1.371
Cu	1.689	4.037	7.166	Cu	4.890	3.475	4.339	Cu	6.142	1.263	0.900
Cu	-0.084	0.081	7.308	Cu	10.331	7.525	3.731	Cu	7.953	5.319	0.855
Cu	12.655	9.675	6.821	Cu	8.485	3.467	3.730	Cu	0.578	-0.309	0.885
Cu	10.833	5.668	6.644	Cu	4.778	5.981	3.761	Cu	2.436	3.778	0.908

Table S38: Coordinates for the most stable L-alanine adsorbed on Pt-25%-decorated Cu(531)^S.

Atom	x	y	z	Atom	x	y	z	Atom	x	y	z
C	8.137	3.927	9.895	Cu	7.297	8.248	6.793	Cu	3.092	2.032	3.781
C	7.685	2.631	9.187	Cu	5.395	4.213	6.714	Cu	8.511	6.109	3.194
C	9.593	4.393	9.649	Cu	10.866	8.245	6.180	Cu	6.665	2.046	3.221
H	9.970	4.916	10.544	Cu	9.049	4.189	6.186	Cu	2.983	4.557	3.214
H	9.925	2.504	9.253	Cu	5.317	6.729	6.208	Cu	1.124	0.492	3.229
H	9.572	5.106	8.803	Cu	3.526	2.615	6.203	Cu	2.831	7.014	2.567
H	8.011	3.709	10.974	Cu	8.923	6.722	5.603	Cu	0.983	2.937	2.525
H	7.312	5.824	10.136	Cu	7.103	2.677	5.595	Cu	8.386	8.577	2.580
H	6.254	4.665	9.586	Cu	3.404	5.170	5.611	Cu	6.531	4.509	2.543
N	7.213	5.026	9.501	Cu	1.576	1.109	5.624	Cu	11.999	8.585	1.987
O	6.444	2.503	8.984	Cu	-0.410	-0.472	5.014	Cu	10.136	4.519	1.938
O	12.278	9.874	8.910	Cu	1.445	3.559	4.907	Cu	6.471	7.028	1.960
O	-0.562	0.207	9.338	Cu	5.145	1.090	5.011	Cu	4.627	2.974	1.946
				Cu	6.981	5.158	4.920	Cu	10.031	7.022	1.407
				Cu	12.416	9.220	4.416	Cu	8.188	2.962	1.403
Pt	7.357	5.707	7.372	Cu	10.551	5.137	4.352	Cu	4.521	5.477	1.409
Cu	5.582	1.696	7.338	Cu	6.872	7.659	4.384	Cu	2.679	1.403	1.416
Cu	1.846	4.132	7.196	Cu	5.027	3.595	4.369	Cu	6.259	1.392	0.935
Cu	0.075	0.203	7.326	Cu	10.454	7.645	3.786	Cu	8.082	5.446	0.902
Cu	12.809	9.784	6.801	Cu	8.617	3.589	3.781	Cu	0.723	-0.162	0.946
Cu	10.971	5.781	6.688	Cu	4.921	6.106	3.791	Cu	2.576	3.917	0.939

Table S39: Coordinates for the most stable D- μ_3 -serine adsorbed on Pt-25%-decorated Cu(531)^S.

Atom	x	y	z	Atom	x	y	z	Atom	x	y	z
C	8.543	4.559	9.996	Cu	7.237	8.197	6.784	Cu	3.015	1.939	3.820
C	9.906	4.536	9.299	Cu	5.346	4.131	6.773	Cu	8.466	6.006	3.217
C	7.760	3.268	9.682	Cu	10.808	8.204	6.224	Cu	6.615	1.966	3.255
H	5.932	3.751	9.200	Cu	8.990	4.116	6.210	Cu	2.908	4.445	3.253
H	8.182	2.440	10.266	Cu	5.289	6.628	6.149	Cu	1.067	0.393	3.241
H	7.881	3.039	8.604	Cu	3.420	2.570	6.232	Cu	2.784	6.907	2.579
H	8.681	4.646	11.089	Cu	8.910	6.644	5.619	Cu	0.924	2.846	2.578
H	6.920	5.826	10.052	Cu	7.049	2.603	5.640	Cu	8.319	8.467	2.572
H	8.355	6.579	9.629	Cu	3.365	5.102	5.616	Cu	6.487	4.409	2.549
N	7.782	5.737	9.502	Cu	1.491	1.021	5.663	Cu	11.947	8.480	1.985
O	10.341	5.638	8.836	Cu	-0.451	-0.549	4.999	Cu	10.100	4.429	1.997
O	-0.628	0.269	9.164	Cu	1.355	3.468	4.994	Cu	6.410	6.911	1.955
O	6.376	3.392	10.004	Cu	5.069	0.990	4.980	Cu	4.563	2.868	1.982
				Cu	6.922	5.058	4.939	Cu	9.990	6.920	1.425
				Cu	12.351	9.118	4.392	Cu	8.157	2.872	1.439
Pt	7.283	5.675	7.372	Cu	10.517	5.074	4.458	Cu	4.455	5.359	1.423
Cu	5.476	1.675	7.270	Cu	6.822	7.563	4.381	Cu	2.602	1.299	1.448
Cu	1.830	4.191	7.252	Cu	4.971	3.506	4.393	Cu	6.214	1.306	0.972
Cu	0.015	-0.095	7.345	Cu	10.403	7.559	3.804	Cu	8.058	5.348	0.917
Cu	12.751	9.746	6.739	Cu	8.577	3.503	3.816	Cu	0.659	-0.262	0.949
Cu	10.964	5.717	6.892	Cu	4.869	5.998	3.776	Cu	2.511	3.789	0.969

Table S40: Coordinates for the most stable L- μ_3 -serine adsorbed on Pt-25%-decorated Cu(531)^S.

Atom	x	y	z	Atom	x	y	z	Atom	x	y	z
C	5.438	5.023	9.811	Cu	7.456	8.075	6.712	Cu	3.195	1.829	3.777
C	4.162	5.527	9.092	Cu	5.519	4.032	6.710	Cu	8.641	5.914	3.181
C	5.694	3.517	9.701	Cu	11.007	8.043	6.213	Cu	6.774	1.853	3.164
H	4.792	3.020	10.107	Cu	9.175	4.036	6.203	Cu	3.070	4.326	3.169
H	6.546	3.271	10.370	Cu	5.464	6.518	6.094	Cu	1.247	0.287	3.201
H	5.259	5.227	10.887	Cu	3.611	2.420	6.150	Cu	2.957	6.792	2.524
H	7.363	5.752	10.062	Cu	9.089	6.513	5.585	Cu	1.121	2.755	2.571
H	6.296	6.828	9.376	Cu	7.228	2.470	5.520	Cu	8.500	8.375	2.532
N	6.608	5.848	9.375	Cu	3.542	4.985	5.513	Cu	6.647	4.300	2.497
O	4.127	6.786	8.882	Cu	1.674	0.888	5.632	Cu	12.115	8.382	1.919
O	3.254	4.677	8.847	Cu	3.406	7.457	4.936	Cu	10.291	4.320	1.937
O	5.992	3.082	8.403	Cu	1.572	3.396	5.013	Cu	6.589	6.808	1.906
				Cu	8.978	8.998	4.959	Cu	4.711	2.763	1.921
				Cu	7.121	4.933	4.905	Cu	10.177	6.823	1.395
				Cu	12.522	8.997	4.333	Cu	8.334	2.760	1.369
Pt	7.501	5.605	7.359	Cu	10.697	4.956	4.364	Cu	4.608	5.245	1.363
Cu	5.701	1.505	7.290	Cu	7.003	7.458	4.324	Cu	2.767	1.199	1.397
Cu	2.086	4.122	7.321	Cu	5.152	3.401	4.346	Cu	10.057	9.318	0.891
Cu	0.085	-0.165	7.308	Cu	10.590	7.452	3.770	Cu	8.236	5.236	0.895
Cu	12.889	9.656	6.663	Cu	8.752	3.395	3.745	Cu	4.529	7.728	0.907
Cu	11.141	5.548	6.763	Cu	5.054	5.888	3.727	Cu	2.659	3.679	0.880

Table S41: Coordinates for the most stable D- μ_4 -serine adsorbed on Pt-25%-decorated Cu(531)^S.

Atom	x	y	z	Atom	x	y	z	Atom	x	y	z
C	9.408	6.091	9.799	Cu	7.092	8.004	6.695	Cu	2.902	1.739	3.796
C	10.164	7.276	9.154	Cu	5.313	3.886	6.774	Cu	8.333	5.788	3.169
C	10.068	4.726	9.596	Cu	10.716	7.991	6.045	Cu	6.483	1.754	3.200
H	11.049	4.772	10.107	Cu	8.815	3.890	6.162	Cu	2.800	4.252	3.226
H	9.447	3.965	10.110	Cu	5.149	6.385	6.187	Cu	0.948	0.182	3.183
H	9.454	6.286	10.890	Cu	3.325	2.384	6.275	Cu	2.670	6.702	2.502
H	7.427	5.564	10.060	Cu	8.796	6.461	5.536	Cu	0.821	2.645	2.541
H	7.665	7.093	9.456	Cu	6.904	2.375	5.579	Cu	8.206	8.261	2.554
N	7.972	6.114	9.388	Cu	3.209	4.851	5.683	Cu	6.367	4.207	2.551
O	9.461	8.313	8.923	Cu	1.387	0.804	5.582	Cu	11.822	8.273	1.922
O	11.417	7.139	8.976	Cu	3.127	7.331	4.939	Cu	9.978	4.220	1.923
O	10.227	4.371	8.246	Cu	1.282	3.277	4.989	Cu	6.293	6.708	1.925
Cu				Cu	8.635	8.939	4.964	Cu	4.447	2.667	1.968
Cu				Cu	6.800	4.859	4.945	Cu	9.860	6.707	1.371
Cu				Cu	12.249	8.919	4.312	Cu	8.011	2.667	1.397
Pt	7.245	5.535	7.362	Cu	10.398	4.852	4.363	Cu	4.353	5.158	1.398
Cu	5.447	1.351	7.325	Cu	6.690	7.347	4.336	Cu	2.509	1.099	1.412
Cu	1.578	4.006	7.370	Cu	4.836	3.311	4.388	Cu	9.758	9.204	0.916
Cu	-0.136	-0.286	7.280	Cu	10.291	7.337	3.727	Cu	7.912	5.135	0.871
Cu	12.619	9.543	6.665	Cu	8.460	3.295	3.774	Cu	4.259	7.659	0.894
Cu	10.815	5.500	6.713	Cu	4.742	5.785	3.776	Cu	2.404	3.592	0.937

Table S42: Coordinates for the most stable L- μ_4 -serine adsorbed on Pt-25%-decorated Cu(531)^S.

Atom	x	y	z	Atom	x	y	z	Atom	x	y	z
C	8.441	4.358	9.953	Cu	7.265	8.252	6.827	Cu	3.035	1.982	3.858
C	9.872	4.461	9.356	Cu	5.352	4.206	6.728	Cu	8.493	6.048	3.244
C	7.815	3.071	9.393	Cu	10.821	8.247	6.278	Cu	6.626	1.999	3.269
H	5.665	3.978	8.914	Cu	9.011	4.155	6.214	Cu	2.917	4.480	3.271
H	8.299	2.198	9.848	Cu	5.307	6.687	6.163	Cu	1.095	0.436	3.282
H	7.996	3.042	8.301	Cu	3.458	2.611	6.262	Cu	2.801	6.937	2.601
H	8.501	4.308	11.056	Cu	8.932	6.697	5.643	Cu	0.938	2.885	2.612
H	6.843	5.687	10.089	Cu	7.060	2.639	5.656	Cu	8.348	8.524	2.641
H	8.312	6.386	9.705	Cu	3.371	5.141	5.624	Cu	6.505	4.440	2.562
N	7.700	5.576	9.539	Cu	1.503	1.079	5.717	Cu	11.955	8.515	2.004
O	10.259	5.600	8.957	Cu	-0.434	-0.509	5.015	Cu	10.126	4.460	2.027
O	-0.579	0.235	9.234	Cu	1.363	3.507	5.028	Cu	6.448	6.948	1.988
S	6.016	2.823	9.589	Cu	5.112	1.070	5.087	Cu	4.576	2.906	1.997
				Cu	6.948	5.104	4.942	Cu	9.999	6.959	1.459
				Cu	12.357	9.153	4.407	Cu	8.173	2.898	1.452
Pt	7.303	5.721	7.371	Cu	10.535	5.114	4.488	Cu	4.474	5.390	1.444
Cu	5.534	1.748	7.443	Cu	6.853	7.617	4.419	Cu	2.629	1.333	1.483
Cu	1.844	4.212	7.277	Cu	4.987	3.541	4.398	Cu	6.212	1.334	0.987
Cu	0.021	-0.066	7.372	Cu	10.417	7.607	3.841	Cu	8.086	5.371	0.946
Cu	12.778	9.768	6.740	Cu	8.592	3.534	3.827	Cu	0.690	-0.231	0.991
Cu	10.940	5.760	6.957	Cu	4.890	6.036	3.793	Cu	2.523	3.818	0.995

Table S43: Coordinates for the most stable D- μ_3 -cysteine adsorbed on Pt-25%-decorated Cu(531)^S.

Atom	x	y	z	Atom	x	y	z	Atom	x	y	z
C	8.441	4.358	9.953	Cu	7.265	8.252	6.827	Cu	3.035	1.982	3.858
C	9.872	4.461	9.356	Cu	5.352	4.206	6.728	Cu	8.493	6.048	3.244
C	7.815	3.071	9.393	Cu	10.821	8.247	6.278	Cu	6.626	1.999	3.269
H	5.665	3.978	8.914	Cu	9.011	4.155	6.214	Cu	2.917	4.480	3.271
H	8.299	2.198	9.848	Cu	5.307	6.687	6.163	Cu	1.095	0.436	3.282
H	7.996	3.042	8.301	Cu	3.458	2.611	6.262	Cu	2.801	6.937	2.601
H	8.501	4.308	11.056	Cu	8.932	6.697	5.643	Cu	0.938	2.885	2.612
H	6.843	5.687	10.089	Cu	7.060	2.639	5.656	Cu	8.348	8.524	2.641
H	8.312	6.386	9.705	Cu	3.371	5.141	5.624	Cu	6.505	4.440	2.562
N	7.700	5.576	9.539	Cu	1.503	1.079	5.717	Cu	11.955	8.515	2.004
O	10.259	5.600	8.957	Cu	-0.434	-0.509	5.015	Cu	10.126	4.460	2.027
O	-0.579	0.235	9.234	Cu	1.363	3.507	5.028	Cu	6.448	6.948	1.988
S	6.016	2.823	9.589	Cu	5.112	1.070	5.087	Cu	4.576	2.906	1.997
				Cu	6.948	5.104	4.942	Cu	9.999	6.959	1.459
				Cu	12.357	9.153	4.407	Cu	8.173	2.898	1.452
Pt	7.303	5.721	7.371	Cu	10.535	5.114	4.488	Cu	4.474	5.390	1.444
Cu	5.534	1.748	7.443	Cu	6.853	7.617	4.419	Cu	2.629	1.333	1.483
Cu	1.844	4.212	7.277	Cu	4.987	3.541	4.398	Cu	6.212	1.334	0.987
Cu	0.021	-0.066	7.372	Cu	10.417	7.607	3.841	Cu	8.086	5.371	0.946
Cu	12.778	9.768	6.740	Cu	8.592	3.534	3.827	Cu	0.690	-0.231	0.991
Cu	10.940	5.760	6.957	Cu	4.890	6.036	3.793	Cu	2.523	3.818	0.995

Table S44: Coordinates for the most stable L- μ_3 -cysteine adsorbed on Pt-25%-decorated Cu(531)^S.

Atom	x	y	z	Atom	x	y	z	Atom	x	y	z
C	5.426	5.312	9.903	Cu	7.468	7.967	6.723	Cu	3.180	1.761	3.754
C	4.123	5.604	9.115	Cu	5.413	3.943	6.671	Cu	8.627	5.851	3.190
C	5.842	3.848	9.957	Cu	11.011	7.979	6.201	Cu	6.749	1.783	3.119
H	4.947	3.230	10.098	Cu	9.135	3.987	6.164	Cu	3.052	4.261	3.137
H	6.532	3.683	10.800	Cu	5.438	6.467	6.081	Cu	1.241	0.226	3.176
H	5.197	5.626	10.941	Cu	3.587	2.321	6.142	Cu	2.942	6.721	2.487
H	7.271	6.266	10.066	Cu	9.062	6.445	5.625	Cu	1.108	2.697	2.557
H	6.121	7.119	9.217	Cu	7.220	2.396	5.439	Cu	8.481	8.310	2.521
N	6.517	6.184	9.377	Cu	3.518	4.935	5.465	Cu	6.639	4.238	2.498
O	3.926	6.842	8.882	Cu	1.667	0.821	5.604	Cu	12.088	8.318	1.895
O	3.357	4.632	8.844	Cu	3.384	7.403	4.897	Cu	10.283	4.256	1.919
S	6.726	3.257	8.450	Cu	1.574	3.341	4.999	Cu	6.579	6.753	1.904
				Cu	8.963	8.935	4.946	Cu	4.701	2.700	1.883
				Cu	7.094	4.871	4.913	Cu	10.160	6.757	1.391
				Cu	12.503	8.938	4.293	Cu	8.310	2.698	1.341
Pt	7.402	5.473	7.418	Cu	10.686	4.898	4.354	Cu	4.614	5.181	1.348
Cu	5.729	1.520	7.249	Cu	6.997	7.391	4.331	Cu	2.760	1.144	1.372
Cu	2.133	4.075	7.313	Cu	5.116	3.329	4.304	Cu	10.029	9.238	0.857
Cu	0.053	-0.177	7.249	Cu	10.563	7.384	3.773	Cu	8.225	5.182	0.894
Cu	12.876	9.593	6.623	Cu	8.740	3.340	3.709	Cu	4.523	7.667	0.887
Cu	11.147	5.497	6.736	Cu	5.044	5.834	3.710	Cu	2.645	3.625	0.854

Table S45: Coordinates for the most stable D- μ_4 -cysteine adsorbed on Pt-25%-decorated Cu(531)^S.

Atom	x	y	z	Atom	x	y	z	Atom	x	y	z
C	8.337	4.351	9.874	Cu	7.276	8.282	6.791	Cu	3.064	1.978	3.885
C	9.780	4.423	9.316	Cu	5.411	4.181	7.024	Cu	8.513	6.041	3.256
C	7.644	3.099	9.274	Cu	10.863	8.238	6.259	Cu	6.654	2.007	3.286
H	7.915	2.225	9.881	Cu	9.039	4.156	6.214	Cu	2.952	4.477	3.316
H	8.049	2.940	8.256	Cu	5.341	6.657	6.187	Cu	1.122	0.433	3.293
H	8.378	4.253	10.974	Cu	3.473	2.617	6.271	Cu	2.838	6.938	2.622
H	6.713	5.631	9.955	Cu	8.980	6.714	5.616	Cu	0.981	2.888	2.637
H	8.198	6.408	9.832	Cu	7.089	2.632	5.665	Cu	8.374	8.509	2.628
N	7.639	5.608	9.513	Cu	3.444	5.123	5.695	Cu	6.524	4.435	2.590
O	10.207	5.553	8.918	Cu	1.511	1.068	5.740	Cu	11.997	8.521	2.014
O	-0.682	0.188	9.217	Cu	-0.395	-0.518	5.042	Cu	10.156	4.463	2.044
S	5.815	3.131	9.081	Cu	1.390	3.504	5.063	Cu	6.465	6.944	1.998
				Cu	5.138	1.060	5.049	Cu	4.601	2.903	2.060
				Cu	6.966	5.086	4.979	Cu	10.035	6.961	1.467
				Cu	12.403	9.153	4.427	Cu	8.208	2.903	1.471
Pt	7.410	5.820	7.354	Cu	10.569	5.113	4.496	Cu	4.497	5.389	1.466
Cu	5.536	1.655	7.401	Cu	6.871	7.602	4.414	Cu	2.657	1.335	1.501
Cu	1.864	4.212	7.311	Cu	5.034	3.567	4.507	Cu	6.245	1.351	1.001
Cu	0.060	-0.100	7.412	Cu	10.462	7.609	3.829	Cu	8.104	5.367	0.965
Cu	12.809	9.764	6.762	Cu	8.623	3.529	3.846	Cu	0.711	-0.232	0.995
Cu	10.959	5.750	6.988	Cu	4.918	6.029	3.816	Cu	2.567	3.817	1.023

Table S46: Coordinates for the most stable L- μ_4 -cysteine adsorbed on Pt-25%-decorated Cu(531)^S.

Atom	x	y	z	Atom	x	y	z	Atom	x	y	z
C	7.957	4.061	9.970	Cu	7.346	8.220	6.744	Cu	3.113	1.962	3.750
C	7.707	2.795	9.126	Cu	5.438	4.180	6.660	Cu	8.531	6.034	3.146
C	9.402	4.523	9.962	Cu	10.848	8.181	6.156	Cu	6.668	1.970	3.160
H	9.535	5.421	10.586	Cu	9.029	4.135	6.131	Cu	2.984	4.484	3.169
H	10.058	3.725	10.335	Cu	5.325	6.689	6.173	Cu	1.139	0.422	3.200
H	9.702	4.771	8.926	Cu	3.583	2.558	6.173	Cu	2.832	6.929	2.502
H	7.637	3.826	11.003	Cu	8.937	6.661	5.537	Cu	0.998	2.866	2.489
H	7.140	5.970	10.030	Cu	7.117	2.613	5.526	Cu	8.399	8.501	2.535
H	6.097	4.801	9.475	Cu	3.423	5.125	5.563	Cu	6.546	4.438	2.493
N	7.067	5.137	9.435	Cu	1.604	1.053	5.594	Cu	12.004	8.506	1.934
O	6.477	2.508	8.925	Cu	-0.434	-0.561	4.919	Cu	10.157	4.444	1.898
O	8.720	2.161	8.709	Cu	1.441	3.482	4.848	Cu	6.486	6.946	1.924
Cu				Cu	5.170	1.038	4.973	Cu	4.633	2.896	1.897
Cu				Cu	6.997	5.102	4.874	Cu	10.052	6.947	1.360
Cu				Cu	12.409	9.148	4.375	Cu	8.196	2.886	1.349
Pt	7.387	5.705	7.326	Cu	10.566	5.066	4.325	Cu	4.528	5.393	1.371
Pt	1.841	4.038	7.237	Cu	6.886	7.596	4.345	Cu	2.690	1.330	1.379
Cu	5.649	1.684	7.317	Cu	5.042	3.535	4.318	Cu	6.262	1.311	0.876
Cu	0.012	0.135	7.184	Cu	10.466	7.580	3.746	Cu	8.102	5.371	0.856
Cu	12.804	9.729	6.801	Cu	8.624	3.517	3.723	Cu	0.744	-0.240	0.916
Cu	10.927	5.693	6.709	Cu	4.932	6.035	3.753	Cu	2.578	3.834	0.885

Table S47: Coordinates for the most stable D-alanine adsorbed on Pt-50%-decorated Cu(531)^S.

Atom	x	y	z	Atom	x	y	z	Atom	x	y	z
C	7.341	4.116	10.048	Cu	7.097	8.260	6.773	Cu	2.882	2.018	3.784
C	7.307	2.838	9.184	Cu	5.217	4.218	6.749	Cu	8.299	6.083	3.195
C	5.970	4.659	10.408	Cu	10.637	8.243	6.184	Cu	6.437	2.028	3.207
H	6.067	5.569	11.021	Cu	8.834	4.188	6.147	Cu	2.760	4.545	3.219
H	5.395	3.908	10.965	Cu	5.136	6.713	6.206	Cu	0.912	0.472	3.228
H	5.419	4.911	9.487	Cu	3.341	2.611	6.217	Cu	2.600	6.986	2.540
H	7.914	3.872	10.962	Cu	8.751	6.730	5.569	Cu	0.771	2.922	2.528
H	8.284	5.962	9.851	Cu	6.882	2.668	5.580	Cu	8.165	8.551	2.568
H	9.013	4.740	8.988	Cu	3.200	5.195	5.626	Cu	6.311	4.496	2.544
N	8.103	5.138	9.268	Cu	1.383	1.100	5.610	Cu	11.773	8.563	1.976
O	8.432	2.469	8.716	Cu	-0.652	-0.505	4.960	Cu	9.924	4.495	1.933
O	6.179	2.281	9.003	Cu	1.224	3.545	4.893	Cu	6.256	7.000	1.955
				Cu	4.930	1.087	4.994	Cu	4.404	2.953	1.947
				Cu	6.752	5.148	4.924	Cu	9.819	6.997	1.399
				Cu	12.188	9.217	4.423	Cu	7.956	2.942	1.393
Pt	7.197	5.752	7.355	Cu	10.347	5.126	4.353	Cu	4.298	5.448	1.409
Pt	1.617	4.118	7.290	Cu	6.661	7.641	4.376	Cu	2.463	1.386	1.409
Cu	5.375	1.676	7.329	Cu	4.805	3.591	4.380	Cu	6.026	1.362	0.921
Cu	-0.167	0.175	7.220	Cu	10.246	7.640	3.778	Cu	7.866	5.422	0.899
Cu	12.567	9.813	6.882	Cu	8.391	3.575	3.768	Cu	0.513	-0.186	0.950
Cu	10.736	5.735	6.745	Cu	4.697	6.091	3.789	Cu	2.350	3.893	0.934

Table S48: Coordinates for the most stable L-alanine adsorbed on Pt-50%-decorated Cu(531)^S.

Atom	x	y	z	Atom	x	y	z	Atom	x	y	z
C	8.127	3.958	9.904	Cu	7.308	8.240	6.792	Cu	3.104	2.021	3.774
C	7.669	2.654	9.214	Cu	5.399	4.207	6.716	Cu	8.510	6.103	3.192
C	9.591	4.405	9.652	Cu	10.848	8.241	6.186	Cu	6.663	2.041	3.217
H	9.977	4.923	10.546	Cu	9.052	4.171	6.191	Cu	2.984	4.553	3.197
H	9.895	2.507	9.270	Cu	5.321	6.727	6.210	Cu	1.130	0.495	3.228
H	9.577	5.120	8.808	Cu	3.555	2.583	6.202	Cu	2.833	7.016	2.570
H	7.997	3.759	10.986	Cu	8.922	6.707	5.592	Cu	0.988	2.935	2.512
H	7.307	5.862	10.116	Cu	7.111	2.664	5.600	Cu	8.387	8.571	2.573
H	6.248	4.700	9.579	Cu	3.425	5.180	5.582	Cu	6.532	4.509	2.541
N	7.209	5.055	9.492	Cu	1.576	1.093	5.623	Cu	12.003	8.577	1.975
O	6.428	2.535	8.993	Cu	-0.408	-0.471	5.017	Cu	10.134	4.520	1.939
O	12.256	9.889	8.966	Cu	1.445	3.543	4.867	Cu	6.469	7.028	1.959
O	-0.579	0.209	9.335	Cu	5.154	1.082	5.012	Cu	4.629	2.974	1.933
				Cu	6.977	5.151	4.919	Cu	10.033	7.018	1.401
				Cu	12.413	9.220	4.404	Cu	8.191	2.961	1.406
Pt	7.361	5.707	7.365	Cu	10.555	5.132	4.352	Cu	4.520	5.476	1.402
Pt	1.853	4.097	7.260	Cu	6.874	7.653	4.384	Cu	2.684	1.406	1.400
Cu	5.595	1.696	7.354	Cu	5.034	3.585	4.363	Cu	6.261	1.386	0.931
Cu	0.080	0.192	7.341	Cu	10.457	7.642	3.784	Cu	8.081	5.445	0.898
Cu	12.818	9.775	6.814	Cu	8.616	3.585	3.785	Cu	0.721	-0.158	0.946
Cu	10.945	5.757	6.704	Cu	4.923	6.104	3.786	Cu	2.576	3.906	0.916

Table S49: Coordinates for the most stable D- μ_3 -serine adsorbed on Pt-50%-decorated Cu(531)^S.

Atom	x	y	z	Atom	x	y	z	Atom	x	y	z
C	8.533	4.549	10.002	Cu	7.241	8.192	6.788	Cu	3.024	1.938	3.820
C	9.897	4.530	9.304	Cu	5.345	4.131	6.777	Cu	8.466	6.005	3.217
C	7.755	3.258	9.677	Cu	10.790	8.208	6.236	Cu	6.611	1.967	3.253
H	5.928	3.753	9.205	Cu	8.995	4.119	6.211	Cu	2.910	4.447	3.236
H	8.180	2.426	10.253	Cu	5.291	6.634	6.150	Cu	1.070	0.395	3.237
H	7.880	3.039	8.598	Cu	3.439	2.548	6.235	Cu	2.782	6.911	2.580
H	8.669	4.632	11.096	Cu	8.905	6.643	5.618	Cu	0.929	2.849	2.577
H	6.916	5.826	10.062	Cu	7.051	2.604	5.641	Cu	8.321	8.466	2.571
H	8.355	6.567	9.635	Cu	3.382	5.117	5.582	Cu	6.489	4.411	2.548
N	7.775	5.729	9.510	Cu	1.495	1.018	5.652	Cu	11.947	8.480	1.988
O	10.324	5.633	8.842	Cu	-0.450	-0.537	4.999	Cu	10.100	4.428	1.991
O	-0.633	0.264	9.164	Cu	1.358	3.474	4.963	Cu	6.414	6.910	1.954
O	6.370	3.371	9.998	Cu	5.073	0.994	4.989	Cu	4.559	2.870	1.977
				Cu	6.920	5.059	4.941	Cu	9.992	6.919	1.428
				Cu	12.345	9.132	4.389	Cu	8.156	2.872	1.433
Pt	7.279	5.672	7.376	Cu	10.520	5.078	4.446	Cu	4.452	5.358	1.416
Pt	1.848	4.198	7.328	Cu	6.825	7.563	4.379	Cu	2.604	1.300	1.445
Cu	5.486	1.680	7.283	Cu	4.974	3.506	4.391	Cu	6.213	1.305	0.971
Cu	0.036	-0.074	7.350	Cu	10.402	7.566	3.810	Cu	8.060	5.350	0.913
Cu	12.759	9.775	6.753	Cu	8.575	3.505	3.815	Cu	0.662	-0.266	0.950
Cu	10.943	5.702	6.885	Cu	4.872	6.001	3.774	Cu	2.501	3.787	0.953

Table S50: Coordinates for the most stable L- μ_3 -serine adsorbed on Pt-50%-decorated Cu(531)^S.

Atom	x	y	z	Atom	x	y	z	Atom	x	y	z
C	5.489	5.033	9.838	Cu	7.461	8.083	6.706	Cu	3.192	1.829	3.771
C	4.198	5.529	9.143	Cu	5.527	4.055	6.716	Cu	8.635	5.906	3.168
C	5.729	3.523	9.711	Cu	10.942	8.054	6.186	Cu	6.765	1.849	3.159
H	4.827	3.036	10.125	Cu	9.175	4.022	6.204	Cu	3.066	4.323	3.169
H	6.591	3.260	10.359	Cu	5.468	6.528	6.103	Cu	1.242	0.284	3.199
H	5.331	5.229	10.918	Cu	3.596	2.429	6.160	Cu	2.957	6.791	2.527
H	7.411	5.778	10.062	Cu	9.076	6.503	5.559	Cu	1.114	2.746	2.533
H	6.327	6.837	9.376	Cu	7.225	2.471	5.513	Cu	8.491	8.366	2.514
N	6.648	5.859	9.382	Cu	3.541	4.997	5.526	Cu	6.645	4.297	2.504
O	4.163	6.777	8.872	Cu	1.666	0.887	5.626	Cu	12.117	8.372	1.905
O	3.285	4.665	8.984	Cu	3.396	7.457	4.944	Cu	10.280	4.319	1.925
O	5.992	3.098	8.400	Cu	1.530	3.382	4.936	Cu	6.575	6.802	1.917
Cu				Cu	8.957	9.012	4.950	Cu	4.712	2.758	1.918
Cu				Cu	7.120	4.937	4.908	Cu	10.170	6.814	1.372
Cu				Cu	12.514	9.005	4.319	Cu	8.331	2.754	1.375
Pt	7.518	5.619	7.358	Cu	10.688	4.948	4.348	Cu	4.608	5.244	1.370
Pt	1.972	4.070	7.324	Cu	6.997	7.460	4.321	Cu	2.766	1.197	1.386
Cu	5.699	1.528	7.287	Cu	5.144	3.404	4.351	Cu	10.060	9.311	0.883
Cu	0.080	-0.168	7.320	Cu	10.572	7.456	3.746	Cu	8.219	5.235	0.885
Cu	12.872	9.654	6.681	Cu	8.748	3.390	3.748	Cu	4.523	7.733	0.905
Cu	11.124	5.540	6.763	Cu	5.044	5.882	3.743	Cu	2.664	3.676	0.864

Table S51: Coordinates for the most stable D- μ_4 -serine adsorbed on Pt-50%-decorated Cu(531)^S.

Atom	x	y	z	Atom	x	y	z	Atom	x	y	z
C	9.366	6.083	9.820	Cu	7.099	8.004	6.696	Cu	2.922	1.733	3.790
C	10.123	7.288	9.217	Cu	5.311	3.889	6.771	Cu	8.332	5.780	3.167
C	10.046	4.730	9.595	Cu	10.713	7.989	6.071	Cu	6.489	1.747	3.203
H	11.035	4.795	10.086	Cu	8.832	3.891	6.165	Cu	2.808	4.251	3.194
H	9.449	3.955	10.114	Cu	5.156	6.398	6.182	Cu	0.954	0.188	3.180
H	9.396	6.249	10.917	Cu	3.347	2.379	6.275	Cu	2.672	6.703	2.503
H	7.378	5.559	10.054	Cu	8.792	6.455	5.529	Cu	0.823	2.642	2.525
H	7.633	7.087	9.450	Cu	6.918	2.374	5.592	Cu	8.213	8.257	2.552
N	7.936	6.105	9.389	Cu	3.252	4.861	5.607	Cu	6.372	4.204	2.544
O	9.403	8.299	8.916	Cu	1.398	0.808	5.574	Cu	11.826	8.265	1.919
O	11.388	7.191	9.154	Cu	3.132	7.341	4.938	Cu	9.975	4.217	1.919
O	10.187	4.380	8.239	Cu	1.292	3.272	4.932	Cu	6.301	6.707	1.921
Cu				Cu	8.651	8.936	4.972	Cu	4.452	2.664	1.958
Cu				Cu	6.800	4.859	4.941	Cu	9.857	6.705	1.373
Cu				Cu	12.252	8.925	4.311	Cu	8.014	2.661	1.396
Pt	7.242	5.530	7.358	Cu	10.404	4.852	4.358	Cu	4.356	5.154	1.383
Pt	1.661	3.989	7.372	Cu	6.696	7.349	4.332	Cu	2.514	1.097	1.403
Cu	5.454	1.359	7.338	Cu	4.854	3.303	4.374	Cu	9.765	9.200	0.915
Cu	-0.105	-0.247	7.277	Cu	10.296	7.339	3.737	Cu	7.913	5.129	0.864
Cu	12.650	9.550	6.686	Cu	8.459	3.293	3.778	Cu	4.260	7.654	0.897
Cu	10.812	5.517	6.717	Cu	4.752	5.789	3.760	Cu	2.403	3.581	0.911

Table S52: Coordinates for the most stable L- μ_4 -serine adsorbed on Pt-50%-decorated Cu(531)^S.

Atom	x	y	z	Atom	x	y	z	Atom	x	y	z
C	8.050	4.063	9.919	Cu	7.323	8.246	6.769	Cu	3.117	1.989	3.761
C	7.616	2.757	9.204	Cu	5.413	4.206	6.696	Cu	8.537	6.067	3.178
C	9.475	4.613	9.702	Cu	10.851	8.230	6.195	Cu	6.683	2.008	3.205
H	9.714	5.312	10.517	Cu	9.062	4.162	6.190	Cu	2.997	4.517	3.204
H	9.918	2.352	9.433	Cu	5.330	6.718	6.182	Cu	1.141	0.446	3.211
H	9.475	5.178	8.752	Cu	3.557	2.584	6.185	Cu	2.852	6.971	2.569
H	7.912	3.853	10.998	Cu	8.942	6.689	5.577	Cu	1.006	2.892	2.520
H	7.209	5.963	10.097	Cu	7.125	2.650	5.586	Cu	8.405	8.530	2.559
H	6.155	4.784	9.568	Cu	3.429	5.171	5.589	Cu	6.554	4.465	2.525
N	7.115	5.142	9.490	Cu	1.592	1.074	5.594	Cu	12.026	8.537	1.976
O	6.374	2.644	8.966	Cu	-0.402	-0.492	5.018	Cu	10.163	4.475	1.926
O	8.489	1.860	8.956	Cu	1.456	3.521	4.874	Cu	6.484	6.973	1.948
S	-0.227	0.277	9.607	Cu	5.169	1.067	5.001	Cu	4.645	2.921	1.926
				Cu	7.003	5.124	4.901	Cu	10.063	6.976	1.397
				Cu	12.426	9.195	4.413	Cu	8.221	2.915	1.392
Pt	7.363	5.723	7.342	Cu	10.573	5.100	4.348	Cu	4.528	5.422	1.403
Pt	1.855	4.093	7.268	Cu	6.895	7.623	4.365	Cu	2.688	1.349	1.394
Cu	5.601	1.711	7.340	Cu	5.049	3.561	4.353	Cu	6.287	1.342	0.922
Cu	0.106	0.177	7.346	Cu	10.476	7.616	3.782	Cu	8.112	5.400	0.887
Cu	12.813	9.777	6.837	Cu	8.639	3.552	3.773	Cu	0.731	-0.220	0.928
Cu	10.962	5.738	6.698	Cu	4.938	6.066	3.781	Cu	2.588	3.851	0.924

Table S53: Coordinates for the most stable D- μ_3 -cysteine adsorbed on Pt-50%-decorated Cu(531)^S.

Atom	x	y	z	Atom	x	y	z	Atom	x	y	z
C	8.418	4.297	9.949	Cu	7.257	8.245	6.829	Cu	3.046	1.996	3.859
C	9.854	4.416	9.366	Cu	5.349	4.202	6.737	Cu	8.498	6.062	3.252
C	7.803	3.022	9.358	Cu	10.808	8.259	6.290	Cu	6.624	2.015	3.269
H	5.633	3.932	8.954	Cu	9.028	4.163	6.216	Cu	2.924	4.500	3.253
H	8.301	2.136	9.772	Cu	5.314	6.690	6.163	Cu	1.105	0.457	3.277
H	7.971	3.032	8.263	Cu	3.472	2.594	6.271	Cu	2.806	6.959	2.597
H	8.467	4.230	11.051	Cu	8.930	6.704	5.653	Cu	0.946	2.908	2.614
H	6.823	5.633	10.094	Cu	7.067	2.645	5.660	Cu	8.353	8.542	2.638
H	8.299	6.325	9.723	Cu	3.391	5.162	5.594	Cu	6.510	4.461	2.564
N	7.681	5.522	9.545	Cu	1.507	1.083	5.708	Cu	11.956	8.535	2.005
O	10.236	5.564	8.995	Cu	-0.423	-0.488	5.012	Cu	10.130	4.479	2.029
O	-0.592	0.194	9.228	Cu	1.375	3.528	5.000	Cu	6.455	6.968	1.991
S	6.008	2.752	9.565	Cu	5.112	1.078	5.088	Cu	4.576	2.930	1.991
				Cu	6.949	5.111	4.945	Cu	10.005	6.981	1.466
				Cu	12.360	9.181	4.403	Cu	8.175	2.918	1.453
Pt	7.302	5.712	7.376	Cu	10.546	5.133	4.489	Cu	4.476	5.413	1.436
Pt	1.862	4.222	7.363	Cu	6.856	7.628	4.418	Cu	2.639	1.357	1.477
Cu	5.525	1.733	7.444	Cu	4.992	3.551	4.399	Cu	6.212	1.358	0.984
Cu	0.053	-0.048	7.377	Cu	10.418	7.630	3.853	Cu	8.092	5.393	0.949
Cu	12.799	9.797	6.749	Cu	8.595	3.549	3.830	Cu	0.700	-0.208	0.990
Cu	10.922	5.754	6.971	Cu	4.896	6.052	3.789	Cu	2.515	3.838	0.977

Table S54: Coordinates for the most stable L- μ_3 -cysteine adsorbed on Pt-50%-decorated Cu(531)^S.

Atom	x	y	z	Atom	x	y	z	Atom	x	y	z
C	5.479	5.334	9.929	Cu	7.474	7.981	6.714	Cu	3.172	1.758	3.751
C	4.163	5.606	9.156	Cu	5.422	3.959	6.677	Cu	8.621	5.843	3.180
C	5.900	3.870	9.970	Cu	10.943	7.986	6.173	Cu	6.739	1.774	3.113
H	5.007	3.251	10.127	Cu	9.137	3.973	6.167	Cu	3.047	4.255	3.135
H	6.610	3.701	10.795	Cu	5.437	6.473	6.089	Cu	1.231	0.218	3.177
H	5.264	5.644	10.971	Cu	3.573	2.330	6.156	Cu	2.940	6.718	2.488
H	7.313	6.315	10.062	Cu	9.045	6.434	5.602	Cu	1.100	2.686	2.522
H	6.139	7.141	9.219	Cu	7.221	2.393	5.431	Cu	8.472	8.299	2.505
N	6.552	6.214	9.384	Cu	3.514	4.939	5.479	Cu	6.637	4.234	2.508
O	3.955	6.835	8.884	Cu	1.655	0.816	5.601	Cu	12.088	8.303	1.879
O	3.408	4.613	8.943	Cu	3.370	7.403	4.908	Cu	10.269	4.252	1.908
S	6.750	3.284	8.442	Cu	1.530	3.321	4.920	Cu	6.563	6.742	1.914
				Cu	8.942	8.947	4.936	Cu	4.698	2.689	1.881
				Cu	7.091	4.870	4.919	Cu	10.154	6.746	1.367
				Cu	12.496	8.939	4.282	Cu	8.305	2.687	1.343
Pt	7.416	5.494	7.419	Cu	10.674	4.892	4.342	Cu	4.611	5.174	1.353
Pt	1.992	4.013	7.309	Cu	6.985	7.391	4.327	Cu	2.757	1.135	1.362
Cu	5.730	1.546	7.246	Cu	5.109	3.326	4.308	Cu	10.032	9.230	0.846
Cu	0.050	-0.177	7.265	Cu	10.544	7.386	3.749	Cu	8.208	5.176	0.889
Cu	12.860	9.588	6.644	Cu	8.735	3.333	3.708	Cu	4.515	7.667	0.885
Cu	11.132	5.491	6.741	Cu	5.029	5.822	3.726	Cu	2.648	3.615	0.840

Table S55: Coordinates for the most stable D- μ_4 -cysteine adsorbed on Pt-50%-decorated Cu(531)^S.

Atom	x	y	z	Atom	x	y	z	Atom	x	y	z
C	8.318	4.350	9.875	Cu	7.275	8.280	6.793	Cu	3.079	1.972	3.884
C	9.765	4.421	9.326	Cu	5.421	4.185	7.018	Cu	8.515	6.035	3.259
C	7.627	3.104	9.266	Cu	10.849	8.243	6.268	Cu	6.653	2.001	3.283
H	7.896	2.225	9.865	Cu	9.049	4.156	6.215	Cu	2.956	4.476	3.299
H	8.035	2.951	8.249	Cu	5.343	6.666	6.193	Cu	1.126	0.430	3.293
H	8.349	4.252	10.976	Cu	3.489	2.604	6.269	Cu	2.839	6.940	2.625
H	6.702	5.647	9.949	Cu	8.979	6.711	5.615	Cu	0.989	2.885	2.633
H	8.195	6.407	9.827	Cu	7.098	2.629	5.666	Cu	8.377	8.501	2.624
N	7.628	5.612	9.509	Cu	3.463	5.135	5.667	Cu	6.529	4.433	2.594
O	10.194	5.552	8.940	Cu	1.517	1.067	5.728	Cu	12.002	8.515	2.019
O	10.377	3.305	9.215	Cu	-0.392	-0.508	5.045	Cu	10.157	4.460	2.043
S	5.798	3.138	9.068	Cu	1.397	3.510	5.026	Cu	6.464	6.941	2.006
				Cu	5.142	1.057	5.051	Cu	4.605	2.899	2.051
				Cu	6.967	5.085	4.983	Cu	10.040	6.956	1.474
				Cu	12.405	9.164	4.425	Cu	8.209	2.898	1.471
Pt	7.413	5.822	7.354	Cu	10.575	5.114	4.490	Cu	4.498	5.385	1.470
Pt	1.876	4.206	7.389	Cu	6.873	7.599	4.415	Cu	2.660	1.333	1.499
Cu	5.535	1.652	7.404	Cu	5.040	3.560	4.499	Cu	6.252	1.341	1.000
Cu	0.079	-0.067	7.420	Cu	10.465	7.611	3.836	Cu	8.103	5.367	0.968
Cu	12.825	9.785	6.777	Cu	8.623	3.528	3.847	Cu	0.714	-0.234	1.000
Cu	10.938	5.733	6.987	Cu	4.920	6.027	3.823	Cu	2.563	3.810	1.006

Table S56: Coordinates for the most stable L- μ_4 -cysteine adsorbed on Pt-50%-decorated Cu(531)^S.

Atom	x	y	z	Atom	x	y	z	Atom	x	y	z
C	5.423	5.150	9.978	Cu	7.419	8.091	6.639	Cu	3.197	1.823	3.723
C	4.195	5.568	9.133	Cu	5.523	3.956	6.607	Cu	8.661	5.912	3.156
C	5.746	3.666	9.948	Cu	11.051	8.025	6.177	Cu	6.802	1.849	3.129
H	4.866	3.076	10.231	Cu	9.223	4.005	6.148	Cu	3.085	4.329	3.128
H	6.580	3.434	10.630	Cu	5.473	6.503	6.032	Cu	1.249	0.283	3.143
H	6.055	3.364	8.927	Cu	3.607	2.424	6.119	Cu	2.967	6.792	2.478
H	5.159	5.436	11.017	Cu	9.109	6.521	5.581	Cu	1.130	2.762	2.533
H	7.354	5.865	10.238	Cu	7.240	2.466	5.515	Cu	8.502	8.360	2.446
H	6.322	6.935	9.486	Cu	3.553	4.983	5.471	Cu	6.669	4.304	2.472
N	6.601	5.948	9.549	Cu	1.669	0.881	5.564	Cu	12.131	8.385	1.882
O	4.131	6.817	8.874	Cu	3.417	7.449	4.886	Cu	10.306	4.325	1.895
O	3.355	4.668	8.837	Cu	1.599	3.397	4.980	Cu	6.594	6.805	1.862
				Cu	8.971	8.968	4.847	Cu	4.730	2.751	1.870
				Cu	7.142	4.934	4.888	Cu	10.201	6.824	1.355
				Cu	12.534	9.004	4.293	Cu	8.350	2.767	1.334
Au	7.508	5.521	7.409	Cu	10.707	4.960	4.325	Cu	4.629	5.236	1.325
Cu	5.682	1.481	7.126	Cu	7.007	7.449	4.272	Cu	2.763	1.200	1.350
Cu	2.147	4.139	7.306	Cu	5.150	3.379	4.270	Cu	10.094	9.325	0.850
Cu	0.125	-0.189	7.264	Cu	10.607	7.444	3.742	Cu	8.259	5.258	0.867
Cu	12.910	9.647	6.628	Cu	8.763	3.395	3.711	Cu	4.532	7.723	0.859
Cu	11.178	5.542	6.720	Cu	5.066	5.878	3.679	Cu	2.667	3.684	0.846

Table S57: Coordinates for the most stable D-alanine adsorbed on Au-25%-decorated Cu(531)^S.

Atom	x	y	z	Atom	x	y	z	Atom	x	y	z
C	8.020	4.034	10.128	Cu	7.127	8.207	6.675	Cu	2.930	1.919	3.717
C	8.902	3.175	9.203	Cu	5.239	4.089	6.682	Cu	8.355	5.999	3.143
C	6.578	3.566	10.204	Cu	10.715	8.159	6.126	Cu	6.523	1.939	3.151
H	5.978	4.250	10.825	Cu	8.927	4.100	6.048	Cu	2.831	4.444	3.159
H	6.526	2.556	10.631	Cu	5.164	6.628	6.154	Cu	0.962	0.371	3.149
H	6.141	3.534	9.189	Cu	3.336	2.542	6.128	Cu	2.687	6.899	2.500
H	8.482	4.018	11.133	Cu	8.804	6.647	5.517	Cu	0.839	2.825	2.466
H	7.597	6.072	10.203	Cu	6.967	2.579	5.528	Cu	8.230	8.449	2.475
H	9.065	5.707	9.503	Cu	3.247	5.078	5.566	Cu	6.382	4.401	2.508
N	8.082	5.419	9.580	Cu	1.397	1.001	5.551	Cu	11.867	8.472	1.924
O	10.090	3.617	9.021	Cu	-0.548	-0.585	4.951	Cu	10.000	4.404	1.866
O	8.384	2.160	8.652	Cu	1.299	3.464	4.855	Cu	6.306	6.904	1.892
				Cu	4.985	0.973	4.872	Cu	4.477	2.844	1.889
				Cu	6.825	5.056	4.914	Cu	9.901	6.904	1.348
				Cu	12.282	9.128	4.373	Cu	8.050	2.849	1.341
Au	7.257	5.636	7.396	Cu	10.415	5.043	4.275	Cu	4.360	5.345	1.361
Cu	5.399	1.627	7.159	Cu	6.710	7.554	4.301	Cu	2.512	1.280	1.352
Cu	1.679	4.053	7.156	Cu	4.871	3.490	4.311	Cu	6.132	1.274	0.867
Cu	-0.089	0.106	7.289	Cu	10.328	7.547	3.714	Cu	7.944	5.335	0.861
Cu	12.651	9.691	6.794	Cu	8.474	3.482	3.705	Cu	0.561	-0.289	0.861
Cu	10.825	5.692	6.626	Cu	4.772	5.988	3.737	Cu	2.422	3.784	0.874

Table S58: Coordinates for the most stable L-alanine adsorbed on Au-25%-decorated Cu(531)^S.

Atom	x	y	z	Atom	x	y	z	Atom	x	y	z
C	8.171	3.774	9.992	Cu	7.270	8.316	6.737	Cu	3.075	2.068	3.756
C	7.685	2.551	9.187	Cu	5.370	4.221	6.689	Cu	8.494	6.157	3.200
C	9.612	4.255	9.690	Cu	10.866	8.264	6.151	Cu	6.653	2.081	3.184
H	10.010	4.792	10.568	Cu	9.067	4.198	6.152	Cu	2.972	4.592	3.189
H	9.947	2.383	9.237	Cu	5.318	6.746	6.173	Cu	1.106	0.534	3.202
H	9.558	4.961	8.840	Cu	3.501	2.647	6.171	Cu	2.828	7.051	2.540
H	8.124	3.445	11.050	Cu	8.928	6.759	5.606	Cu	0.973	2.984	2.500
H	7.388	5.655	10.430	Cu	7.097	2.701	5.561	Cu	8.378	8.623	2.540
H	6.286	4.567	9.816	Cu	3.394	5.199	5.589	Cu	6.524	4.555	2.548
N	7.252	4.904	9.748	Cu	1.549	1.137	5.600	Cu	11.989	8.627	1.956
O	6.445	2.478	8.950	Cu	-0.408	-0.450	4.985	Cu	10.135	4.562	1.922
O	12.259	9.789	8.868	Cu	1.436	3.595	4.891	Cu	6.458	7.076	1.937
O	-0.539	0.080	9.354	Cu	5.137	1.121	4.975	Cu	4.617	3.012	1.921
				Cu	6.981	5.179	4.951	Cu	10.026	7.070	1.389
				Cu	12.409	9.255	4.379	Cu	8.186	3.002	1.387
Au	7.380	5.746	7.470	Cu	10.542	5.184	4.332	Cu	4.514	5.515	1.394
Cu	5.577	1.713	7.297	Cu	6.858	7.701	4.350	Cu	2.661	1.452	1.390
Cu	1.839	4.154	7.183	Cu	5.015	3.625	4.343	Cu	6.255	1.437	0.894
Cu	0.074	0.196	7.317	Cu	10.447	7.683	3.765	Cu	8.082	5.494	0.917
Cu	12.797	9.804	6.764	Cu	8.611	3.628	3.759	Cu	0.708	-0.117	0.919
Cu	10.966	5.794	6.685	Cu	4.921	6.135	3.771	Cu	2.564	3.963	0.909

Table S59: Coordinates for the most stable D- μ_3 -serine adsorbed on Au-25%-decorated Cu(531)^S.

Atom	x	y	z	Atom	x	y	z	Atom	x	y	z
C	9.382	5.981	9.914	Cu	7.068	8.050	6.689	Cu	2.941	1.770	3.757
C	10.236	7.035	9.167	Cu	5.267	3.859	6.773	Cu	8.335	5.827	3.182
C	9.642	4.482	9.610	Cu	10.781	8.031	6.027	Cu	6.511	1.781	3.214
H	0.389	1.881	9.102	Cu	8.906	3.941	6.134	Cu	2.845	4.289	3.181
H	9.373	3.881	10.494	Cu	5.117	6.438	6.200	Cu	0.977	0.220	3.169
H	8.968	4.195	8.779	Cu	3.346	2.380	6.245	Cu	2.701	6.752	2.521
H	9.618	6.164	10.981	Cu	8.800	6.514	5.535	Cu	0.850	2.670	2.488
H	7.351	5.832	10.359	Cu	6.943	2.400	5.615	Cu	8.226	8.288	2.550
H	7.806	7.263	9.634	Cu	3.232	4.865	5.645	Cu	6.378	4.248	2.575
N	7.953	6.246	9.644	Cu	1.413	0.863	5.547	Cu	11.872	8.296	1.914
O	9.701	8.148	8.921	Cu	3.165	7.398	4.970	Cu	9.990	4.246	1.893
O	11.464	6.699	8.944	Cu	1.343	3.321	4.906	Cu	6.305	6.751	1.935
O	-0.089	1.009	9.237	Cu	4.973	0.844	4.961	Cu	4.489	2.690	1.942
				Cu	6.814	4.883	4.985	Cu	9.880	6.728	1.370
				Cu	12.300	8.964	4.318	Cu	8.029	2.686	1.401
Au	7.238	5.529	7.437	Cu	10.403	4.884	4.273	Cu	4.380	5.196	1.391
Cu	5.463	1.257	7.328	Cu	6.696	7.380	4.342	Cu	2.537	1.126	1.381
Cu	1.607	3.968	7.296	Cu	4.861	3.333	4.379	Cu	9.804	9.210	0.933
Cu	-0.084	-0.022	7.303	Cu	10.325	7.374	3.714	Cu	7.920	5.172	0.898
Cu	12.708	9.597	6.697	Cu	8.462	3.325	3.763	Cu	4.272	7.691	0.887
Cu	10.812	5.526	6.547	Cu	4.757	5.824	3.790	Cu	2.448	3.615	0.901

Table S60: Coordinates for the most stable L- μ_3 -serine adsorbed on Au-25%-decorated Cu(531)^S.

Atom	x	y	z	Atom	x	y	z	Atom	x	y	z
C	5.312	4.953	9.890	Cu	7.452	8.121	6.673	Cu	3.223	1.854	3.755
C	4.105	5.516	9.104	Cu	5.521	4.028	6.712	Cu	8.663	5.929	3.183
C	5.541	3.446	9.710	Cu	11.020	8.060	6.186	Cu	6.801	1.864	3.148
H	4.599	2.946	9.997	Cu	9.236	4.019	6.160	Cu	3.106	4.350	3.146
H	6.326	3.139	10.433	Cu	5.505	6.523	6.068	Cu	1.278	0.313	3.168
H	5.039	5.091	10.957	Cu	3.613	2.446	6.129	Cu	2.988	6.813	2.493
H	7.235	5.598	10.308	Cu	9.106	6.528	5.593	Cu	1.152	2.780	2.539
H	6.258	6.744	9.596	Cu	7.253	2.480	5.505	Cu	8.531	8.394	2.514
N	6.525	5.752	9.587	Cu	3.571	5.001	5.497	Cu	6.677	4.322	2.502
O	4.145	6.768	8.863	Cu	1.685	0.901	5.597	Cu	12.138	8.400	1.900
O	3.159	4.712	8.845	Cu	3.440	7.469	4.904	Cu	10.324	4.338	1.911
O	5.952	3.091	8.415	Cu	1.596	3.416	4.981	Cu	6.620	6.834	1.893
				Cu	9.001	9.018	4.941	Cu	4.750	2.787	1.914
				Cu	7.142	4.946	4.929	Cu	10.201	6.846	1.383
				Cu	12.553	9.017	4.307	Cu	8.355	2.776	1.360
Au	7.580	5.595	7.458	Cu	10.725	4.979	4.334	Cu	4.650	5.266	1.346
Cu	5.712	1.519	7.268	Cu	7.027	7.477	4.306	Cu	2.807	1.226	1.376
Cu	2.081	4.125	7.285	Cu	5.178	3.423	4.340	Cu	10.085	9.345	0.867
Cu	0.134	-0.180	7.288	Cu	10.610	7.467	3.762	Cu	8.265	5.261	0.899
Cu	12.920	9.659	6.633	Cu	8.776	3.417	3.728	Cu	4.569	7.750	0.880
Cu	11.176	5.559	6.733	Cu	5.084	5.907	3.707	Cu	2.698	3.709	0.859

Table S61: Coordinates for the most stable D- μ_4 -serine adsorbed on Au-25%-decorated Cu(531)^S.

Atom	x	y	z	Atom	x	y	z	Atom	x	y	z
C	9.514	6.120	9.890	Cu	7.057	8.002	6.658	Cu	2.877	1.739	3.769
C	10.229	7.296	9.183	Cu	5.249	3.843	6.745	Cu	8.304	5.795	3.165
C	10.163	4.753	9.648	Cu	10.708	7.971	6.027	Cu	6.459	1.751	3.170
H	0.089	1.669	10.109	Cu	8.826	3.864	6.089	Cu	2.772	4.249	3.196
H	9.562	3.995	10.193	Cu	5.111	6.380	6.176	Cu	0.923	0.188	3.164
H	9.638	6.323	10.975	Cu	3.290	2.364	6.243	Cu	2.650	6.704	2.484
H	7.548	5.592	10.260	Cu	8.778	6.460	5.517	Cu	0.795	2.649	2.511
H	7.745	7.107	9.599	Cu	6.883	2.359	5.556	Cu	8.180	8.265	2.527
N	8.065	6.131	9.560	Cu	3.182	4.836	5.645	Cu	6.348	4.214	2.559
O	9.496	8.304	8.913	Cu	1.350	0.798	5.564	Cu	11.801	8.273	1.890
O	11.481	7.181	8.995	Cu	3.115	7.320	4.921	Cu	9.955	4.225	1.906
O	10.239	4.402	8.290	Cu	1.261	3.266	4.967	Cu	6.267	6.719	1.913
Cu				Cu	8.619	8.931	4.936	Cu	4.430	2.663	1.937
Cu				Cu	6.785	4.856	4.970	Cu	9.832	6.708	1.355
Cu				Cu	12.227	8.916	4.287	Cu	7.989	2.661	1.375
Au	7.248	5.473	7.445	Cu	10.378	4.860	4.340	Cu	4.334	5.158	1.387
Cu	5.428	1.298	7.298	Cu	6.661	7.345	4.322	Cu	2.482	1.106	1.386
Cu	1.571	3.992	7.349	Cu	4.813	3.303	4.361	Cu	9.741	9.190	0.886
Cu	-0.180	-0.259	7.271	Cu	10.274	7.343	3.704	Cu	7.892	5.141	0.877
Cu	12.605	9.532	6.646	Cu	8.434	3.292	3.738	Cu	4.228	7.667	0.878
Cu	10.793	5.487	6.710	Cu	4.724	5.779	3.763	Cu	2.383	3.593	0.909

Table S62: Coordinates for the most stable L- μ_4 -serine adsorbed on Au-25%-decorated Cu(531)^S.

Atom	x	y	z	Atom	x	y	z	Atom	x	y	z
C	8.103	3.914	9.994	Cu	7.278	8.323	6.719	Cu	3.096	2.029	3.741
C	7.646	2.679	9.176	Cu	5.374	4.218	6.669	Cu	8.511	6.104	3.194
C	9.507	4.497	9.743	Cu	10.874	8.260	6.159	Cu	6.669	2.032	3.184
H	9.752	5.186	10.566	Cu	9.072	4.195	6.153	Cu	2.986	4.545	3.189
H	-1.067	-0.865	9.393	Cu	5.314	6.741	6.145	Cu	1.120	0.475	3.189
H	9.481	5.078	8.804	Cu	3.506	2.641	6.154	Cu	2.838	6.996	2.540
H	8.047	3.583	11.051	Cu	8.941	6.741	5.595	Cu	0.990	2.920	2.507
H	7.266	5.783	10.396	Cu	7.110	2.683	5.555	Cu	8.394	8.559	2.538
H	6.191	4.658	9.779	Cu	3.396	5.188	5.583	Cu	6.537	4.499	2.539
N	7.151	5.015	9.728	Cu	1.565	1.124	5.562	Cu	12.008	8.562	1.967
O	6.404	2.603	8.929	Cu	-0.407	-0.467	4.986	Cu	10.155	4.494	1.917
O	12.206	9.908	8.861	Cu	1.449	3.573	4.884	Cu	6.473	7.006	1.929
S	-0.172	0.191	9.594	Cu	5.153	1.097	4.971	Cu	4.640	2.946	1.912
				Cu	6.991	5.148	4.934	Cu	10.051	6.999	1.393
				Cu	12.421	9.227	4.389	Cu	8.197	2.936	1.385
Au	7.365	5.770	7.436	Cu	10.557	5.144	4.326	Cu	4.519	5.448	1.391
Cu	5.581	1.724	7.296	Cu	6.874	7.663	4.337	Cu	2.678	1.378	1.385
Cu	1.849	4.149	7.177	Cu	5.029	3.590	4.333	Cu	6.274	1.360	0.899
Cu	0.109	0.212	7.314	Cu	10.461	7.643	3.769	Cu	8.107	5.425	0.913
Cu	12.804	9.806	6.789	Cu	8.625	3.589	3.754	Cu	0.722	-0.191	0.910
Cu	10.982	5.789	6.667	Cu	4.929	6.093	3.761	Cu	2.576	3.887	0.916

Table S63: Coordinates for the most stable D- μ_3 -cysteine adsorbed on Au-25%-decorated Cu(531)^S.

Atom	x	y	z	Atom	x	y	z	Atom	x	y	z
C	5.046	4.927	9.871	Cu	7.453	8.325	6.708	Cu	3.265	2.052	3.742
C	4.490	3.590	9.289	Cu	5.599	4.228	6.571	Cu	8.707	6.154	3.219
C	4.245	6.044	9.204	Cu	11.093	8.291	6.280	Cu	6.853	2.070	3.189
H	3.208	6.025	9.564	Cu	9.223	4.209	6.214	Cu	3.133	4.562	3.194
H	6.020	7.606	8.800	Cu	5.500	6.785	6.089	Cu	1.290	0.509	3.209
H	4.211	5.850	8.117	Cu	3.702	2.657	6.083	Cu	3.012	7.029	2.568
H	4.839	4.923	10.959	Cu	9.112	6.757	5.663	Cu	1.171	2.976	2.591
H	6.954	5.589	10.354	Cu	7.289	2.670	5.608	Cu	8.572	8.606	2.536
H	6.882	4.068	9.667	Cu	3.574	5.200	5.569	Cu	6.708	4.531	2.499
N	6.502	5.022	9.633	Cu	1.742	1.172	5.583	Cu	12.175	8.607	1.963
O	5.351	2.661	9.108	Cu	-0.233	-0.428	4.984	Cu	10.348	4.549	1.963
O	3.252	3.534	9.025	Cu	1.626	3.639	5.009	Cu	6.641	7.038	1.935
S	4.798	7.770	9.406	Cu	5.368	1.108	4.991	Cu	4.786	2.980	1.894
				Cu	7.187	5.171	4.909	Cu	10.251	7.055	1.429
				Cu	12.581	9.237	4.370	Cu	8.400	2.989	1.395
Au	7.502	5.767	7.477	Cu	10.729	5.185	4.391	Cu	4.663	5.473	1.390
Cu	5.692	1.752	7.340	Cu	7.064	7.702	4.332	Cu	2.817	1.414	1.394
Cu	2.157	4.121	7.372	Cu	5.211	3.604	4.284	Cu	6.452	1.430	0.902
Cu	0.208	0.270	7.320	Cu	10.643	7.674	3.828	Cu	8.315	5.492	0.935
Cu	13.019	9.828	6.734	Cu	8.795	3.622	3.778	Cu	0.881	-0.163	0.926
Cu	11.157	5.828	6.743	Cu	5.104	6.107	3.752	Cu	2.707	3.903	0.918

Table S64: Coordinates for the most stable L- μ_3 -cysteine adsorbed on Au-25%-decorated Cu(531)^S.

Atom	x	y	z	Atom	x	y	z	Atom	x	y	z
C	5.297	5.224	9.973	Cu	7.442	8.053	6.659	Cu	3.214	1.795	3.727
C	4.059	5.555	9.104	Cu	5.505	3.943	6.699	Cu	8.656	5.876	3.175
C	5.674	3.741	10.023	Cu	11.033	8.007	6.164	Cu	6.779	1.798	3.102
H	4.755	3.158	10.162	Cu	9.199	3.989	6.122	Cu	3.094	4.288	3.117
H	6.339	3.569	10.885	Cu	5.475	6.478	6.041	Cu	1.270	0.256	3.147
H	4.970	5.490	11.000	Cu	3.611	2.377	6.113	Cu	2.970	6.747	2.462
H	7.136	6.127	10.319	Cu	9.096	6.487	5.596	Cu	1.139	2.722	2.523
H	6.070	7.041	9.421	Cu	7.244	2.407	5.438	Cu	8.512	8.331	2.482
N	6.428	6.093	9.581	Cu	3.568	4.938	5.470	Cu	6.662	4.262	2.485
O	3.912	6.793	8.839	Cu	1.679	0.854	5.570	Cu	12.119	8.335	1.877
O	3.274	4.603	8.815	Cu	3.418	7.418	4.869	Cu	10.315	4.274	1.898
S	6.588	3.112	8.563	Cu	1.596	3.364	4.962	Cu	6.609	6.775	1.874
				Cu	8.985	8.962	4.911	Cu	4.738	2.723	1.871
				Cu	7.121	4.899	4.907	Cu	10.188	6.778	1.368
				Cu	12.547	8.958	4.276	Cu	8.335	2.710	1.333
Au	7.528	5.553	7.462	Cu	10.712	4.926	4.321	Cu	4.641	5.203	1.322
Cu	5.704	1.478	7.241	Cu	7.016	7.419	4.286	Cu	2.789	1.170	1.347
Cu	2.105	4.078	7.275	Cu	5.160	3.362	4.308	Cu	10.066	9.263	0.826
Cu	0.115	-0.180	7.230	Cu	10.596	7.412	3.748	Cu	8.254	5.197	0.891
Cu	12.910	9.614	6.603	Cu	8.758	3.364	3.697	Cu	4.555	7.689	0.862
Cu	11.169	5.517	6.713	Cu	5.066	5.853	3.681	Cu	2.683	3.653	0.832

Table S65: Coordinates for the most stable D- μ_4 -cysteine adsorbed on Au-25%-decorated Cu(531)^S.

Atom	x	y	z	Atom	x	y	z	Atom	x	y	z
C	8.374	4.269	9.938	Cu	7.238	8.324	6.746	Cu	3.064	2.002	3.868
C	9.794	4.376	9.329	Cu	5.374	4.144	7.017	Cu	8.497	6.065	3.257
C	7.660	3.064	9.258	Cu	10.863	8.243	6.253	Cu	6.647	2.022	3.271
H	7.930	2.149	9.799	Cu	9.063	4.148	6.186	Cu	2.949	4.497	3.293
H	8.055	2.967	8.227	Cu	5.332	6.664	6.153	Cu	1.114	0.458	3.275
H	8.462	4.072	11.022	Cu	3.455	2.632	6.251	Cu	2.831	6.955	2.597
H	6.743	5.530	10.149	Cu	8.971	6.731	5.622	Cu	0.975	2.906	2.611
H	8.221	6.327	10.039	Cu	7.092	2.635	5.651	Cu	8.374	8.532	2.618
N	7.663	5.539	9.697	Cu	3.441	5.129	5.675	Cu	6.527	4.465	2.611
O	10.183	5.512	8.912	Cu	1.485	1.087	5.704	Cu	11.982	8.536	2.003
O	-0.655	0.150	9.203	Cu	-0.399	-0.514	5.013	Cu	10.148	4.481	2.028
S	5.829	3.118	9.079	Cu	1.387	3.522	5.039	Cu	6.460	6.973	1.987
				Cu	5.138	1.074	5.039	Cu	4.606	2.932	2.054
				Cu	6.975	5.097	5.016	Cu	10.026	6.977	1.460
				Cu	12.399	9.167	4.410	Cu	8.195	2.914	1.460
Au	7.396	5.836	7.443	Cu	10.558	5.139	4.474	Cu	4.501	5.411	1.453
Cu	5.527	1.642	7.392	Cu	6.861	7.625	4.393	Cu	2.662	1.365	1.488
Cu	1.860	4.214	7.296	Cu	5.034	3.585	4.507	Cu	6.233	1.364	0.983
Cu	0.071	-0.083	7.387	Cu	10.453	7.626	3.824	Cu	8.098	5.387	0.972
Cu	12.813	9.766	6.748	Cu	8.617	3.548	3.827	Cu	0.709	-0.199	0.983
Cu	10.956	5.754	6.977	Cu	4.917	6.042	3.797	Cu	2.567	3.848	1.004

Table S66: Coordinates for the most stable L- μ_4 -cysteine adsorbed on Au-25%-decorated Cu(531)^S.

Atom	x	y	z	Atom	x	y	z	Atom	x	y	z
C	7.966	3.956	10.072	Cu	7.320	8.275	6.688	Cu	3.097	1.991	3.720
C	7.717	2.756	9.135	Cu	5.416	4.183	6.632	Cu	8.515	6.060	3.137
C	9.406	4.441	10.059	Cu	10.859	8.201	6.119	Cu	6.662	1.987	3.124
H	9.528	5.323	10.708	Cu	9.052	4.144	6.077	Cu	2.976	4.501	3.150
H	10.080	3.647	10.406	Cu	5.334	6.704	6.123	Cu	1.123	0.439	3.157
H	9.699	4.720	9.031	Cu	3.581	2.568	6.113	Cu	2.830	6.941	2.464
H	7.686	3.629	11.093	Cu	8.942	6.688	5.532	Cu	0.990	2.888	2.464
H	7.127	5.850	10.267	Cu	7.107	2.635	5.490	Cu	8.397	8.526	2.501
H	6.092	4.707	9.635	Cu	3.420	5.154	5.537	Cu	6.542	4.460	2.488
N	7.059	5.049	9.633	Cu	1.583	1.070	5.545	Cu	11.993	8.522	1.910
O	6.489	2.483	8.908	Cu	-0.426	-0.543	4.884	Cu	10.154	4.455	1.874
O	8.734	2.162	8.672	Cu	1.443	3.518	4.855	Cu	6.482	6.971	1.888
				Cu	5.174	1.052	4.935	Cu	4.630	2.913	1.872
				Cu	6.995	5.118	4.892	Cu	10.044	6.966	1.346
				Cu	12.411	9.176	4.340	Cu	8.190	2.897	1.324
Au	7.431	5.729	7.411	Cu	10.566	5.103	4.291	Cu	4.526	5.408	1.350
Au	1.884	4.053	7.354	Cu	6.882	7.627	4.301	Cu	2.680	1.351	1.358
Cu	5.651	1.691	7.285	Cu	5.033	3.557	4.288	Cu	6.259	1.327	0.837
Cu	0.027	0.145	7.164	Cu	10.467	7.595	3.730	Cu	8.104	5.383	0.853
Cu	12.789	9.778	6.753	Cu	8.620	3.542	3.692	Cu	0.735	-0.222	0.872
Cu	10.926	5.702	6.677	Cu	4.937	6.052	3.720	Cu	2.573	3.864	0.862

Table S67: Coordinates for the most stable D-alanine adsorbed on Au-50%-decorated Cu(531)^S.

Atom	x	y	z	Atom	x	y	z	Atom	x	y	z
C	8.025	4.035	10.135	Cu	7.128	8.200	6.678	Cu	2.927	1.919	3.708
C	8.903	3.183	9.203	Cu	5.245	4.087	6.681	Cu	8.352	5.998	3.135
C	6.583	3.566	10.209	Cu	10.696	8.164	6.118	Cu	6.516	1.939	3.141
H	5.981	4.246	10.832	Cu	8.922	4.094	6.042	Cu	2.827	4.446	3.158
H	6.532	2.553	10.632	Cu	5.170	6.625	6.153	Cu	0.960	0.371	3.137
H	6.147	3.535	9.194	Cu	3.370	2.510	6.100	Cu	2.686	6.901	2.493
H	8.487	4.018	11.139	Cu	8.796	6.640	5.508	Cu	0.837	2.828	2.458
H	7.597	6.072	10.208	Cu	6.959	2.578	5.521	Cu	8.230	8.450	2.467
H	9.068	5.710	9.513	Cu	3.260	5.092	5.551	Cu	6.382	4.403	2.503
N	8.085	5.421	9.587	Cu	1.395	0.988	5.537	Cu	11.863	8.472	1.918
O	10.093	3.619	9.021	Cu	-0.549	-0.583	4.948	Cu	9.995	4.406	1.865
O	8.376	2.179	8.642	Cu	1.295	3.465	4.852	Cu	6.304	6.908	1.888
Cu				Cu	4.986	0.971	4.870	Cu	4.477	2.846	1.878
Cu				Cu	6.822	5.057	4.914	Cu	9.899	6.905	1.342
Cu				Cu	12.276	9.136	4.360	Cu	8.047	2.850	1.335
Au	7.260	5.634	7.403	Cu	10.418	5.047	4.275	Cu	4.360	5.347	1.360
Au	1.707	4.011	7.375	Cu	6.713	7.557	4.296	Cu	2.511	1.284	1.342
Cu	5.408	1.624	7.173	Cu	4.869	3.493	4.302	Cu	6.131	1.272	0.856
Cu	-0.076	0.103	7.294	Cu	10.328	7.546	3.714	Cu	7.939	5.338	0.851
Cu	12.648	9.727	6.782	Cu	8.470	3.485	3.700	Cu	0.557	-0.285	0.852
Cu	10.785	5.668	6.632	Cu	4.772	5.991	3.733	Cu	2.423	3.792	0.867

Table S68: Coordinates for the most stable L-alanine adsorbed on Au-50%-decorated Cu(531)^S.

Atom	x	y	z	Atom	x	y	z	Atom	x	y	z
C	8.168	3.861	10.006	Cu	7.284	8.301	6.728	Cu	3.080	2.044	3.748
C	7.667	2.640	9.206	Cu	5.391	4.207	6.679	Cu	8.497	6.136	3.188
C	9.620	4.317	9.701	Cu	10.851	8.244	6.160	Cu	6.650	2.062	3.167
H	10.036	4.826	10.587	Cu	9.051	4.173	6.146	Cu	2.969	4.571	3.191
H	9.912	2.441	9.238	Cu	5.320	6.733	6.169	Cu	1.101	0.505	3.189
H	9.578	5.044	8.868	Cu	3.557	2.591	6.134	Cu	2.818	7.033	2.534
H	8.116	3.539	11.065	Cu	8.927	6.731	5.588	Cu	0.973	2.960	2.503
H	7.412	5.759	10.418	Cu	7.094	2.674	5.548	Cu	8.379	8.599	2.530
H	6.289	4.670	9.834	Cu	3.413	5.196	5.577	Cu	6.521	4.542	2.536
N	7.259	4.996	9.753	Cu	1.547	1.095	5.579	Cu	11.985	8.608	1.956
O	6.428	2.573	8.958	Cu	-0.420	-0.469	4.983	Cu	10.133	4.541	1.913
O	12.234	9.873	8.894	Cu	1.436	3.569	4.888	Cu	6.451	7.056	1.928
O	-0.556	0.129	9.341	Cu	5.158	1.092	4.970	Cu	4.613	2.993	1.907
				Cu	6.979	5.163	4.943	Cu	10.039	7.049	1.387
				Cu	12.406	9.238	4.376	Cu	8.175	2.988	1.372
Au	7.387	5.751	7.464	Cu	10.543	5.159	4.328	Cu	4.500	5.495	1.392
Au	1.888	4.067	7.390	Cu	6.865	7.684	4.339	Cu	2.657	1.429	1.384
Cu	5.599	1.714	7.314	Cu	5.018	3.608	4.328	Cu	6.250	1.412	0.881
Cu	0.068	0.182	7.314	Cu	10.454	7.662	3.769	Cu	8.086	5.485	0.905
Cu	12.783	9.804	6.775	Cu	8.605	3.611	3.746	Cu	0.699	-0.142	0.902
Cu	10.926	5.747	6.684	Cu	4.917	6.119	3.767	Cu	2.552	3.943	0.906

Table S69: Coordinates for the most stable D- μ_3 -serine adsorbed on Au-50%-decorated Cu(531)^S.

Atom	x	y	z	Atom	x	y	z	Atom	x	y	z
C	8.585	4.511	10.096	Cu	7.221	8.229	6.712	Cu	3.009	1.954	3.792
C	9.904	4.503	9.315	Cu	5.321	4.105	6.738	Cu	8.460	6.029	3.202
C	7.782	3.234	9.751	Cu	10.799	8.216	6.202	Cu	6.599	1.989	3.208
H	5.928	3.631	9.266	Cu	9.016	4.111	6.154	Cu	2.883	4.463	3.224
H	8.204	2.386	10.306	Cu	5.286	6.634	6.111	Cu	1.055	0.404	3.206
H	7.892	3.028	8.668	Cu	3.435	2.549	6.184	Cu	2.772	6.926	2.547
H	8.793	4.532	11.181	Cu	8.915	6.661	5.593	Cu	0.918	2.863	2.557
H	6.955	5.764	10.260	Cu	7.042	2.614	5.606	Cu	8.315	8.480	2.528
H	8.378	6.547	9.828	Cu	3.368	5.126	5.575	Cu	6.476	4.435	2.547
N	7.809	5.705	9.697	Cu	1.471	1.024	5.619	Cu	11.937	8.502	1.949
O	10.287	5.605	8.812	Cu	-0.454	-0.544	4.968	Cu	10.097	4.446	1.973
O	-0.622	0.242	9.153	Cu	1.355	3.485	4.977	Cu	6.395	6.930	1.932
O	6.401	3.364	10.086	Cu	5.080	1.005	4.940	Cu	4.549	2.878	1.942
				Cu	6.931	5.073	4.960	Cu	9.994	6.938	1.406
				Cu	12.339	9.152	4.357	Cu	8.143	2.889	1.405
Au	7.291	5.674	7.444	Cu	10.518	5.099	4.423	Cu	4.433	5.370	1.406
Au	1.872	4.192	7.461	Cu	6.820	7.583	4.340	Cu	2.587	1.317	1.421
Cu	5.484	1.664	7.251	Cu	4.955	3.524	4.353	Cu	6.204	1.312	0.925
Cu	0.027	-0.087	7.327	Cu	10.412	7.582	3.787	Cu	8.057	5.372	0.916
Cu	12.734	9.794	6.727	Cu	8.567	3.524	3.778	Cu	0.641	-0.244	0.917
Cu	10.927	5.689	6.871	Cu	4.866	6.006	3.750	Cu	2.487	3.801	0.934

Table S70: Coordinates for the most stable L- μ_3 -serine adsorbed on Au-50%-decorated Cu(531)^S.

Atom	x	y	z	Atom	x	y	z	Atom	x	y	z
C	5.453	5.001	9.943	Cu	7.459	8.098	6.653	Cu	3.201	1.842	3.726
C	4.239	5.656	9.239	Cu	5.498	4.046	6.709	Cu	8.633	5.917	3.149
C	5.563	3.485	9.719	Cu	10.934	8.062	6.153	Cu	6.774	1.863	3.131
H	4.589	3.060	10.024	Cu	9.213	3.978	6.144	Cu	3.077	4.347	3.146
H	6.341	3.096	10.409	Cu	5.501	6.514	6.064	Cu	1.246	0.300	3.153
H	5.242	5.120	11.026	Cu	3.624	2.410	6.093	Cu	2.959	6.811	2.492
H	7.430	5.522	10.291	Cu	9.075	6.494	5.544	Cu	1.121	2.766	2.509
H	6.487	6.736	9.643	Cu	7.222	2.475	5.495	Cu	8.504	8.382	2.484
N	6.700	5.732	9.605	Cu	3.550	5.005	5.495	Cu	6.654	4.321	2.487
O	4.415	6.872	8.865	Cu	1.671	0.874	5.576	Cu	12.115	8.398	1.891
O	3.180	4.980	9.175	Cu	3.414	7.456	4.913	Cu	10.290	4.333	1.888
O	5.907	3.122	8.407	Cu	1.549	3.376	4.920	Cu	6.586	6.829	1.877
				Cu	8.976	9.013	4.915	Cu	4.728	2.782	1.897
				Cu	7.120	4.936	4.917	Cu	10.177	6.838	1.357
				Cu	12.520	9.017	4.304	Cu	8.330	2.774	1.345
Au	7.595	5.575	7.446	Cu	10.692	4.955	4.310	Cu	4.621	5.265	1.345
Au	1.985	4.006	7.373	Cu	7.005	7.466	4.286	Cu	2.775	1.218	1.356
Cu	5.691	1.534	7.271	Cu	5.153	3.422	4.328	Cu	10.066	9.340	0.853
Cu	0.120	-0.208	7.303	Cu	10.581	7.458	3.735	Cu	8.230	5.260	0.868
Cu	12.880	9.651	6.656	Cu	8.746	3.406	3.712	Cu	4.530	7.743	0.866
Cu	11.101	5.494	6.719	Cu	5.057	5.900	3.707	Cu	2.679	3.711	0.855

Table S71: Coordinates for the most stable D- μ_4 -serine adsorbed on Au-50%-decorated Cu(531)^S.

Atom	x	y	z	Atom	x	y	z	Atom	x	y	z
C	6.850	7.609	10.010	Cu	7.418	7.981	6.776	Cu	3.212	1.702	3.773
C	2.005	0.260	9.312	Cu	5.558	3.874	6.725	Cu	8.631	5.786	3.206
C	8.208	8.255	9.744	Cu	10.989	7.911	6.173	Cu	6.785	1.729	3.182
H	4.449	1.174	10.125	Cu	9.147	3.851	6.209	Cu	3.089	4.230	3.232
H	8.979	7.713	10.330	Cu	5.465	6.406	6.162	Cu	1.233	0.155	3.203
H	6.657	7.716	11.096	Cu	3.683	2.309	6.143	Cu	2.961	6.689	2.547
H	7.285	5.609	10.366	Cu	9.080	6.376	5.593	Cu	1.108	2.612	2.549
H	5.822	5.892	9.611	Cu	7.202	2.334	5.580	Cu	8.496	8.233	2.520
N	6.813	6.166	9.648	Cu	3.553	4.875	5.619	Cu	6.658	4.203	2.575
O	4.710	7.612	8.953	Cu	1.691	0.767	5.593	Cu	12.121	8.257	1.941
O	2.089	1.494	9.189	Cu	3.380	7.321	4.975	Cu	10.265	4.203	1.955
O	8.574	8.227	8.383	Cu	1.560	3.227	4.944	Cu	6.566	6.708	1.977
				Cu	8.979	8.863	4.938	Cu	4.748	2.638	1.944
				Cu	7.129	4.837	4.992	Cu	10.174	6.692	1.402
				Cu	12.519	8.891	4.351	Cu	8.316	2.648	1.397
Au	7.537	5.416	7.527	Cu	10.684	4.810	4.390	Cu	4.632	5.148	1.432
Au	2.010	3.843	7.441	Cu	7.013	7.353	4.403	Cu	2.780	1.076	1.403
Cu	5.785	1.447	7.311	Cu	5.155	3.275	4.359	Cu	10.067	9.172	0.904
Cu	0.067	-0.233	7.305	Cu	10.589	7.314	3.781	Cu	8.209	5.153	0.924
Cu	12.878	9.501	6.745	Cu	8.731	3.274	3.774	Cu	4.528	7.636	0.907
Cu	11.076	5.386	6.768	Cu	5.051	5.776	3.806	Cu	2.694	3.569	0.945

Table S72: Coordinates for the most stable L- μ_4 -serine adsorbed on Au-50%-decorated Cu(531)^S.

Atom	x	y	z	Atom	x	y	z	Atom	x	y	z
C	8.102	3.919	10.007	Cu	7.278	8.315	6.719	Cu	3.092	2.032	3.731
C	7.639	2.688	9.188	Cu	5.385	4.217	6.670	Cu	8.510	6.106	3.186
C	9.511	4.492	9.748	Cu	10.857	8.262	6.155	Cu	6.665	2.033	3.174
H	9.764	5.181	10.569	Cu	9.064	4.188	6.145	Cu	2.982	4.548	3.186
H	2.624	7.244	9.397	Cu	5.324	6.739	6.143	Cu	1.118	0.477	3.175
H	9.483	5.072	8.810	Cu	3.550	2.605	6.122	Cu	2.837	6.998	2.533
H	8.046	3.591	11.065	Cu	8.932	6.735	5.584	Cu	0.987	2.924	2.498
H	7.263	5.790	10.402	Cu	7.103	2.680	5.550	Cu	8.394	8.563	2.529
H	6.194	4.659	9.784	Cu	3.415	5.205	5.566	Cu	6.537	4.503	2.532
N	7.152	5.020	9.737	Cu	1.561	1.107	5.546	Cu	12.005	8.564	1.959
O	6.397	2.611	8.941	Cu	-0.408	-0.464	4.981	Cu	10.151	4.497	1.913
O	12.199	9.924	8.867	Cu	1.446	3.571	4.878	Cu	6.472	7.012	1.923
S	-0.172	0.182	9.595	Cu	5.160	1.090	4.965	Cu	4.638	2.951	1.902
				Cu	6.987	5.151	4.932	Cu	10.047	7.004	1.388
				Cu	12.417	9.233	4.380	Cu	8.195	2.939	1.379
Au	7.373	5.770	7.444	Cu	10.559	5.147	4.324	Cu	4.520	5.451	1.387
Au	1.890	4.091	7.383	Cu	6.877	7.669	4.330	Cu	2.677	1.382	1.376
Cu	5.589	1.725	7.307	Cu	5.029	3.595	4.325	Cu	6.273	1.365	0.887
Cu	0.117	0.204	7.316	Cu	10.464	7.643	3.770	Cu	8.104	5.431	0.904
Cu	12.800	9.831	6.787	Cu	8.621	3.591	3.748	Cu	0.719	-0.188	0.897
Cu	10.939	5.763	6.670	Cu	4.931	6.098	3.755	Cu	2.576	3.892	0.907

Table S73: Coordinates for the most stable D- μ_3 -cysteine adsorbed on Au-50%-decorated Cu(531)^S.

Atom	x	y	z	Atom	x	y	z	Atom	x	y	z
C	8.480	4.213	10.033	Cu	7.235	8.304	6.773	Cu	3.028	2.020	3.832
C	9.878	4.376	9.376	Cu	5.333	4.195	6.698	Cu	8.480	6.089	3.243
C	7.845	2.983	9.359	Cu	10.806	8.270	6.257	Cu	6.610	2.032	3.230
H	5.659	3.905	9.052	Cu	9.034	4.167	6.170	Cu	2.900	4.519	3.247
H	8.342	2.066	9.704	Cu	5.308	6.702	6.128	Cu	1.084	0.471	3.251
H	7.998	3.060	8.266	Cu	3.466	2.611	6.223	Cu	2.793	6.972	2.568
H	8.599	4.036	11.117	Cu	8.926	6.728	5.640	Cu	0.932	2.924	2.590
H	6.866	5.495	10.345	Cu	7.056	2.659	5.621	Cu	8.346	8.562	2.610
H	8.307	6.257	9.964	Cu	3.374	5.180	5.587	Cu	6.498	4.484	2.571
N	7.711	5.444	9.770	Cu	1.483	1.099	5.674	Cu	11.942	8.550	1.970
O	10.198	5.527	8.955	Cu	-0.430	-0.484	4.983	Cu	10.122	4.498	2.015
O	-0.539	0.174	9.223	Cu	1.365	3.547	5.013	Cu	6.437	6.992	1.972
S	6.051	2.697	9.566	Cu	5.113	1.095	5.052	Cu	4.573	2.942	1.966
				Cu	6.957	5.128	4.969	Cu	9.994	6.996	1.449
				Cu	12.348	9.201	4.371	Cu	8.160	2.928	1.433
Au	7.301	5.744	7.460	Cu	10.533	5.162	4.471	Cu	4.467	5.427	1.429
Au	1.875	4.228	7.490	Cu	6.843	7.660	4.386	Cu	2.625	1.378	1.459
Cu	5.535	1.746	7.417	Cu	4.972	3.570	4.370	Cu	6.203	1.364	0.947
Cu	0.046	-0.048	7.348	Cu	10.417	7.644	3.831	Cu	8.082	5.409	0.954
Cu	12.774	9.825	6.713	Cu	8.585	3.571	3.798	Cu	0.676	-0.183	0.964
Cu	10.902	5.747	6.957	Cu	4.888	6.064	3.770	Cu	2.513	3.863	0.965

Table S74: Coordinates for the most stable L- μ_3 -cysteine adsorbed on Au-50%-decorated Cu(531)^S.

Atom	x	y	z	Atom	x	y	z	Atom	x	y	z
C	9.074	5.731	9.921	Cu	7.177	7.946	7.001	Cu	2.988	1.713	3.808
C	9.805	4.419	9.492	Cu	5.225	3.844	6.747	Cu	8.406	5.793	3.248
C	9.514	6.990	9.167	Cu	10.797	7.982	6.193	Cu	6.557	1.739	3.251
H	10.433	7.393	9.615	Cu	8.978	3.873	6.161	Cu	2.862	4.242	3.252
H	9.754	6.714	8.124	Cu	5.219	6.413	6.228	Cu	1.031	0.173	3.243
H	9.263	5.860	11.002	Cu	3.400	2.277	6.206	Cu	2.750	6.705	2.588
H	7.053	6.181	10.096	Cu	8.864	6.405	5.635	Cu	0.887	2.624	2.562
H	7.425	4.537	10.150	Cu	6.979	2.358	5.652	Cu	8.279	8.252	2.606
N	7.637	5.436	9.701	Cu	3.316	4.903	5.602	Cu	6.438	4.197	2.598
O	9.330	3.350	9.897	Cu	1.495	0.767	5.634	Cu	11.896	8.267	1.994
O	10.847	4.515	8.704	Cu	3.208	7.342	5.024	Cu	10.047	4.213	1.993
S	8.281	8.361	9.030	Cu	1.336	3.240	4.972	Cu	6.368	6.719	2.030
Cu				Cu	8.735	8.883	5.036	Cu	4.525	2.654	1.978
Cu				Cu	6.875	4.834	4.992	Cu	9.933	6.703	1.453
Cu				Cu	12.313	8.930	4.398	Cu	8.093	2.647	1.446
Au	7.225	5.271	7.468	Cu	10.487	4.849	4.423	Cu	4.423	5.160	1.457
Au	1.838	3.945	7.468	Cu	6.804	7.364	4.496	Cu	2.580	1.090	1.437
Cu	5.512	1.442	7.388	Cu	4.911	3.269	4.394	Cu	9.840	9.180	0.966
Cu	-0.032	-0.174	7.375	Cu	10.366	7.340	3.826	Cu	7.992	5.148	0.955
Cu	12.711	9.591	6.808	Cu	8.520	3.284	3.806	Cu	4.324	7.655	0.957
Cu	10.915	5.456	6.812	Cu	4.838	5.790	3.821	Cu	2.472	3.586	0.966

Table S75: Coordinates for the most stable D- μ_4 -cysteine adsorbed on Au-50%-decorated Cu(531)^S.

Atom	x	y	z	Atom	x	y	z	Atom	x	y	z
C	8.365	4.232	9.947	Cu	7.239	8.317	6.740	Cu	3.064	2.012	3.859
C	9.785	4.343	9.340	Cu	5.399	4.138	7.014	Cu	8.501	6.076	3.253
C	7.655	3.037	9.250	Cu	10.845	8.250	6.239	Cu	6.645	2.035	3.257
H	7.932	2.111	9.768	Cu	9.059	4.154	6.179	Cu	2.946	4.511	3.294
H	8.044	2.965	8.214	Cu	5.346	6.668	6.154	Cu	1.112	0.465	3.264
H	8.448	4.023	11.029	Cu	3.491	2.610	6.228	Cu	2.829	6.969	2.589
H	6.734	5.492	10.163	Cu	8.965	6.730	5.620	Cu	0.975	2.920	2.614
H	8.214	6.288	10.071	Cu	7.086	2.641	5.640	Cu	8.375	8.540	2.602
N	7.657	5.505	9.716	Cu	3.464	5.151	5.661	Cu	6.526	4.481	2.604
O	10.171	5.481	8.932	Cu	1.490	1.082	5.689	Cu	11.981	8.553	1.998
O	-0.664	0.119	9.199	Cu	-0.396	-0.504	5.010	Cu	10.151	4.493	2.026
S	5.823	3.095	9.076	Cu	1.392	3.531	5.036	Cu	6.457	6.983	1.979
				Cu	5.139	1.076	5.025	Cu	4.603	2.942	2.045
				Cu	6.975	5.106	5.019	Cu	10.034	6.991	1.457
				Cu	12.399	9.189	4.403	Cu	8.193	2.932	1.454
Au	7.404	5.838	7.460	Cu	10.563	5.152	4.477	Cu	4.495	5.422	1.452
Au	1.890	4.206	7.503	Cu	6.865	7.635	4.382	Cu	2.657	1.374	1.482
Cu	5.526	1.629	7.388	Cu	5.037	3.595	4.495	Cu	6.231	1.380	0.971
Cu	0.090	-0.079	7.389	Cu	10.458	7.638	3.825	Cu	8.104	5.407	0.968
Cu	12.807	9.811	6.746	Cu	8.617	3.563	3.820	Cu	0.705	-0.191	0.972
Cu	10.917	5.716	6.983	Cu	4.920	6.054	3.794	Cu	2.561	3.862	1.003

Table S76: Coordinates for the most stable L- μ_4 -cysteine adsorbed on Au-50%-decorated Cu(531)^S.